

Supporting Information

for

**Axially chiral *N*-alkyl-*N*-cinnamoyl amide type P,olefin
ligands for Pd-catalyzed reactions**

Takashi Mino,^{a,b,c,*} Kaho Takaya, ^{‡a} Kaito Koki, ^{‡a} Natsume Akimoto, ^{‡a} Yasushi Yoshida,^{a,b,c} Yoshio Kasashima^d and Masami Sakamoto^{a,b}

^a Graduate School of Engineering, Chiba University, 1-33, Yayoi-cho, Inage-ku, Chiba 263-8522, Japan

^b Molecular Chirality Research Center, Chiba University, 1-33, Yayoi-cho, Inage-ku, Chiba 263-8522, Japan

^c Soft Molecular Activation Research Center, Chiba University, 1-33, Yayoi-cho, Inage-ku, Chiba 263-8522, Japan

^d Education Center, Chiba Institute of Technology, Shibazono 2-2-1, Narashino, Chiba 275-0023, Japan

‡ These authors contributed equally to this work.

tmino@faculty.chiba-u.jp

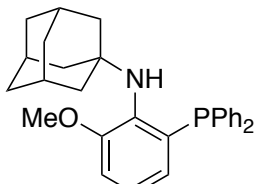
Table of Contents

General methods and materials.....	S3
Experimental procedures and characterization data.....	S4-16
Data of thermal racemization of 1b and 1c	S17-18
¹ H, ¹³ C, and ³¹ P NMR spectra of 3a-c	S19-27
¹ H, ¹³ C, and ³¹ P NMR spectra, and chiral phase HPLC chart of 1a-c	S28-71
¹ H and ¹³ C NMR spectra, and chiral phase HPLC chart of 4	S72-123

General methods and materials

Melting point was measured by a melting point instrument and was uncorrected. NMR spectra were recorded with 300, 400 and 500 MHz spectrometers in CDCl_3 as a solvent at room temperature unless otherwise noted. Chemical shifts (δ) are given in ppm relative to TMS (^1H), external 85% H_3PO_4 (^{31}P), or residual CHCl_3 (^{13}C) as a reference. All ^{13}C and ^{31}P NMR spectra recorded with the use of broadband proton decoupling. The coupling constants J are given in Hz, and the peak patterns are indicated as follows: s, singlet; d, doublet, t, triplet; q, quartet; m, multiplet. HRMS (ESI) was measured with an orbitrap mass spectrometer. Optical rotation was measured on a polarimeter. The enantiomeric excess value was determined by HPLC equipped with a chiral stationary phase column. Unless otherwise noted, all reagents were used without further purification.

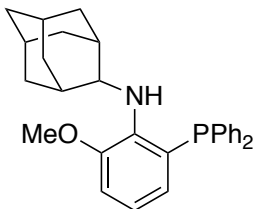
Preparation of Aminophosphine 3a.



To a mixture of phosphine oxide **2a** (1.37 g, 3.0 mmol) and triethylamine (6.3 mL, 45 mmol) in *m*-xylene (30 mL) was added trichlorosilane (3.0 mL, 30 mmol) at 0 °C under an Ar atmosphere. The mixture was stirred at 120 °C for 24 h. After being cooled to room temperature, the reaction mixture was diluted with CHCl_3 and quenched with 2 M of NaOH aq. solution. The organic layer was washed with brine, dried over MgSO_4 , and concentrated under reduced pressure. The residue was purified by silica gel chromatography (hexane:EtOAc = 40:1).

N-(2-(Diphenylphosphanoyl)-6-methoxyphenyl)adamantan-1-amine (**3a**). 43% yield (0.761 g, 1.72 mmol) as a white solid; mp 173-175 °C; ^1H NMR (400 MHz, CDCl_3) δ 7.33-7.25 (m, 10H), 6.89-6.82 (m, 2H), 6.43 (qd, J = 1.9 and 7.1 Hz, 1H), 3.823 (s, 4H), 3.819 (br-s, 1H), 1.96 (s, 3H), 1.79 (d, J = 2.5 Hz, 6H), 1.53 (dd, J = 12.1 and 25.5 Hz, 6H); ^{13}C NMR (75 MHz, CDCl_3) δ 154.0 (d, J_{CP} = 5.0 Hz), 139.8 (d, J_{CP} = 23.8 Hz), 136.6 (d, J_{CP} = 10.0 Hz) \times 2, 133.8 (d, J_{CP} = 19.4 Hz) \times 4, 132.0 (d, J_{CP} = 4.4 Hz), 128.5 (d, J_{CP} = 3.3 Hz) \times 4, 128.4 \times 2, 122.7 (d, J_{CP} = 1.1 Hz), 126.1, 111.5, 54.9, 54.6 (d, J_{CP} = 18.2 Hz), 43.6 (d, J_{CP} = 2.2 Hz) \times 3, 36.4 \times 3, 30.2 \times 3; ^{31}P NMR (121 MHz, CDCl_3) δ -18.4; HRMS (ESI-orbitrap) m/z calcd for $\text{C}_{29}\text{H}_{32}\text{ONP} + \text{H}$ 442.2294 found 442.2282; EI-MS m/z (rel intensity) 441 (M^+ , 100).

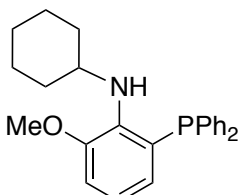
Preparation of Aminophosphine 3b.



To a mixture of phosphine oxide **2b** (0.229 g, 0.50 mmol) and triethylamine (0.51 mL, 5.0 mmol) in *m*-xylene (2.5 mL) was added trichlorosilane (3.0 mL, 30 mmol) at 0 °C under an Ar atmosphere. The mixture was stirred at 120 °C for 24 h. After being cooled to room temperature, the reaction mixture was diluted with CHCl₃ and quenched with 2 M of NaOH aq. solution. The organic layer was washed with brine, dried over MgSO₄, and concentrated under reduced pressure. The residue was purified by silica gel chromatography (hexane:EtOAc = 40:1).

N-(2-(Diphenylphosphanyl)-6-methoxyphenyl)adamantan-2-amine (**3b**). 48% yield (0.106 g, 0.239 mmol) as a white solid; mp 117-119 °C; ¹H NMR (400 MHz, CDCl₃) δ 7.33-7.28 (m, 10H), 6.81 (dd, *J* = 1.5 and 8.0 Hz, 1H), 6.73 (t, *J* = 7.7 Hz, 1H), 6.48 (ddd, *J* = 1.5, 4.3 and 7.7 Hz, 1H), 4.91 (s, 1H), 3.83 (s, 3H), 3.72 (s, 1H), 2.02 (d, *J* = 12.8 Hz, 2H), 1.83 (s, 2H), 1.79 (s, 1H), 1.70-1.65 (m, 5H), 1.44 (dd, *J* = 12.5 and 27.8 Hz, 4H); ¹³C NMR (101 MHz, CDCl₃) δ 150.8 (d, *J*_{CP} = 6.6 Hz), 142.3 (d, *J*_{CP} = 23.5 Hz), 137.1 × 2 (d, *J*_{CP} = 9.5 Hz), 133.7 × 2 (d, *J*_{CP} = 19.1 Hz), 128.4 × 4, 128.3 × 4, 125.5 (d, *J*_{CP} = 9.5 Hz), 119.95, 119.93, 111.7, 61.6 (d, *J*_{CP} = 8.1 Hz), 55.7, 37.8, 37.5 × 2, 32.5 × 2, 31.4 (d, *J*_{CP} = 2.2 Hz) × 2, 27.44, 27.43; ³¹P NMR (121 MHz, CDCl₃) δ -18.3; HRMS (ESI-orbitrap) *m/z* calcd for C₂₉H₃₂ONP + H 442.2294 found 442.2286; EI-MS *m/z* (rel intensity) 441 (M⁺, 100).

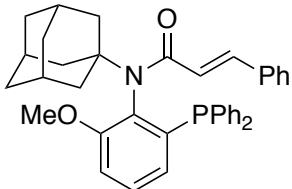
Preparation of Aminophosphine **3c**.



To a mixture of phosphine oxide **2c** (0.405 g, 1.0 mmol) and triethylamine (2.1 mL, 15 mmol) in *m*-xylene (20 mL) was added trichlorosilane (1.0 mL, 10 mmol) at 0 °C under an Ar atmosphere. The mixture was stirred at 120 °C for 24 h. After being cooled to room temperature, the reaction mixture was diluted with CHCl₃ and quenched with 2 M of NaOH aq. solution. The organic layer was washed with brine, dried over MgSO₄, and concentrated under reduced pressure. The residue was purified by silica gel chromatography (hexane:EtOAc = 40:1).

N-(2-(Diphenylphosphanoyl)-6-methoxyphenyl)cyclohexylamine (**3c**). 94% yield (0.366 g, 0.939 mmol) as a white solid; mp 96-98 °C; ¹H NMR (400 MHz, CDCl₃) δ 7.32-7.27 (m, 10H), 6.81 (dd, *J* = 1.5 and 8.0 Hz, 1H), 6.76 (t, *J* = 7.7 Hz, 1H), 6.47 (ddd, *J* = 1.5, 4.3 and 7.5 Hz, 1H), 4.18 (br-s, 1H), 3.82 (s, 3H), 3.39 (sep, *J* = 3.5 Hz, 1H), 1.83-1.81 (m, 2H), 1.60-1.56 (m, 2H), 1.48-1.46 (m, 1H) 1.05-0.98 (m, 5H); ¹³C NMR (101 MHz, CDCl₃) δ 151.2 (d, *J*_{CP} = 5.9 Hz), 141.9 (d, *J*_{CP} = 23.5 Hz), 137.0 (d, *J*_{CP} = 9.5 Hz) × 2, 133.7 (d, *J*_{CP} = 19.1 Hz) × 4, 128.41 × 2, 128.38 (d, *J*_{CP} = 6.6 Hz) × 4, 127.1, 126.6 (d, *J*_{CP} = 8.8 Hz), 120.7 (d, *J*_{CP} = 2.2 Hz), 111.6, 56.4 (d, *J*_{CP} = 6.6 Hz), 55.6, 34.2 × 2, 25.9, 25.1 × 2; ³¹P NMR (121 MHz, CDCl₃) δ -19.7; HRMS (ESI-orbitrap) *m/z* calcd for C₂₅H₂₈ONP + H 390.1981 found 390.1979; EI-MS *m/z* (rel intensity) 389 (M⁺, 21).

Preparation of Cinnamoyl Amide (\pm)-**1a**.

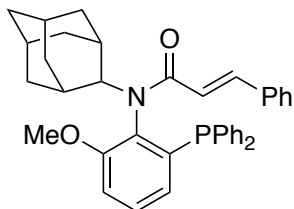


To the solution of aminophosphine **3a** (0.221 g, 0.50 mmol) in THF (13 mL) was added pyridine (0.078 mL, 1.0 mmol), *N,N*-dimethyl-4-aminopyridine (26 mg, 0.20 mmol) and cinnamoyl chloride (0.167 g, 1.0 mmol) at room temperature. The reaction mixture was stirred at 60 °C. After 48 h, the mixture was quenched with water and diluted with diethyl ether. The organic layer was washed with water and brine, and dried over MgSO₄. The filtrate was concentrated and the residue was purified by column chromatography (hexane:EtOAc = 4:1).

(\pm)-*N*-(Adamantan-1-yl)-*N*-(2-(diphenylphosphanoyl)-6-methoxyphenyl)cinnamamide ((\pm)-**1a**). 88% yield (252 mg, 0.44 mmol) as a white solid; mp 100-102 °C; ¹H NMR (400 MHz, CDCl₃) δ 7.39 (d, *J* = 15.5 Hz 1H), 7.35-7.29 (m, 5H), 7.26 (s, 1H), 7.24-7.19 (m, 3H), 7.16-7.12 (m, 2H), 7.07-6.98 (m, 5H), 6.96 (dd, *J* = 1.3 and 8.3 Hz, 1H), 6.82 (qd, *J* = 1.2 and 7.7 Hz, 1H), 5.71 (q, *J* = 15.5 Hz 1H), 3.81 (s, 3H), 2.28-2.33 (m, 6H), 1.96 (s, 3H), 1.53 (s, 6H); ¹³C NMR (101 MHz, CDCl₃) δ 166.5, 157.3 (d, *J*_{CP} = 24.0 Hz), 141.4 (d, *J*_{CP} = 52.0 Hz), 139.8, 136.7 (d, *J*_{CP} = 39.9 Hz), 136.4 (d, *J*_{CP} = 38.3 Hz), 135.5, 135.4 (d, *J*_{CP} = 112.3 Hz), 134.0 (d, *J*_{CP} = 84.6 Hz) × 2, 133.7 (d, *J*_{CP} = 78.0 Hz) × 2, 128.9, 128.8, 128.6, 128.49 (d, *J*_{CP} = 25.5 Hz) × 2, 128.46, 128.32 (d, *J*_{CP} = 28.4 Hz) × 2, 128.30 × 2, 127.7 × 2, 127.2 (d, *J*_{CP} = 6.0 Hz), 122.1, 111.9, 61.1, 55.6, 39.6 (d, *J*_{CP} = 3.7 Hz) × 3, 36.5 × 3, 30.3 × 3; ³¹P NMR (121 MHz, CDCl₃) δ -17.8; HRMS (ESI-orbitrap) *m/z* calcd for C₃₈H₃₈O₂NP + H 572.2713 found 572.2705; EI-MS *m/z* (rel intensity) 571 (M⁺,

1); HPLC (Daicel CHIRALCEL® OD-H, 0.46×25 cm, UV 254 nm, hexane : 2-propanol = 98 : 2, 0.8 mL/min) t_R = 11.9 min (CD : λ_{ext} ($\Delta\epsilon$) 254 (-)), t_R = 16.2 min (CD : λ_{ext} ($\Delta\epsilon$) 254 (+)).

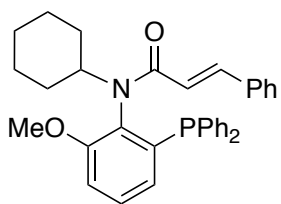
Preparation of Cinnamoyl Amide (\pm)-1b.



To the solution of aminophosphine **3b** (0.132 g, 0.30 mmol) in THF (8.0 mL) was added pyridine (0.048 mL, 0.60 mmol), *N,N*-dimethyl-4-aminopyridine (16 mg, 0.13 mmol) and cinnamoyl chloride (0.100 g, 0.6 mmol) at room temperature. The reaction mixture was stirred at 60 °C. After 48 h, the mixture was quenched with water and diluted with diethyl ether. The organic layer was washed with water and brine, and dried over MgSO₄. The filtrate was concentrated and the residue was purified by column chromatography (hexane:EtOAc = 4:1).

(\pm)-*N*-(Adamantan-2-yl)-*N*-(2-(diphenylphosphaneyl)-6-methoxyphenyl)cinnamamide (\pm)-**1b**). 92% yield (157 mg, 0.28 mmol) as a white solid; mp 184-196 °C; ¹H NMR (400 MHz, CDCl₃) δ 7.36-7.27 (m, 5H), 7.25-7.13 (m, 7H), 7.00-6.94 (m, 6H), 6.86 (qd, *J* = 2.7 and 7.7 Hz, 1H), 5.74 (d, *J* = 15.3 Hz, 1H), 4.71 (s, 1H), 3.84 (s, 3H), 2.76 (s, 1H), 2.23-2.16 (m, 2H), 2.04 (d, *J* = 12.1 Hz, 1H), 1.85-1.79 (m, 3H), 1.72-1.64 (m, 4H), 1.44 (t, *J* = 14.7 Hz, 2H), 1.20 (d, *J* = 14.4 Hz, 1H); ¹³C NMR (101 MHz, CDCl₃) δ 167.5, 157.2 (d, *J*_{CP} = 6.6 Hz), 139.8, 135.6, 134.6 × 2 (d, *J*_{CP} = 22.0 Hz), 133.4 (d, *J*_{CP} = 27.6 Hz), 133.2 × 2 (d, *J*_{CP} = 19.2 Hz), 129.3, 128.9, 128.7, 128.4 × 2 (d, *J*_{CP} = 6.0 Hz), 128.3, 128.2, 128.1 × 4, 127.6 × 4, 126.7 (d, *J*_{CP} = 2.2 Hz), 120.5, 112.2, 63.4 (d, *J*_{CP} = 6.6 Hz), 55.4, 38.8, 37.9, 37.8, 31.9 (d, *J*_{CP} = 2.2 Hz), 31.4, 30.8 (d, *J*_{CP} = 6.6 Hz), 30.3, 27.8, 27.0; ³¹P NMR (121 MHz, CDCl₃) δ -16.2; HRMS (ESI-orbitrap) *m/z* calcd for C₃₈H₃₈O₂NP + H 572.2713 found 572.2711; EI-MS *m/z* (rel intensity) 571 (M⁺, 0.4); HPLC (Daicel CHIRALPAC® IA, 0.46×25 cm, UV 270 nm, hexane : 2-propanol = 98 : 2, 1.0 mL/min) t_R = 15.0 min (CD : λ_{ext} ($\Delta\epsilon$) 254 (-)), t_R = 20.4 min (CD : λ_{ext} ($\Delta\epsilon$) 254 (+)).

Preparation of Cinnamoyl Amide (\pm)-1c.

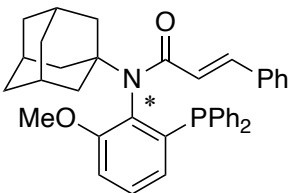


To the solution of aminophosphine **3c** (0.312 g, 0.80 mmol) in THF (20 mL) was added pyridine (0.13 mL, 1.6 mmol), *N,N*-dimethyl-4-aminopyridine (26 mg, 0.20 mmol) and cinnamoyl chloride (0.267 g, 1.6 mmol) at room temperature. The reaction mixture was stirred at 60 °C. After 48 h, the mixture was quenched with water and diluted with diethyl ether. The organic layer was washed with water and brine, and dried over MgSO₄. The filtrate was concentrated and the residue was purified by column chromatography (hexane:EtOAc = 4:1).

(\pm)-*N*-(Cyclohexyl)-*N*-(2-(diphenylphosphanyl)-6-methoxyphenyl)cinnamamide ((\pm)-**1c**). 99% yield (412 mg, 0.79 mmol) as a white solid; mp 175-177 °C; ¹H NMR (400 MHz, CDCl₃) δ 7.38 (d, *J* = 15.5 Hz, 1H), 7.33-7.26 (m, 6H), 7.24-7.18 (m 4H), 7.10-7.02 (m, 5H), 6.95 (dd, *J* = 1.2 and 8.3 Hz, 1H), 6.84 (ddd, *J* = 1.3, 2.7 and 7.7 Hz, 1H), 5.70 (d, *J* = 15.6 Hz, 1H), 4.11 (tt, *J* = 3.5 and 11.6 Hz, 1H), 3.75 (s, 3H), 2.13 (t, *J* = 13.9 Hz, 2H), 1.73-1.63 (m, 3H), 1.57-1.42 (m, 3H), 1.33-1.22 (m, 2H) 0.98 (tq, *J* = 3.7 and 13.0 1H); ¹³C NMR (101 MHz, CDCl₃) δ 166.9, 156.9 (d, *J*_{CP} = 5.9 Hz), 141.0 (d, *J*_{CP} = 13.9 Hz), 140.0, 137.0 (d, *J*_{CP} = 13.2 Hz), 135.7 (d, *J*_{CP} = 13.2 Hz), 135.4, 134.303 (d, *J*_{CP} = 27.3 Hz) × 2, 134.296 (d, *J*_{CP} = 21.6 Hz) × 2, 133.2 (d, *J*_{CP} = 19.1 Hz) × 2, 129.1, 128.8 (d, *J*_{CP} = 2.9 Hz) × 2, 128.4 (d, *J*_{CP} = 2.0 Hz) × 2, 128.29 × 2, 128.22, 128.16 × 2, 127.6 × 2, 126.7 (d, *J*_{CP} = 1.5 Hz), 120.4, 112.2, 59.4, 55.5, 30.9 (d, *J*_{CP} = 7.3 Hz), 30.6 (d, *J*_{CP} = 2.2 Hz), 26.1, 26.0, 25.9; ³¹P NMR (121 MHz, CDCl₃) δ -17.4; HRMS (ESI-orbitrap) *m/z* calcd for C₃₄H₃₄O₂NP + H 520.2400 found 520.2397; EI-MS *m/z* (rel intensity) 519 (M⁺, 6); HPLC (Daicel CHIRALCEL® OD-H, 0.46×25 cm, UV 270 nm, hexane : 2-propanol = 98 : 2, 1.0 mL/min) *t*_R = 15.1 min (CD : $\lambda_{\text{ext}} (\Delta\epsilon)$ 254 (-)), *t*_R = 18.6 min (CD : $\lambda_{\text{ext}} (\Delta\epsilon)$ 254 (+)).

Optical Resolution of (\pm)-**1a**.

HPLC resolution of (\pm)-**1a** (49.1 mg, 0.086 mmol) dissolved in hexane (10 mL) was carried out by successive injections of 2 mL on a CHIRALCEL® OD (1.0×25 cm) and CHIRALCEL® OD-H (1.0×25 cm). A solution of hexane : 2-propanol = 98 : 2 was used as the eluent working at a flow rate of 1.8 mL/min and with UV monitoring at 254 nm. (-)-**1a** and (+)-**1a** were obtained by concentration of fractions respectively.



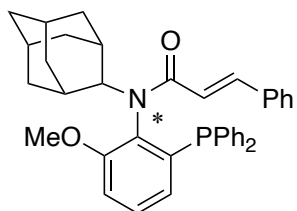
(-)-N-(Adamantan-1-yl)-N-(2-(diphenylphosphaneyl)-6-methoxyphenyl)cinnamamide ((-)-1a). 28% yield (13.7 mg, 0.024 mmol) as a white solid; mp 100-102 °C; 99% ee; $[\alpha]^{20}_D -37.0$ (*c* 0.23, CHCl₃); ¹H NMR (300 MHz, CDCl₃) δ 7.40 (d, *J* = 15.5 Hz 1H), 7.35-7.26 (m, 6H), 7.24-7.19 (m, 3H), 7.16-7.12 (m, 2H), 7.07-6.98 (m, 5H), 6.96 (dd, *J* = 1.3 and 8.3 Hz, 1H), 6.82 (qd, *J* = 1.2 and 7.7 Hz, 1H), 5.71 (q, *J* = 15.5 Hz 1H), 3.81 (s, 3H), 2.33-2.28 (m, 6H), 1.96 (s, 3H), 1.53 (s, 6H); ¹³C NMR (75 MHz, CDCl₃) δ 166.5, 157.3 (d, *J*_{CP} = 24.0 Hz), 141.4 (d, *J*_{CP} = 52.0 Hz), 139.8, 136.7 (d, *J*_{CP} = 39.9 Hz), 136.4 (d, *J*_{CP} = 38.3 Hz), 135.7, 135.4 (d, *J*_{CP} = 112.3 Hz), 134.0 (d, *J*_{CP} = 84.6 Hz) \times 2, 133.7 (d, *J*_{CP} = 78.0 Hz) \times 2, 128.9, 128.8, 128.6, 128.50 (d, *J*_{CP} = 25.5 Hz) \times 2, 128.46, 128.33 (d, *J*_{CP} = 28.4 Hz) \times 2, 128.31 \times 2, 127.7 \times 2, 127.2 (d, *J*_{CP} = 6.0 Hz), 122.1, 111.9, 61.1, 55.6, 39.6 (d, *J*_{CP} = 3.7 Hz) \times 3, 36.6 \times 3, 30.3 \times 3; ³¹P NMR (121 MHz, CDCl₃) δ -17.9; HRMS (ESI-orbitrap) *m/z* calcd for C₃₈H₃₈O₂NP + H 572.2713 found 572.2706; EI-MS *m/z* (rel intensity) 571 (M⁺, 1); HPLC (Daicel CHIRALCEL® OD-H, 0.46×25 cm, UV 254 nm, hexane : 2-Propanol = 98 : 2, 1.0 mL/min) *t*_R (major) = 10.7 min (CD : λ_{ext} ($\Delta\epsilon$) 254 (-)), *t*_R (minor) = 16.4 min (CD : λ_{ext} ($\Delta\epsilon$) 254 (+)).

(+)-N-(Adamantan-1-yl)-N-(2-(diphenylphosphaneyl)-6-methoxyphenyl)cinnamamide ((+)-1a). 33% yield (16.2 mg, 0.028 mmol) as a white solid; mp 100-102 °C; 99% ee; $[\alpha]^{20}_D 41.6$ (*c* 0.53, CHCl₃); ¹H NMR (300 MHz, CDCl₃) δ 7.40 (d, *J* = 15.5 Hz 1H), 7.35-7.29 (m, 6H), 7.24-7.19 (m, 3H), 7.16-7.11 (m, 2H), 7.08-6.99 (m, 5H), 6.96 (dd, *J* = 1.3 and 8.3 Hz, 1H), 6.81 (qd, *J* = 1.2 and 7.7 Hz, 1H), 5.72 (q, *J* = 15.5 Hz 1H), 3.81 (s, 3H), 2.33-2.28 (m, 6H), 1.96 (s, 3H), 1.53 (s, 6H); ¹³C NMR (75 MHz, CDCl₃) δ 166.5, 157.3 (d, *J*_{CP} = 24.0 Hz), 141.4 (d, *J*_{CP} = 52.0 Hz), 139.8, 136.7 (d, *J*_{CP} = 39.9 Hz), 136.4 (d, *J*_{CP} = 38.3 Hz), 135.7, 135.3 (d, *J*_{CP} = 112.3 Hz), 134.0 (d, *J*_{CP} = 84.6 Hz) \times 2, 133.7 (d, *J*_{CP} = 78.0 Hz) \times 2, 128.9, 128.8, 128.6, 128.49 (d, *J*_{CP} = 25.5 Hz) \times 2, 128.47, 128.33 (d, *J*_{CP} = 28.4 Hz) \times 2, 128.31 \times 2, 127.7 \times 2, 127.2 (d, *J*_{CP} = 6.0 Hz), 122.1, 111.9, 61.1, 55.6, 39.6 (d, *J*_{CP} = 3.7 Hz) \times 3, 36.6 \times 3, 30.3 \times 3; ³¹P NMR (121 MHz, CDCl₃) δ -17.9; HRMS (ESI-orbitrap) *m/z* calcd for C₃₈H₃₈O₂NP + H 572.2713 found 572.2704; EI-MS *m/z* (rel intensity) 571 (M⁺, 1); HPLC (Daicel CHIRALCEL® OD-H, 0.46×25 cm, UV

254 nm, hexane : 2-Propanol = 98 : 2, 1.0 mL/min) t_R (miner) = 10.7 min (CD : λ_{ext} ($\Delta\epsilon$) 254 (-)), t_R (major) = 14.9 min (CD : λ_{ext} ($\Delta\epsilon$) 254 (+)).

Optical Resolution of (\pm)-1b.

HPLC resolution of (\pm)-1b (74.8 mg, 0.131 mmol) dissolved in hexane (40 mL) was carried out by successive injections of 2 mL on a CHIRALPAC® IA (1.0 \times 25 cm). A solution of hexane : 2-propanol = 98 : 2 was used as the eluent working at a flow rate of 1.5 mL/min and with UV monitoring at 270 nm. (+)-1b and (-)-1b were obtained by concentration of fractions respectively.



(+)-N-(Adamantan-2-yl)-N-(2-(diphenylphosphaneyl)-6-

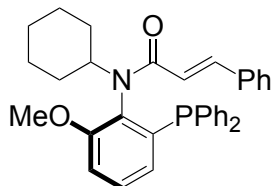
methoxyphenyl)cinnamamide ((+)-1b). 14% yield (10.5 mg, 0.018 mmol) as a white solid; mp 184-186 °C; 99% ee; $[\alpha]^{20}_D$ 96.9 (c 1.05, CHCl₃); ¹H NMR (300 MHz, CDCl₃) δ 7.36-7.27 (m, 5H), 7.24-7.13 (m, 7H), 7.00-6.94 (m, 6H), 6.86 (qd, J = 2.7 and 7.7 Hz, 1H), 5.74 (d, J = 15.3 Hz, 1H), 4.71 (s, 1H), 3.83 (s, 3H), 2.76 (s, 1H), 2.23-2.16 (m, 2H), 2.04 (d, J = 12.1 Hz, 1H), 1.85-1.80 (m, 3H), 1.73-1.63 (m, 4H), 1.44 (t, J = 14.7 Hz, 2H), 1.20 (d, J = 14.4 Hz, 1H); ¹³C NMR (101 MHz, CDCl₃) δ 167.5, 157.2 (d, J_{CP} = 6.6 Hz), 139.8, 135.6, 134.6 \times 2 (d, J_{CP} = 22.0 Hz), 133.3 (d, J_{CP} = 27.6 Hz), 133.13 \times 2 (d, J_{CP} = 19.2 Hz), 129.3, 128.9, 128.7, 128.4 \times 2 (d, J_{CP} = 6.0 Hz), 128.3, 128.23, 128.16 \times 4, 127.6 \times 4, 126.7 (d, J_{CP} = 2.2 Hz), 120.5, 112.2, 63.4 (d, J_{CP} = 6.6 Hz), 55.4, 38.8, 37.90, 37.86, 31.9 (d, J_{CP} = 2.2 Hz), 31.4, 30.8 (d, J_{CP} = 6.6 Hz), 30.3, 27.8, 27.0; ³¹P NMR (121 MHz, CDCl₃) δ -16.1; HRMS (ESI-orbitrap) m/z calcd for C₃₈H₃₈O₂NP + H 572.2713 found 572.2712; EI-MS m/z (rel intensity) 571 (M⁺, 7); HPLC (Daicel CHIRALPAC® IA, 0.46 \times 25 cm, UV 270 nm, hexane : 2-Propanol = 98 : 2, 1.5 mL/min) t_R (major) = 14.7 min (CD : λ_{ext} ($\Delta\epsilon$) 254 (-)), t_R (miner) = 20.6 min (CD : λ_{ext} ($\Delta\epsilon$) 254 (+)).

(-)-N-(Adamantan-2-yl)-N-(2-(diphenylphosphaneyl)-6-methoxyphenyl)cinnamamide ((-)-1b). 16% yield (11.5 mg, 0.020 mmol) as a white solid; mp 184-186 °C; 99% ee; $[\alpha]^{20}_D$ -94.2 (c 0.43, CHCl₃); ¹H NMR (300 MHz, CDCl₃) δ 7.36-7.27 (m, 5H), 7.25-7.13 (m, 7H), 7.00-6.94 (m, 6H), 6.86 (qd, J = 2.7 and 7.7 Hz, 1H), 5.74 (d, J = 15.3 Hz, 1H), 4.71 (s, 1H), 3.84 (s, 3H), 2.76 (s, 1H), 2.23-2.16 (m, 2H), 2.04 (d, J = 12.1 Hz, 1H), 1.85-1.80 (m, 3H), 1.72-1.64 (m, 4H), 1.44 (t, J = 14.7 Hz, 2H), 1.20 (d, J = 14.4 Hz, 1H);

¹³C NMR (101 MHz, CDCl₃) δ 167.5, 157.2 (d, *J*_{CP} = 6.6 Hz), 139.8, 135.6, 134.6 × 2 (d, *J*_{CP} = 22.0 Hz), 133.3 (d, *J*_{CP} = 27.6 Hz), 133.1 × 2 (d, *J*_{CP} = 19.2 Hz), 129.3, 128.9, 128.7, 128.4 × 2 (d, *J*_{CP} = 6.0 Hz), 128.3, 128.22, 128.15 × 4, 127.6 × 4, 126.7 (d, *J*_{CP} = 2.2 Hz), 120.5, 112.2, 63.4 (d, *J*_{CP} = 6.6 Hz), 55.4, 38.8, 37.89, 37.86, 31.9 (d, *J*_{CP} = 2.2 Hz), 31.4, 30.8 (d, *J*_{CP} = 6.6 Hz), 30.2, 27.8, 27.0; ³¹P NMR (121 MHz, CDCl₃) δ -16.1; HRMS (ESI-orbitrap) *m/z* calcd for C₃₈H₃₈O₂NP + H 572.2713 found 572.2711; EI-MS *m/z* (rel intensity) 571 (M⁺, 3); HPLC (Daicel CHIRALPAC® IA, 0.46×25 cm, UV 270 nm, hexane : 2-Propanol = 98 : 2, 1.5 mL/min) *t*_R (miner) = 15.2 min (CD : $\lambda_{\text{ext}} (\Delta\epsilon)$ 254 (-)), *t*_R (major) = 20.6 min (CD : $\lambda_{\text{ext}} (\Delta\epsilon)$ 254 (+)).

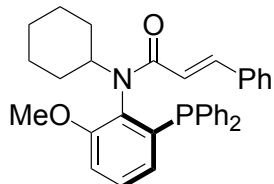
Optical Resolution of (±)-1c.

HPLC resolution of (±)-1c (96.9 mg, 0.186 mmol) dissolved in hexane (50 mL) was carried out by successive injections of 2 mL on a CHIRALCEL® OD (1.0×25 cm). A solution of hexane : 2-propanol = 98 : 2 was used as the eluent working at a flow rate of 3.0 mL/min and with UV monitoring at 254 nm. (aR)-(-)-1c and (aS)-(+)1c were obtained by concentration of fractions respectively.



(aR)-(-)-N-(Cyclohexyl)-N-(2-(diphenylphosphaneyl)-6-methoxyphenyl)cinnamamide ((aR)-(-)-1c). 36% yield (34.9 mg, 0.067 mmol) as a white solid; mp 175-177 °C; 99% ee; [α]²⁰_D-149 (*c* 0.48, CHCl₃); ¹H NMR (300 MHz, CDCl₃) δ 7.38 (d, *J* = 15.5 Hz, 1H), 7.34-7.26 (m, 6H), 7.25-7.18 (m 4H), 7.10-7.02 (m, 5H), 6.95 (dd, *J* = 1.2 and 8.3 Hz, 1H), 6.84 (ddd, *J* = 2.7 and 1.3 and 7.7 Hz, 1H), 5.70 (d, *J* = 15.6 Hz, 1H), 4.11 (tt, *J* = 3.5 and 11.6 Hz, 1H), 3.75 (s, 3H), 2.13 (t, *J* = 13.9 Hz, 2H), 1.71-1.63 (m, 3H), 1.57-1.42 (m, 3H), 1.33-1.22 (m, 2H) 0.99 (tq, *J* = 3.7 and 13.0 1H); ¹³C NMR (101 MHz, CDCl₃) δ 166.9, 156.9 (d, *J*_{CP} = 5.9 Hz), 141.0 (d, *J*_{CP} = 13.9 Hz), 140.1, 137.0 (d, *J*_{CP} = 13.2 Hz), 135.7 (d, *J*_{CP} = 13.2 Hz), 135.5, 134.39 (d, *J*_{CP} = 22.0 Hz) × 2, 134.38 (d, *J*_{CP} = 30.1 Hz) × 2, 133.2 (d, *J*_{CP} = 19.1 Hz) × 2, 129.2, 128.8 (d, *J*_{CP} = 2.9 Hz) × 2, 128.42 (d, *J*_{CP} = 3.0 Hz) × 2, 128.35(d, *J*_{CP} = 1.5 Hz) × 2, 128.27, 128.22 × 2, 127.7 × 2, 126.7 (d, *J*_{CP} = 1.5 Hz), 120.4, 112.2, 59.5, 55.6, 31.0 (d, *J*_{CP} = 7.3 Hz), 30.7 (d, *J*_{CP} = 2.2 Hz), 26.2, 26.1, 25.9; ³¹P NMR (121 MHz, CDCl₃) δ -17.4; HRMS (ESI-orbitrap) *m/z* calcd for C₃₄H₃₄O₂NP + H 520.2400 found 520.2398; EI-MS *m/z* (rel intensity) 519 (M⁺, 6); HPLC (Daicel CHIRALCEL® OD-H, 0.46×25 cm, UV 254 nm, hexane : 2-

Propanol = 98 : 2, 0.8 mL/min) t_R (major) = 13.8 min (CD : λ_{ext} ($\Delta\epsilon$) 254 (-)), t_R (minor) = 16.5 min (CD : λ_{ext} ($\Delta\epsilon$) 254 (+)).



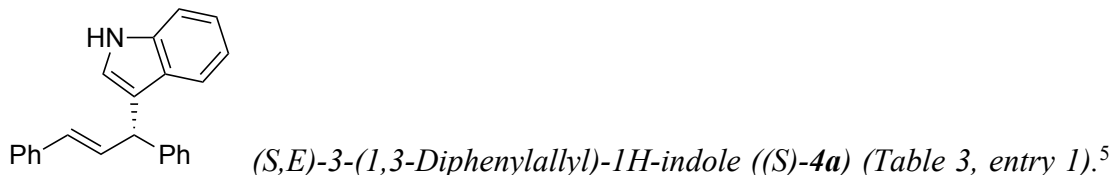
(aS)-(+)-N-(Cyclohexyl)-N-(2-(diphenylphosphaneyl)-6-methoxyphenyl)cinnamamide ((aS)-(+)-1c). 26% yield (25.2 mg, 0.048 mmol) as a white solid; mp 175-177 °C; 99% ee; $[\alpha]^{20}_D$ 131 (c 0.23, CHCl₃); ¹H NMR (300 MHz, CDCl₃) δ 7.38 (d, J = 15.5 Hz, 1H), 7.33-7.27 (m, 6H), 7.24-7.18 (m 4H), 7.10-7.02 (m, 5H), 6.95 (dd, J = 1.2 and 8.3 Hz, 1H), 6.84 (ddd, J = 2.7 and 1.3 and 7.7 Hz, 1H), 5.70 (d, J = 15.6 Hz, 1H), 4.11 (tt, J = 3.5 and 11.6 Hz, 1H), 3.76 (s, 3H), 2.13 (t, J = 13.9 Hz, 2H), 1.69-1.63 (m, 3H), 1.57-1.43 (m, 3H), 1.33-1.22 (m, 2H) 0.98 (tq, J = 3.7 and 13.0 1H); ¹³C NMR (101 MHz, CDCl₃) δ 166.9, 156.9 (d, J_{CP} = 5.9 Hz), 141.1 (d, J_{CP} = 13.9 Hz), 140.1, 137.1 (d, J_{CP} = 13.2 Hz), 135.8 (d, J_{CP} = 13.2 Hz), 135.5, 134.39 (d, J_{CP} = 22.0 Hz) \times 2, 134.38 (d, J_{CP} = 30.1 Hz) \times 2, 133.2 (d, J_{CP} = 19.1 Hz) \times 2, 129.2, 128.8 (d, J_{CP} = 2.9 Hz) \times 2, 128.42 (d, J_{CP} = 3.0 Hz) \times 2, 128.36 \times 2, 128.27, 128.22 \times 2, 127.7 \times 2, 126.7 (d, J_{CP} = 1.5 Hz), 120.4, 112.2, 59.5, 55.6, 31.0 (d, J_{CP} = 7.3 Hz), 30.7 (d, J_{CP} = 2.2 Hz), 26.2, 26.1, 25.9; ³¹P NMR (121 MHz, CDCl₃) δ -17.4; HRMS (ESI-orbitrap) *m/z* calcd for C₃₄H₃₄O₂NP + H 520.2400 found 520.2398; EI-MS *m/z* (rel intensity) 519 (M⁺, 5); HPLC (Daicel CHIRALCEL® OD-H, 0.46 \times 25 cm, UV 254 nm, hexane : 2-Propanol = 98 : 2, 0.8 mL/min) t_R (minor) = 12.8 min (CD : λ_{ext} ($\Delta\epsilon$) 254 (-)), t_R (major) = 17.3 min (CD : λ_{ext} ($\Delta\epsilon$) 254 (+)).

X-ray Diffraction Analysis data of (aS)-(+)-1c: Colorless Prismatic crystals from hexane, orthorhombic space group P2₁2₁2₁, a = 9.2573(2) Å, b = 17.7086(4) Å, c = 17.8309(4) Å, α = 90 °, β = 93.1780(10) °, γ = 90 °, V = 2923.09(11) Å³, Z = 4, ρ = 1.181 g/cm³, μ (CuKα) = 1.059 mm⁻¹. The structure was solved by the direct method of full-matrix least-squares, where the final R and Rw were 0.0418 and 0.1117 for 5103 reflections.

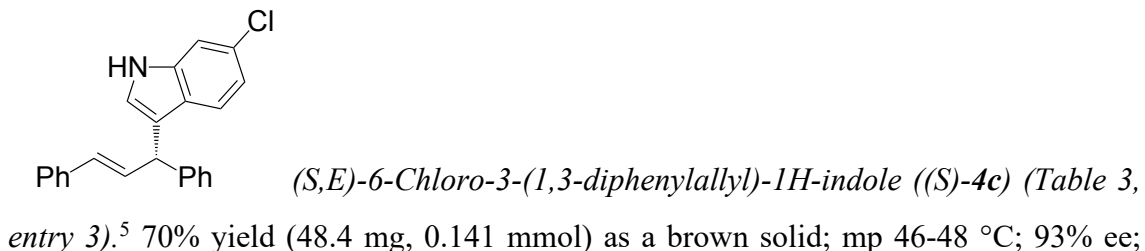
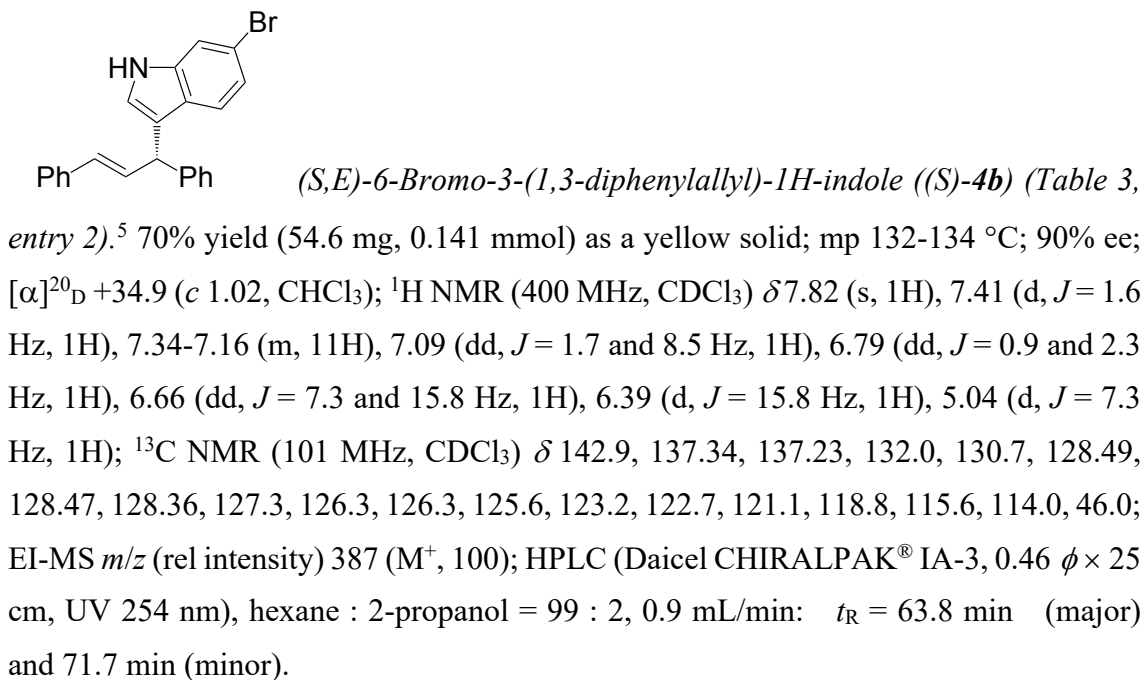
General Procedure for the Palladium-Catalyzed Allylic Alkylation of Indoles.

To a mixture of **1** (12 µmol), [Pd(C₃H₅)Cl]₂ (2.2 mg, 6 µmol), indole or substituted indole (0.2 mmol), 1,3-diphenyl-2-propenyl acetate (60.6 mg, 0.24 mmol), and Cs₂CO₃ (130 mg, 0.4 mol) was added THF (0.2 mL) at room temperature under an Ar atmosphere. After stirring for 18 h at 40 °C, the reaction mixture was quenched with water and diluted

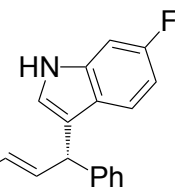
with diethyl ether. The organic layer was washed with water and brine, and dried over MgSO₄. The filtrate was concentrated under reduced pressure and the residue was purified by column chromatography (elution with *n*-hexane/EtOAc/Et₃N = 20/4/1).



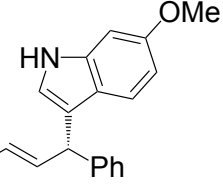
69% yield (42.8 mg, 0.138 mmol) as a yellow solid; mp 118-120 °C; 97% ee; [α]²⁰_D +36.7 (*c* 0.79, CHCl₃); ¹H NMR (400 MHz, CDCl₃) δ 7.78 (s, 1H), 7.41 (d, *J* = 8.0 Hz, 1H), 7.34-7.12 (m, 12H), 7.03-6.99 (m, 1H), 6.80 (d, *J* = 2.2 Hz, 1H), 6.70 (dd, *J* = 7.4 and 15.8 Hz, 1H), 6.42 (d, *J* = 15.8 Hz, 1H), 5.09 (d, *J* = 7.4 Hz, 1H); ¹³C NMR (101 MHz, CDCl₃) δ 143.3, 137.4, 136.5, 132.5, 130.5, 128.44×(1+1), 128.38, 127.1, 126.7, 126.34, 126.26, 122.6, 122.0, 119.8, 119.4, 118.5, 111.1, 46.1; EI-MS *m/z* (rel intensity) 309 (M⁺, 100); HPLC (Daicel CHIRALPAK® IB, 0.46 φ × 25 cm, UV 254 nm), hexane : ethanol = 99 : 1, 0.7 mL/min: *t_R* = 55.4 min (minor) and 61.3 min (major).



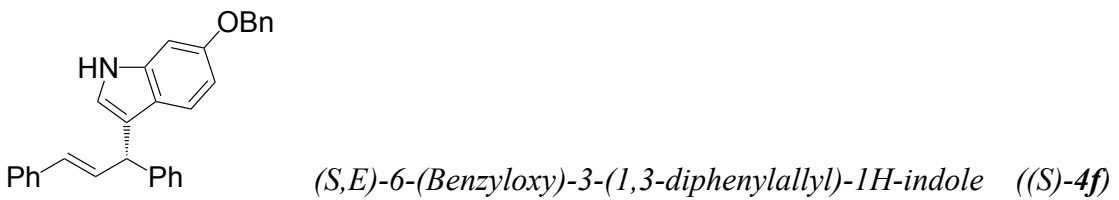
$[\alpha]^{20}_{\text{D}} +36.1$ (*c* 0.98, CHCl_3); ^1H NMR (400 MHz, CDCl_3) δ 7.86 (s, 1H), 7.35-7.17 (m, 12H), 6.96 (dd, *J* = 1.8 and 8.6 Hz, 1H), 6.83 (dd, *J* = 0.8 and 2.3 Hz, 1H), 6.67 (dd, *J* = 7.4 and 15.8 Hz, 1H), 6.40 (d, *J* = 15.8 Hz, 1H), 5.05 (d, *J* = 7.4 Hz, 1H); ^{13}C NMR (101 MHz, CDCl_3) δ 143.0, 137.2, 137.0, 132.1, 130.7, 128.49 \times 2, 128.47 \times 2, 128.37 \times 2, 128.0, 127.3, 126.5, 126.3 \times 2, 125.3, 123.2, 120.7, 120.1, 118.8, 111.0, 46.0; EI-MS *m/z* (rel intensity) 343 (M^+ , 100); HPLC (Daicel CHIRALPAK® IA-3, 0.46 $\phi \times 25$ cm, UV 254 nm), hexane : ethanol = 99 : 1, 0.7 mL/min: $t_{\text{R}} = 60.6$ min (major) and 63.8 min (minor).



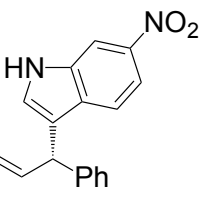
 (S,E) -3-(1,3-Diphenylallyl)-6-fluoro-1*H*-indole ((*S*)-4*d*) (Table 3, entry 4).⁵ 72% yield (47.4 mg, 0.145 mmol) as a brown solid; mp 42-44 °C; 93% ee; $[\alpha]^{20}_{\text{D}} +23.0$ (*c* 0.12, CHCl_3); ^1H NMR (400 MHz, CDCl_3) δ 7.84 (s, 1H), 7.35-7.16 (m, 11H), 6.96 (dd, *J* = 2.3 and 9.6 Hz, 1H), 6.81-6.64 (m, 3H), 6.41 (d, *J* = 15.8 Hz, 1H), 5.05 (d, *J* = 7.4 Hz, 1H); ^{13}C NMR (101 MHz, CDCl_3) δ 159.9 (d, $J_{\text{C}-\text{F}} = 236.2$ Hz), 143.1, 137.3, 136.5 (d, $J_{\text{C}-\text{F}} = 12.4$ Hz), 132.2, 130.7, 128.49, 128.45, 128.39, 127.2, 126.5, 126.3, 123.3, 122.8 (d, $J_{\text{C}-\text{F}} = 3.1$ Hz), 120.6 (d, $J_{\text{C}-\text{F}} = 10.0$ Hz), 118.7, 108.2 (d, $J_{\text{C}-\text{F}} = 24.2$ Hz), 97.4 (d, $J_{\text{C}-\text{F}} = 25.9$ Hz), 46.1; EI-MS *m/z* (rel intensity) 327 (M^+ , 100); HPLC (Daicel CHIRALPAK® IA, 0.46 $\phi \times 25$ cm, UV 254 nm), hexane : ethanol = 99 : 1, 0.5 mL/min: $t_{\text{R}} = 109.4$ min (major) and 118.9 min (minor).



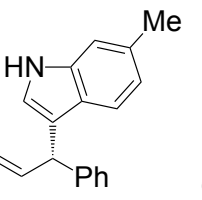
 (S,E) -3-(1,3-Diphenylallyl)-6-methoxy-1*H*-indole ((*S*)-4*e*) (Table 3, entry 5).⁵ 71% yield (48.3 mg, 0.142 mmol) as a yellow solid; mp 145-147 °C; 72% ee; $[\alpha]^{20}_{\text{D}} +37.0$ (*c* 1.04 CHCl_3); ^1H NMR (400 MHz, CDCl_3) δ .76 (s, 1H), 7.34-7.15 (m, 11H), 6.76 (d, *J* = 2.2 Hz, 1H), 6.72-6.66 (m, 3H), 6.42 (d, *J* = 15.8 Hz, 1H), 5.04 (d, *J* = 7.4 Hz, 1H), 3.77 (s, 3H); ^{13}C NMR (101 MHz, CDCl_3) δ 156.4, 143.4, 137.43, 137.36, 132.5, 130.4, 128.44, 128.41, 128.36, 127.1, 126.32, 126.26, 121.4, 121.2, 120.4, 118.5, 109.3, 94.6, 55.6, 46.2; EI-MS *m/z* (rel intensity) 339 (M^+ , 100); HPLC (Daicel CHIRALPAK® IB, 0.46 $\phi \times 25$ cm, UV 254 nm), hexane : ethanol = 99 : 1, 0.9 mL/min: $t_{\text{R}} = 76.8$ min (minor) and 84.1 min (major).



(Table 3, entry 6).⁵ 87% yield (63.9 mg, 0.154 mmol) as a yellow solid; mp 132-134 °C; 87% ee; $[\alpha]^{20}_D +32.78$ (*c* 1.02, CHCl₃); ¹H NMR (400 MHz, CDCl₃) δ 7.65 (s, 1H), 7.38 (d, *J* = 7.3 Hz, 2H), 7.34-7.13 (m, 14H), 6.76-6.64 (m, 4H), 6.40 (d, *J* = 15.8 Hz, 1H), 5.02 (d, *J* = 7.4 Hz, 1H), 4.99 (s, 2H); ¹³C NMR (101 MHz, CDCl₃) δ 155.5, 143.3, 137.41, 137.36, 137.23, 132.5, 130.4, 128.49, 128.44, 128.40, 128.36, 127.8, 127.4, 127.1, 126.32, 126.26, 121.53, 121.40, 120.4, 118.4, 110.0, 96.0, 70.5, 46.2; EI-MS *m/z* (rel intensity) 415 (M⁺, 88), 324 (100); HPLC (Daicel CHIRALPAK® IA, 0.46 ϕ × 25 cm, UV 254 nm), hexane : ethanol = 98 : 2, 0.7 mL/min: *t*_R = 46.0 min (major) and 52.3 min (minor).

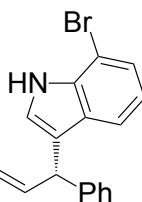


 (S,E) -3-(1,3-Diphenylallyl)-6-nitro-1*H*-indole ((*S*)-4*g*) (Table 3, entry 7).⁵ 26% yield (18.2 mg, 0.051 mmol) as a brown solid; mp 71-73 °C; 76% ee; $[\alpha]^{20}_D +28.6$ (*c* 0.45, CHCl₃); ¹H NMR (400 MHz, CDCl₃) δ 8.66 (s, 1H), 8.35 (d, *J* = 0.5 Hz, 1H), 7.91 (dd, *J* = 1.4 and 8.9 Hz, 1H), 7.43 (d, *J* = 8.8 Hz, 1H), 7.38-7.22 (m, 11H), 6.69 (dd, *J* = 7.3 and 15.8 Hz, 1H), 6.42 (d, *J* = 15.9 Hz, 1H), 5.12 (d, *J* = 7.4 Hz, 1H); ¹³C NMR (101 MHz, CDCl₃) δ 143.2, 142.4, 137.0, 135.1, 131.42, 131.36, 131.1, 128.63, 128.60, 128.5, 128.3, 127.4, 126.8, 126.3, 119.73, 119.67, 114.9, 108.2, 45.8; EI-MS *m/z* (rel intensity) 354 (M⁺, 100); HPLC (Daicel CHIRALPAK® IA-3, 0.46 ϕ × 25 cm, UV 254 nm), hexane : ethanol = 98 : 2, 0.5 mL/min: *t*_R = 104.1 min (major) and 111.9 min (minor).

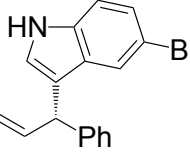


 (S,E) -3-(1,3-Diphenylallyl)-6-methyl-1*H*-indole ((*S*)-4*h*) (Table 3, entry 8).⁵ 34% yield (22.0 mg, 0.068 mmol) as a brown solid; mp 125-127 °C; 87% ee; $[\alpha]^{20}_D +33.8$ (*c* 0.25, CHCl₃); ¹H NMR (400 MHz, CDCl₃) δ 7.81 (s, 1H), 7.36-7.17 (m, 11H), 7.12 (s, 1H), 6.85 (d, *J* = 8.1 Hz, 1H), 6.80 (dd, *J* = 0.7 and 2.2 Hz, 1H), 6.71 (dd, *J* = 7.4 and 15.8 Hz, 1H), 6.43 (d, *J* = 15.8 Hz, 1H), 5.08 (d, *J* = 7.4 Hz, 1H), 2.42 (s, 3H);

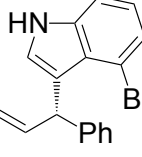
¹³C NMR (101 MHz, CDCl₃) δ 143.4, 137.4, 137.0, 132.5, 131.9, 130.4, 128.43×(1+1), 128.36, 127.1, 126.30, 126.27, 124.6, 121.9, 121.1, 119.5, 118.4, 111.0, 46.2, 21.7; EI-MS *m/z* (rel intensity) 323 (M⁺, 100); HPLC (Daicel CHIRALPAK® IB, 0.46 ϕ × 25 cm, UV 254 nm), hexane : ethanol = 99 : 1, 0.7 mL/min: *t_R* = 64.9 min (minor) and 72.2 min (major).



 Ph-CH=CH-CH₂-Ph (*S,E*)-7-Bromo-3-(1,3-diphenylallyl)-1*H*-indole ((*S*)-4*i*) (Table 3, entry 9).⁵ 64% yield (50.0 mg, 0.129 mmol) as a brown solid; mp 35-37 °C; 83% ee; $[\alpha]^{20}_D +15.6$ (*c* 0.27, CHCl₃); ¹H NMR (400 MHz, CDCl₃) δ 8.11 (s, 1H), 7.35-7.16 (m, 12H), 6.91 (dd, *J* = 0.9 and 2.4 Hz, 1H), 6.87 (t, *J* = 7.8 Hz, 1H), 6.68 (dd, *J* = 7.3 and 15.8 Hz, 1H), 6.40 (d, *J* = 15.8 Hz, 1H), 5.07 (d, *J* = 7.3 Hz, 1H); ¹³C NMR (101 MHz, CDCl₃) δ 142.9, 137.3, 135.3, 132.0, 130.8, 128.481, 128.468, 128.40, 127.9, 127.3, 126.5, 126.3, 124.4, 123.2, 120.6, 119.9, 119.1, 104.7, 46.2; EI-MS *m/z* (rel intensity) 387 (M⁺, 100); HPLC (Daicel CHIRALPAK® IB, 0.46 ϕ × 25 cm, UV 254 nm), hexane : ethanol = 99 : 1, 0.7 mL/min: *t_R* = 25.0 min (major) and 28.4 min (minor).

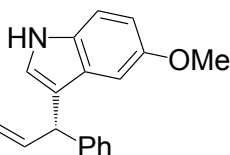


 Ph-CH=CH-CH₂-Ph (*S,E*)-5-Bromo-3-(1,3-diphenylallyl)-1*H*-indole ((*S*)-4*j*) (Table 3, entry 10).⁵ 60% yield (46.7 mg, 0.120 mmol) as a brown solid; mp 50-52 °C; 91% ee; $[\alpha]^{20}_D +37.2$ (*c* 0.55, CHCl₃); ¹H NMR (400 MHz, CDCl₃) δ 7.90 (s, 1H), 7.53 (t, *J* = 0.7 Hz, 1H), 7.35-7.13 (m, 12H), 6.83 (d, *J* = 2.2 Hz, 1H), 6.65 (dd, *J* = 7.3 and 15.8 Hz, 1H), 6.38 (d, *J* = 15.8 Hz, 1H), 5.03 (d, *J* = 7.2 Hz, 1H); ¹³C NMR (101 MHz, CDCl₃) δ 142.8, 137.2, 135.2, 132.0, 130.7, 128.49×(1+1), 128.34, 127.2, 126.5, 126.3, 125.0, 123.8, 122.2, 118.3, 112.68, 112.56, 45.8; EI-MS *m/z* (rel intensity) 387 (M⁺, 100); HPLC (Daicel CHIRALPAK® IB, 0.46 ϕ × 25 cm, UV 254 nm), hexane : ethanol = 99 : 1, 0.9 mL/min: *t_R* = 36.7 min (minor) and 39.2 min (major).



 Ph-CH=CH-CH₂-Ph (*S,E*)-4-Bromo-3-(1,3-diphenylallyl)-1*H*-indole ((*S*)-4*k*) (Table 3, entry 11).⁵ 68% yield (53.2 mg, 0.137 mmol) as a brown solid; mp 50-52 °C; 95% ee;

$[\alpha]^{20}_{\text{D}} +45.3$ (c 0.18, CHCl_3); ^1H NMR (400 MHz, CDCl_3) δ 8.12 (s, 1H), 7.33-7.15 (m, 12H), 6.95 (t, $J = 7.9$ Hz, 1H), 6.86 (d, $J = 2.4$ Hz, 1H), 6.70 (dd, $J = 6.6$ and 15.8 Hz, 1H), 6.21 (d, $J = 15.9$ Hz, 1H), 5.88 (d, $J = 6.5$ Hz, 1H); ^{13}C NMR (101 MHz, CDCl_3) δ 143.8, 137.69, 137.56, 133.7, 130.6, 128.92, 128.43, 128.18, 127.0, 126.22, 126.16, 124.90, 124.75, 124.3, 122.9, 118.9, 114.3, 110.5, 44.7; EI-MS m/z (rel intensity) 387 (M^+ , 100); HPLC (Daicel CHIRALPAK® IA-3, 0.46 $\phi \times 25$ cm, UV 254 nm), hexane : ethanol = 99 : 1, 0.5 mL/min: $t_{\text{R}} = 105.7$ min (major) and 116.8 min (minor).


 (S,E) -3-(1,3-Diphenylallyl)-5-methoxy-1*H*-indole ((*S*)-4*I*)
*(Table 3, entry 12).*⁵ 78% yield (53.1 mg, 0.156 mmol) as a brown solid; mp 53-55 °C;
91% ee; $[\alpha]^{20}_{\text{D}} +27.1$ (c 0.17, CHCl_3); ^1H NMR (400 MHz, CDCl_3) δ 7.80 (s, 1H), 7.35-7.16 (m, 11H), 6.83-6.80 (m, 3H), 6.69 (dd, $J = 7.3$ and 15.8 Hz, 1H), 6.42 (d, $J = 15.8$ Hz, 1H), 5.05 (d, $J = 7.2$ Hz, 1H), 3.69 (s, 3H); ^{13}C NMR (101 MHz, CDCl_3) δ 153.7, 143.2, 137.4, 132.4, 131.7, 130.5, 128.45×(1+1), 128.39, 127.127, 127.119, 126.4, 126.2 × 2, 123.4, 118.2, 112.1, 111.8, 101.7, 55.7, 46.1; EI-MS m/z (rel intensity) 339 (M^+ , 100); HPLC (Daicel CHIRALPAK® IB, 0.46 $\phi \times 25$ cm, UV 254 nm), hexane : ethanol = 99 : 1, 0.9 mL/min: $t_{\text{R}} = 42.1$ min (minor) and 49.5 min (major).

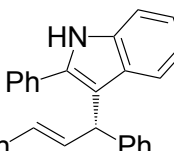

 (S,E) -3-(1,3-Diphenylallyl)-2-phenyl-1*H*-indole ((*S*)-4*m*)
*(Table 3, entry 13).*⁵ 88% yield (67.8 mg, 0.176 mmol) as a yellow solid; mp 86-88 °C; 92% ee;
 $[\alpha]^{20}_{\text{D}} +89.7$ (c 0.99, CHCl_3); ^1H NMR (400 MHz, CDCl_3) δ 7.94 (s, 1H), 7.49-7.12 (m, 18H), 7.00-6.96 (m, 1H), 6.88 (dd, $J = 7.3$ and 15.8 Hz, 1H), 6.39 (d, $J = 15.8$ Hz, 1H), 5.27 (d, $J = 7.2$ Hz, 1H); ^{13}C NMR (75 MHz, CDCl_3) δ 143.4, 137.4, 136.1, 135.5, 132.9, 132.2, 131.0, 128.8, 128.6, 128.4, 128.25, 128.23, 128.0, 127.8, 127.1, 126.3, 126.1, 122.1, 121.2, 119.7, 113.7, 110.9, 45.1; EI-MS m/z (rel intensity) 385 (M^+ , 100); HPLC (Daicel CHIRALPAK® IB, 0.46 $\phi \times 25$ cm, UV 254 nm), hexane : ethanol = 99 : 1, 0.9 mL/min: $t_{\text{R}} = 16.4$ min (major) and 17.8 min (minor).

Table S1. Time Dependence of Ee Value of **1b** at Various Temperatures in Dodecane.

Time (sec)	Ee (%) ^a at 70 °C	Ee (%) ^a at 75 °C	Ee (%) ^a at 80 °C	Ee (%) ^a at 85 °C
0	99.0	99.0	99.0	99.0
1800	98.4	97.5	97.8	96.8
3600	97.8	96.9	95.2	94.8
7200	95.7	93.8	90.7	88.6
14400	90.9	86.8	80.7	79.2
28800	84.2	73.6	66.1	63.0
86400	61.7	46.4	32.4	

^a Ee was determined by chiral HPLC analysis.

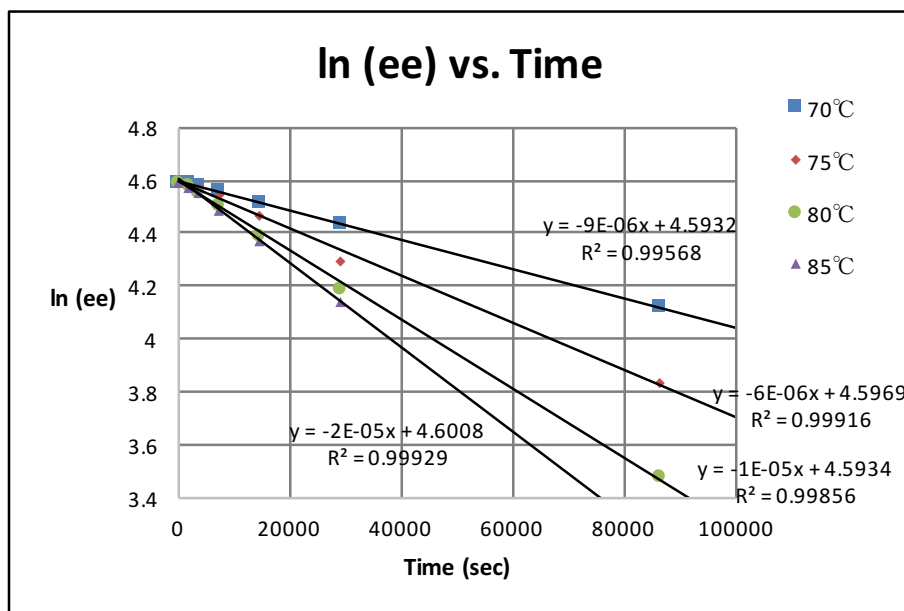


Figure S1. Data for the Racemization Plot of **1b**

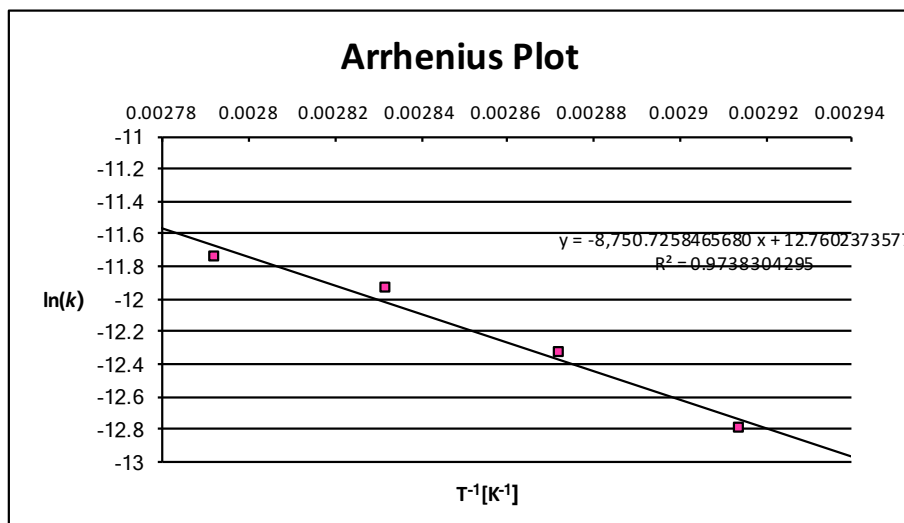


Figure S2. Data for the Arrhenius Plot of **1b**

Table S2. Time Dependence of Ee Value of **1c** at Various Temperatures in Dodecane.

Time (sec)	Ee (%) ^a at 40 °C	Ee (%) ^a at 45 °C	Ee (%) ^a at 55 °C	Ee (%) ^a at 60 °C
0	99.0	99.0	99.0	96.4
1800	96.3	94.6	85.4	71.8
3600	94.4	89.9	70.2	49.9
7200	89.1	78.3	54.9	
14400	80.5	64.3		
28800	63.9	39.5		

^a Ee was determined by chiral HPLC analysis.

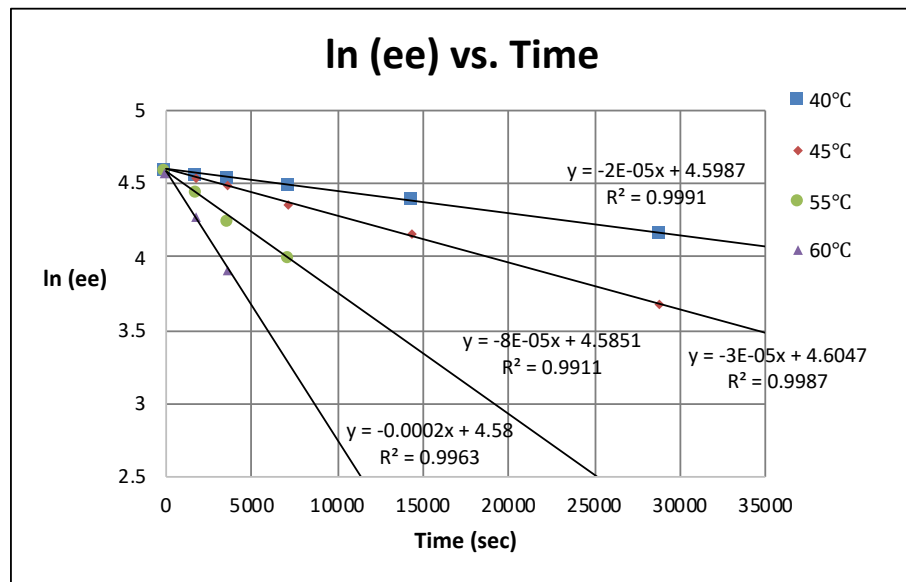


Figure S3. Data for the Racemization Plot of **1c**

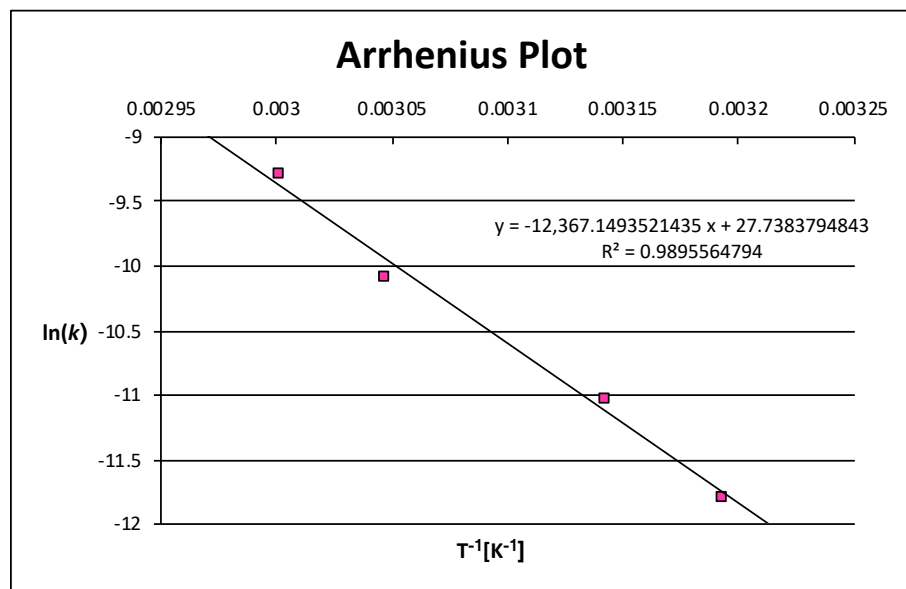
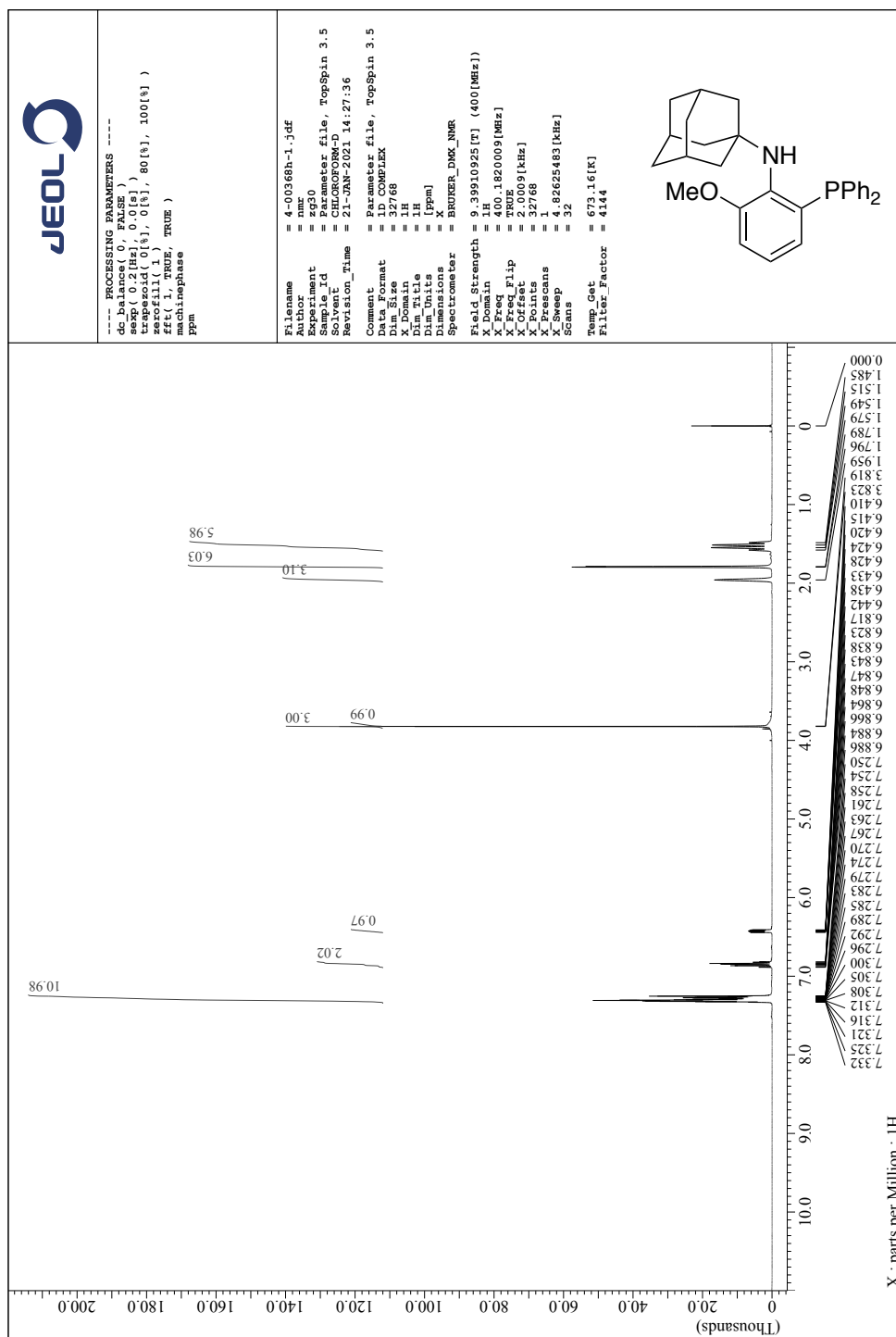


Figure S4. Data for the Arrhenius Plot of **1c**

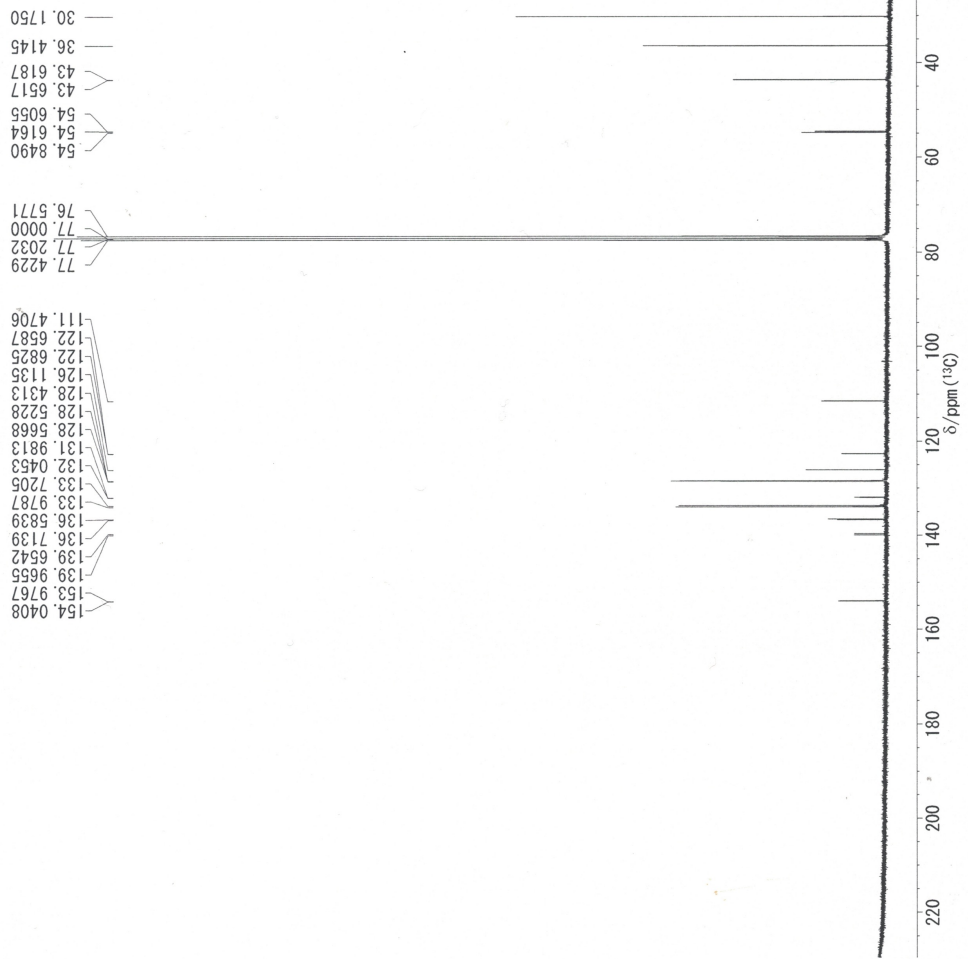
¹H, ¹³C and ³¹P NMR of *N*-(2-(Diphenylphosphanoyl)-6-methoxyphenyl)adamantan-1-amine (**3a**)



DFILE C:\YK\USEI6NMR\06MIN0201
8V2908C1Yffd.d
DATIM 07/Feb/2019 04:46:34
COMNT

ORIGIN
EXMOD
¹³C
ZGRG30
OBFRA 75.49 MHz
OFFSET 0.0 kHz
OBFIN 8301.699 Hz
POINT 131012(ZerOfi
111;x4)
FREQU 18115.94 Hz
SCANS 8192
ACQIM 1.8088 s
PD 2.0 s
PW1 0.0 μs
IRNUC OFF
PROBID 5 MM BBO BB-1H-D Z-GRD
INSTRM 28284/01
SPECT
PULSPRG
GRDPROG
CTEMP 26.85 °C
SLVNT CDCl₃
EREF 77.0 ppm
BF 0.25 Hz
WINDOW Exponential
RGAIN 1024

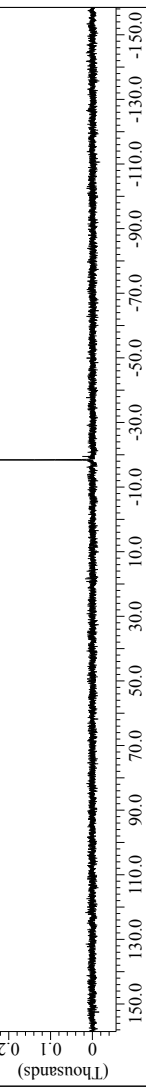
Operator _____



JEOL

```
-- PROCESSING PARAMETERS --
sexp( 2.0 [Hz], 0.0[s] )
trapezoid( 0%, 0%, 80%, 100% )
zerofill( 1 )
fft( 1, TRUE, TRUE )
machinephase
ppm
```

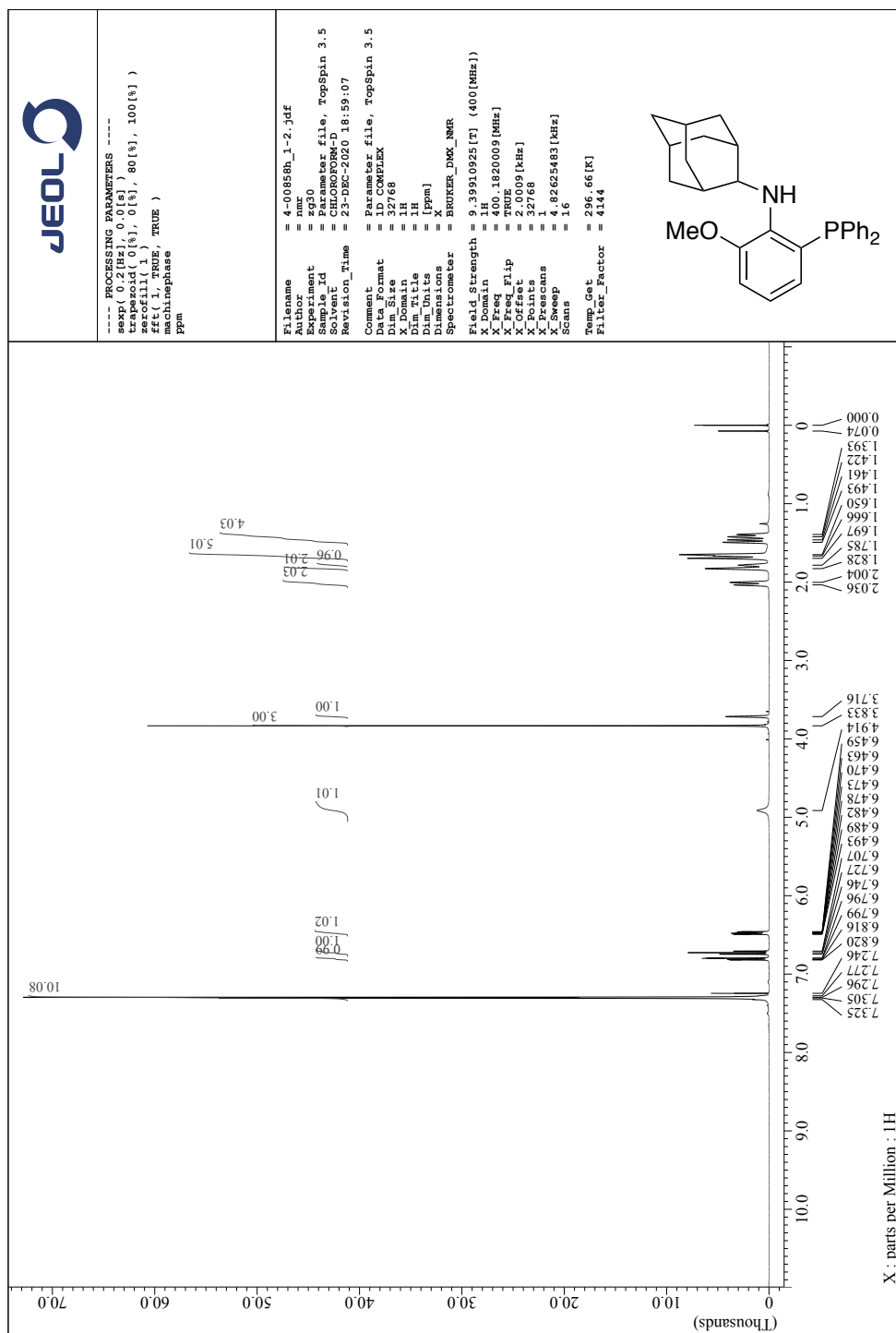
```
Filename      = 2908p-1.jdf
Author        = root
Experiment    = zppg10
Sample_Id     = Parameter_file, TOPSPIN Ver
Solvent       = CHLOROFORM-D
Revision_Time = 14-JAN-2021 20:46:22
Comment       = Parameter_file, TOPSPIN Ver
Data_Format  = 1D COMPLEX
Dim_Size     = 32768
X_Domain     = 31P
Dim_Title    = {31P}
Dim_Units    = {ppm}
Dimensions   = X
Spectrumcenter = BRUKER_DGX_NMR
Field_Strength = 7.05155322 [T] (300 [MHz])
X_Domin     = 31P
X_Freq      = 121.535182 [MHz]
X_Offset    = 0 [Hz]
X_Freq_Flip = TRUE
X_Points    = 32768
X_Presans   = 1
X_Sweep     = 8
Scans        = 8
Temp_Get    = 300 [K]
Filter_Factor = 3
```



X : parts per Million : 31P

-18.413

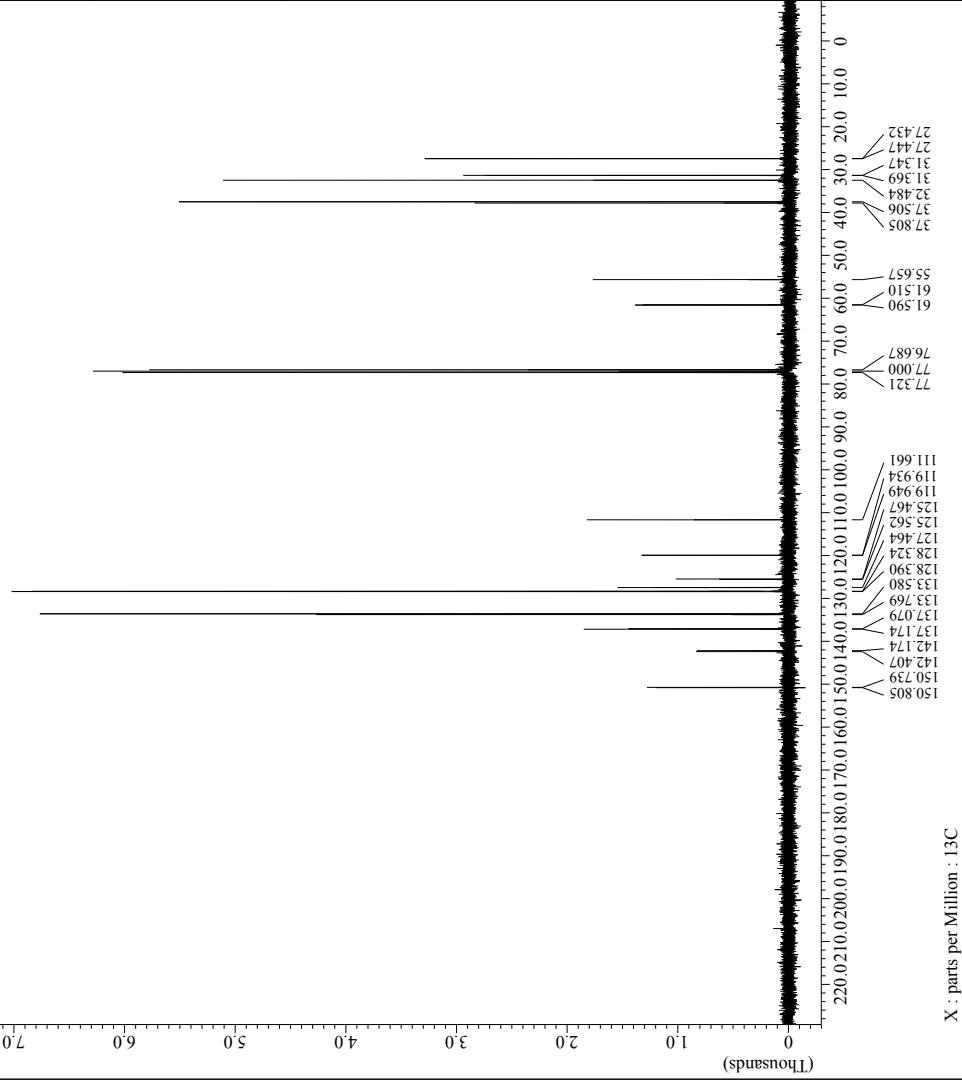
¹H, ¹³C and ³¹P NMR of *N*-(2-(Diphenylphosphanoyl)-6-methoxyphenyl)adamantan-2-amine (**3b**)



JEOL

```
-- PROCESSING PARAMETERS --
sexp( 0.1[Hz], 0.0[s] )
trapzoid( 0%, 0%, 80%, 100% )
zerofill( 1 )
fft( 1, TRUE, TRUE )
machinephase
ppm
```

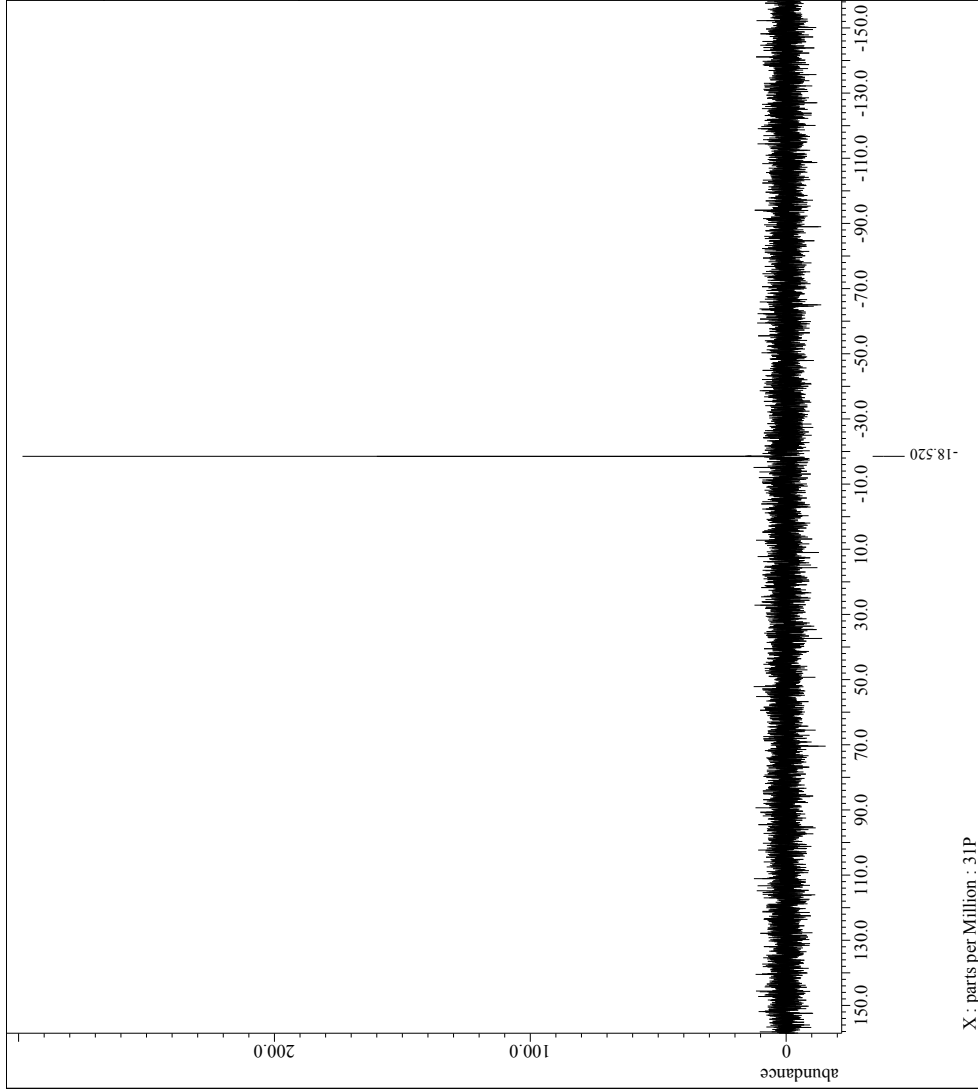
```
Filename      = 4-00858c_1-2.jdf
Author        = numr
Experiment    = zpg90
Sample_Id     = Parameter_file, TopSpin 3.5
Solvent       = CHLOROFORM-D
Revision_Time = 23-DEC-2020 19:01:43
Comment       = Parameter_file, TopSpin 3.5
Data_Format   = 1D COMPLEX
Dim_Size      = 32768
X_Domain     = 1.3C
Dim_Title     = 1.3C
Dim_Units     = [ppm]
Dimensions    = X
Spectrometer  = BRUKER_DRX_NMR
Field_Strength = 9.39910925[T] (400 [MHz])
X_Domain     = 1.3C
X_Offset     = 100.63640982 [MHz]
X_Freq        = TRUE
X_Fed_Flip   = 32768
X_Points     = 2
X_Presans    = 24.03846154 [kHz]
Scans         = 256
Temp_Get      = 297.36[K]
Filter_Factor = 832
```



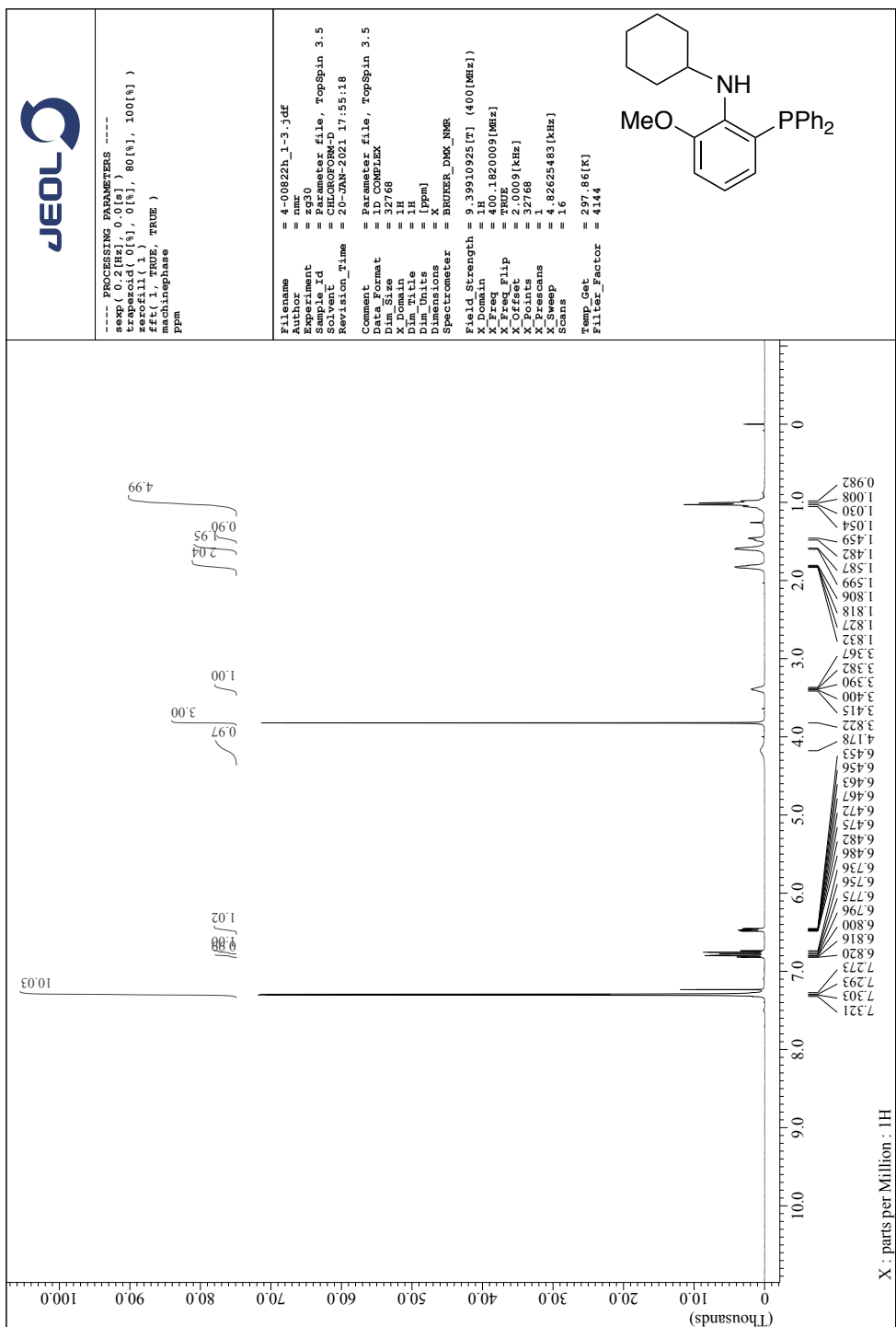
JEOL

```
-- PROCESSING PARAMETERS --
sexp( 2.0Hz], 0.0[ s ], 80( % ), 100( % )
trapezoid( 0[ s ], 0[ s ], 80( % ), 100( % )
zerotail( 1 )
fft( 1, TRUE, TRUE )
machinephase
ppm
```

```
Filename      = 22804p_1-1.dsf
Author        = root
Experiment   = zpgc30
Sample_Id    = Parameter file, TOPSPIN Var
Solvent      = CHLOROFORM-D
Revision_Time= 30-SEP-2020 20:02:24
Comment       = Parameter file, TOPSPIN Var
Data_Format  = 1D_CHEM3D
Data_File    = 31P
X_Domain    = 31P
Dir_Title   = [PPM]
Dir_Units   = [PPM]
Dimensions  = X
Spectrometer = BRUKER_DMX_NMR
Field_Strength= 7.05156322 [T] (300 [MHz])
X_Domain    = 31P
X_Freq       = 121.535182 [MHz]
X_Freq_Flip = 121.535182 [MHz]
X_Offset    = 1242
X_Points   = 32768
X_Prescans = 1
X_Sweep     = 38.53564547 [kHz]
Scans        = 8
Temp_Get    = 300 [K]
Filter_Factor= 3
```



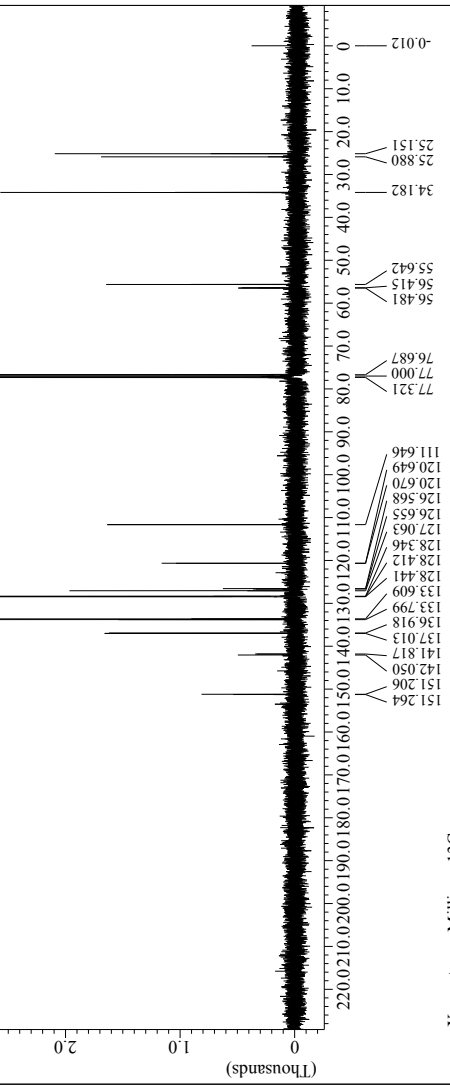
¹H, ¹³C and ³¹P NMR of *N*-(2-(Diphenylphosphaneyl)-6-methoxyphenyl)cyclohexylamine (**3c**)



JEOL

```
-- PROCESSING PARAMETERS --
sexp( 0.1[Hz], 0.0[s] )
trapzoid( 0%, 0%, 80%, 100% )
zerofill( 1 )
fft( 1, TRUE, TRUE )
machinephase
Ppm
```

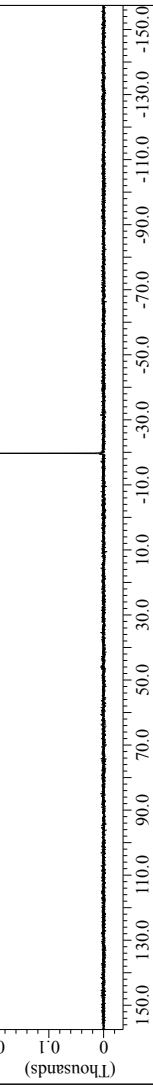
```
Filename      = 4-00860c_1-4.jdf
Author        = numr
Experiment   = zgpg30
Sample_Id    = Parameter file, TopSpin 3.5
Solvent      = CHLOROFORM-D
Revision_Time = 14-JAN-2021 21:23:13
Comment       = Parameter file, TopSpin 3.5
Data_Format  = 1D COMPLEX
Dim_Size     = 32768
X_Domain    = 1.3C
Dim_Title    = 1.3C
Dim_Units    = [ppm]
Dimensions   = X
Spectrometer = BRUKER_DRX_NMR
Field_Strength = 9.39910925[T] (400[NHz])
X_Domain_in = 1.3C
X_Freq       = 100.63640982[MHz]
X_Freq_Eq    = TRUE
X_Offset     = 32768
X_Fed_Flip  = TRUE
X_Points    = 2
X_Presans   = 24.03846154[KHz]
X_Sweep     = 512
Temp_Get     = 297.46[K]
Filter_Factor = 832
```



JEOL

```
-- PROCESSING PARAMETERS --
sexp( 2.0 [Hz], 0.0[s] )
trapzoid( 0%, 0%, 80%, 100% )
zerofill( 1 )
fft( 1, TRUE, TRUE )
machinephase
ppm
```

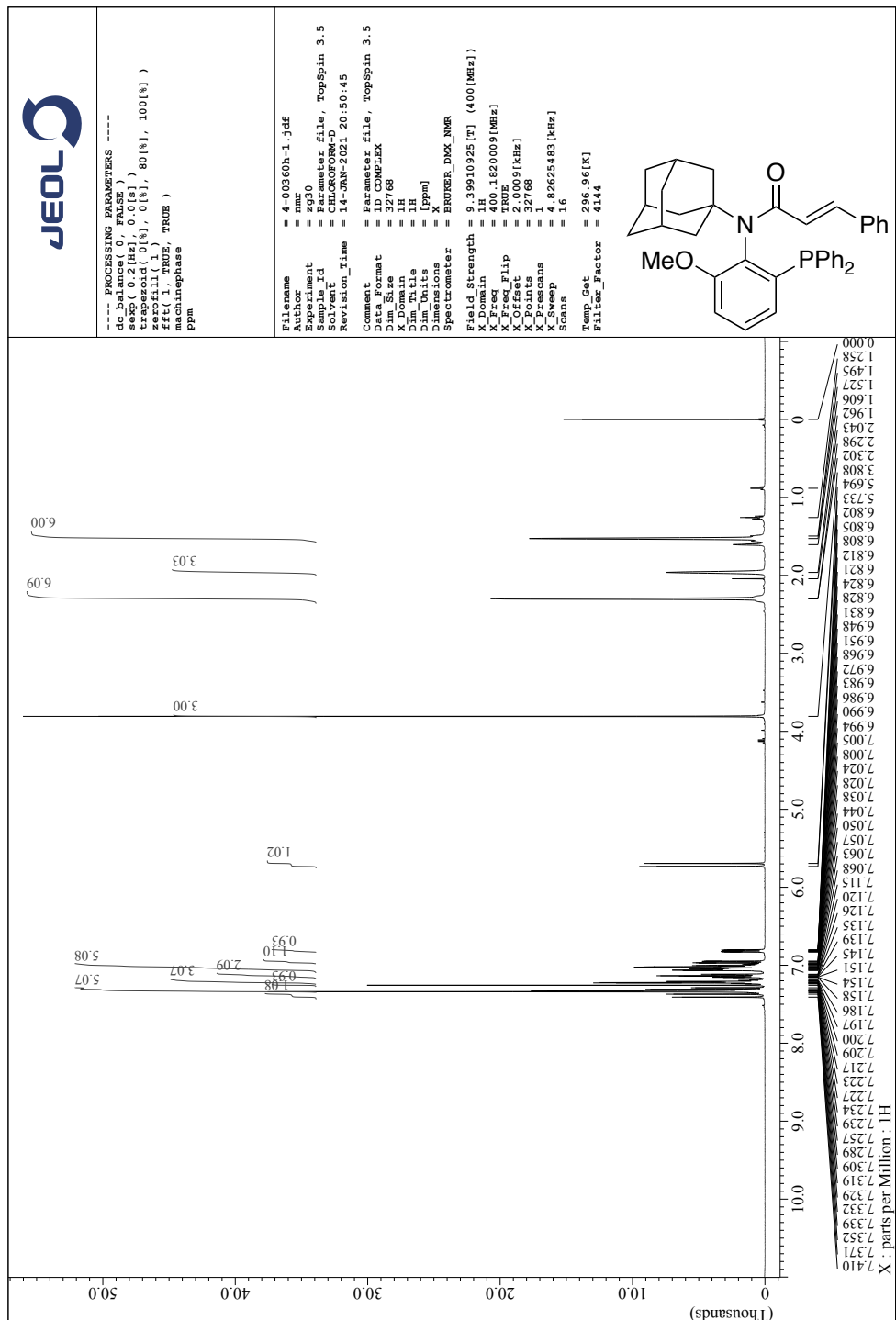
```
Filename      = 4-0822P_1-1.jdf
Author        = numr
Experiment    = zppg90
Sample_Id     = Parameter_file, TopSpin 3.5
Solvent       = CHLOROFORM-D
Revision_Time = 7-OCT-2020 18:37:47
Comment       = Parameter file, TopSpin 3.5
Data_Format   = 1D COMPLEX
Dim_Size      = 32768
X_Domain     = 31P
Dim_Title     = {1P}
Dim_Units     = {ppm}
Dimensions    = X
Spectrumcenter = BRUKER_DMX_NMR
Field_Strength = 9.39910935[T] (400 [MHz])
X_Domain_in  = 31P
X_Freq        = 161.995833[MHz]
X_Offset      = 0[Hz]
X_Freq_Flip   = TRUE
X_Points      = 32768
X_Presans    = 1.
X_Sweep       = 51.02040816[kHz]
Scans         = 8
Temp_Get      = 297.96[K]
Filter_Factor = 392
```



X : parts per Million : 31P

-19.703

¹H, ¹³C and ³¹P NMR, and chiral phase HPLC chart of (\pm)-N-(Adamantan-1-yl)-N-(2-(diphenylphosphoraneyl)-6-methoxyphenyl)cinnamamide ((\pm)-1a)

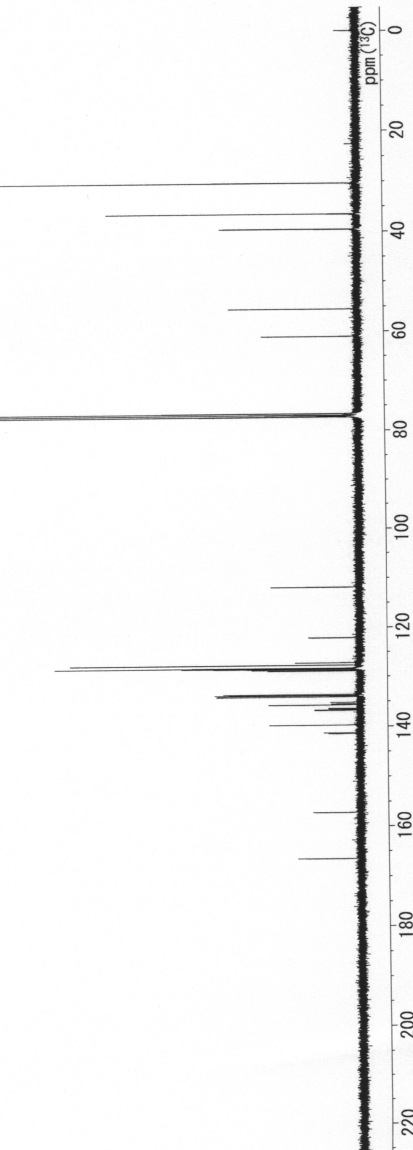


DFILE C:\WYOUSEIGNAR\06MINO201
84-00361CY.Wid
31/Jan/2019 15:30:41
CONT

13C

OBNUC ZGP30 100.63 MHz
EXMOD 100.0 kHz
OBFRQ 11066.5 Hz
OBSET 13.072(ZeroFi
POINT 11.11:4)
FREQU 24038.46 Hz
SCANS 1024
ACQWV 1.3631 s
PD 2.0 s
PW1 10.0 μ s
IRNUC OFF
PROBD Z108618.0111 (PA BBO 4
INSTRM INSTR0031 BBP-H-D-05/7 PLUS)
SPECT

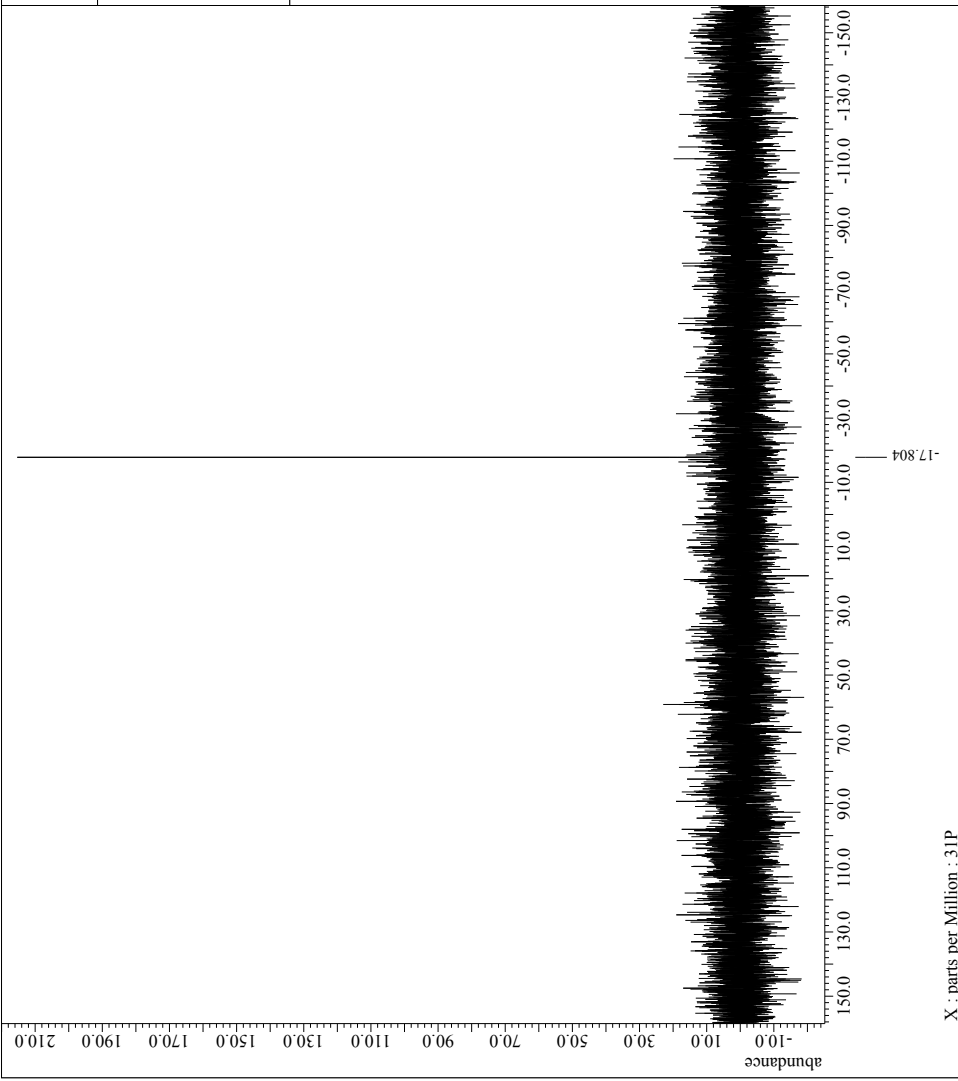
PULSPRG 25.31 °C
GRDPRG CDCL₃ 77.0 ppm
CTEMP SLVNT EXREF
BF 0.25 Hz
WINDOW RGAIN 203
Operator _____



JEOL

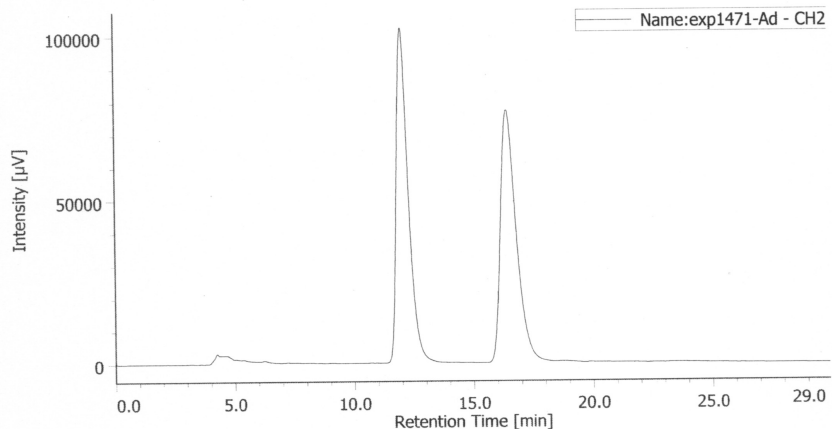
```
-- PROCESSING PARAMETERS --
sorpt(2.0[Hz],0.0[s])
trapezoid(0%,0%,80%,100%)
zerofill(1)
fft(1, TRUE, TRUE)
machinephase
Ppm
```

```
Filename      = 22852P-jdf
Author        = root
Experiment   = zfp340
SampleID     = Parameters file, TOPSPIN Ver
SpectrumID  = 0
Version_E    = 0.0.0
Revision_Time= 12-APR-2019 13:43:28
Comment       = Parameter file, TOPSPIN Ver
Data Format  = 1D COMPLEX
Dim Size     = 32768
Dim.Title    = 31P
Dim.Units   = [ppm]
Dimensions   = Bruker_DMX_NMR
SpectrumCar = Bruker_DMX_NMR
Field Strength= 7.05156322[T] (300 [MHz])
X.Domain     = 31P
X.Freq       = 121.535182 [MHz]
X.Offset     = 0 [Hz]
X.Freq.Flip = TRUE
X.Points    = 32768
X.Precaus   = 1.33564547 [kHz]
X.Sweep     = 8
Scans        =
Temp.Get     = 300 [K]
FillSec_Factor= 3
```



X : parts per Million : 31P

クロマトグラム



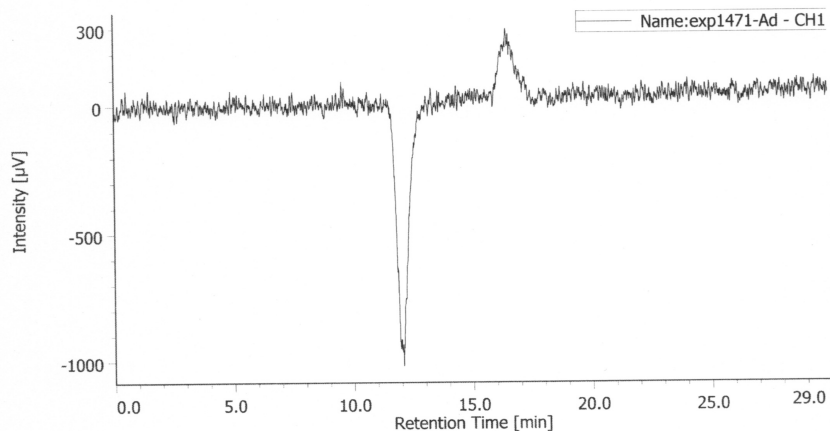
クロマトグラム情報

ユーザー名 3385
更新日時 2020/12/18 23:38:40
コメント OD-H,1.0ml/min,Hex:2-Pro=98:2
HPLC システム名 HPLC-2
測定日 2020/12/18 18:04:00
注入量 1.00 [μ L]
サンプル# 1
プロジェクト名 2019system2
取込時間 180.0 [min]
測定シーケンス 2.466444 koki
コントロールメソッド system2_2019
ピークIDテーブル
検量線テーブル
追加情報

チャンネル情報+ピーク情報

クロマトグラム名 exp1471-Ad-CH2
サンプル名
チャンネル名 CD-2095-UV
サンプリング間隔 500 [msec]
(マニュアル)

クロマトグラム



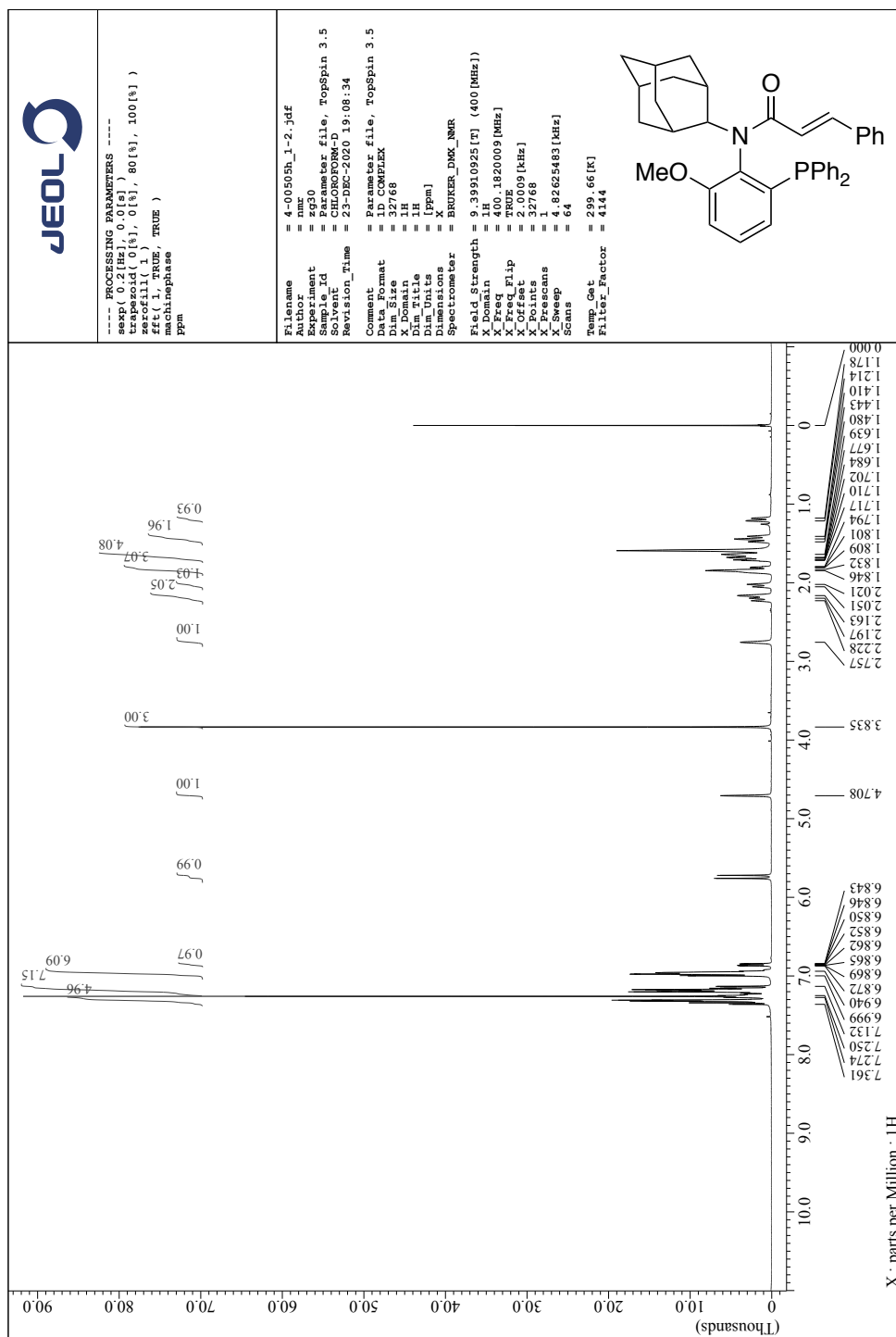
クロマトグラム情報

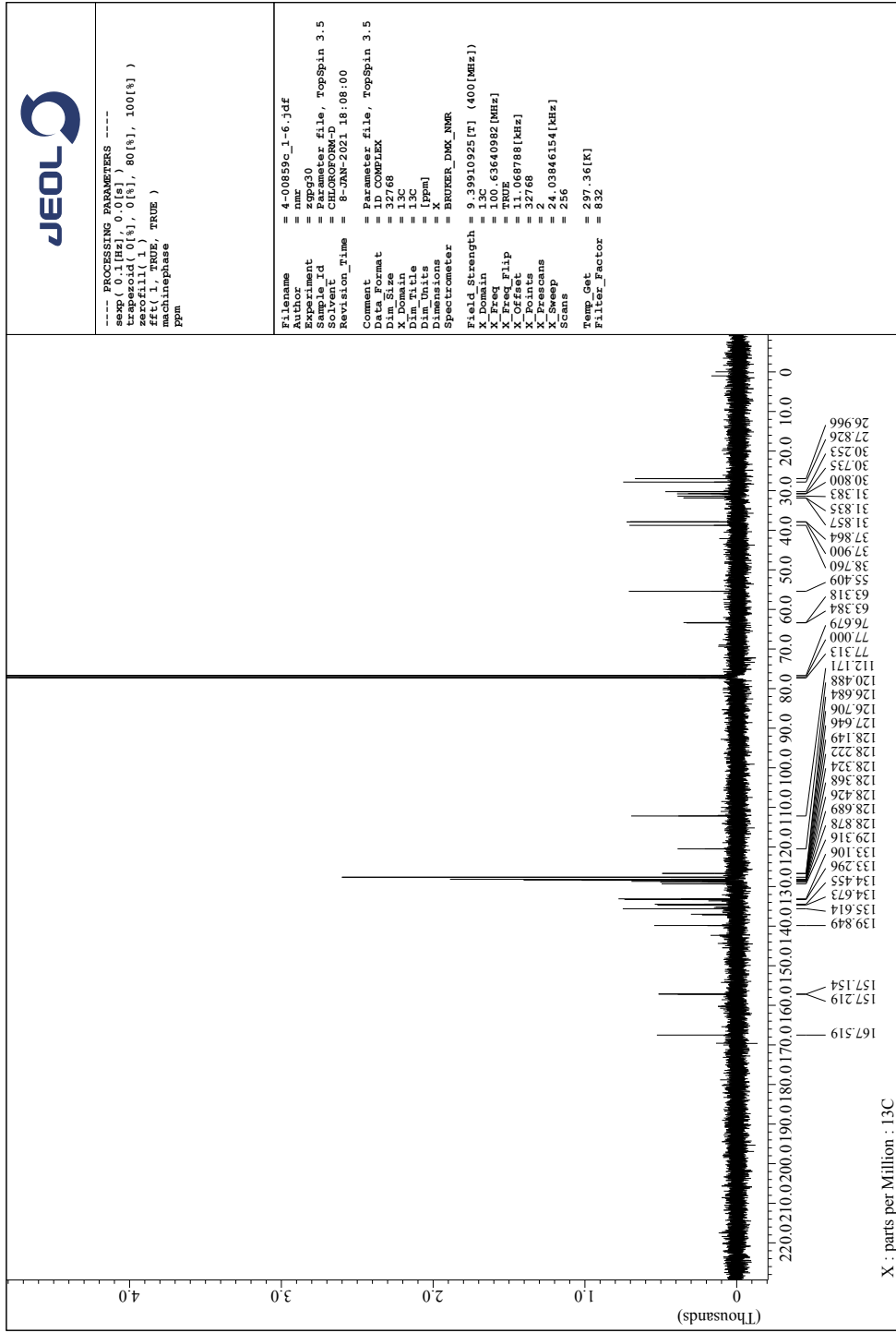
ユーザー名 3385
更新日時 2020/12/18 23:38:40
コメント OD-H,1.0ml/min,Hex:2-Pro=98:2
HPLC システム名 HPLC-2
測定日 2020/12/18 18:04:00
注入量 1.00 [μ L]
サンプル# 1
プロジェクト名 2019system2
取込時間 180.0 [min]
測定シーケンス 2_466444 koki
コントロールメソッド system2_2019
ピークIDテーブル
検量線テーブル
追加情報

チャンネル情報+ピーク情報

クロマトグラム名 exp1471-Ad-CH1
サンプル名 CD-2095-CD
チャンネル名 500 [msec]
サンプリング間隔
波形処理メソッド

¹H, ¹³C and ³¹P NMR, and chiral phase HPLC chart of (\pm) -N-(Adamantan-2-yl)-N-(2-(diphenylphosphanoyl)-6-methoxyphenyl)cinnamamide ((\pm)-1b)

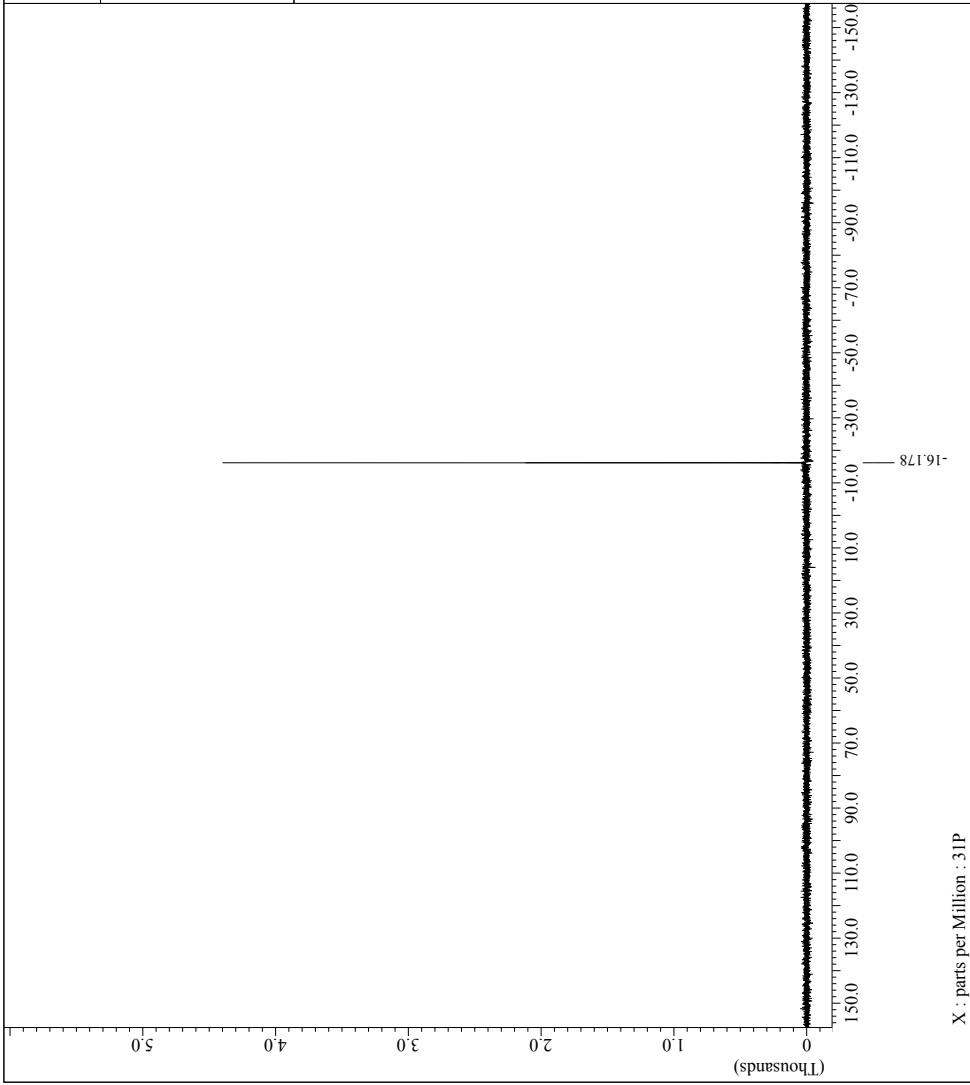




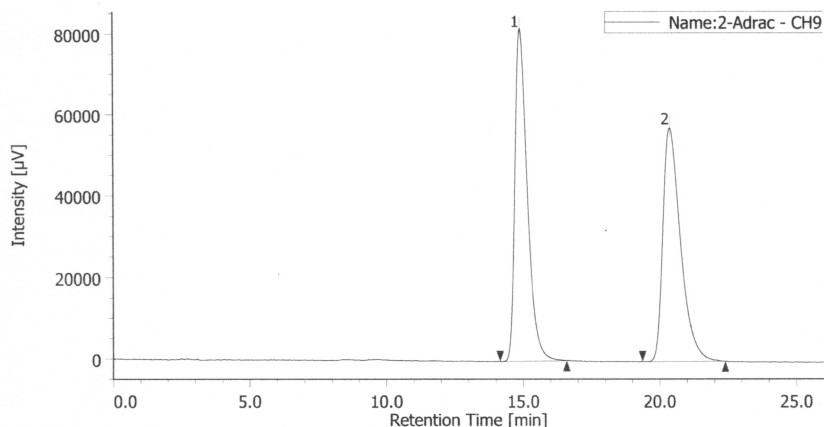
JEOL

```
-- PROCESSING PARAMETERS --
sexp( 2.0 [Hz], 0.0[s] )
trapezoid( 0%, 0%, 80%, 100% )
zerofill( 1 )
fft( 1, TRUE, TRUE )
machinephase
ppm
```

```
Filename      = 23299P_1-2.jdf
Author        = nmr.su
Experiment   = zgpg30
Sample_Id    = Parameter_file, TopSpin 3.5
Solvent      = CHLOROFORM-D
Revision_Time = 15-JAN-2021 16:46:36
Comment       = Parameter_file, TopSpin 3.5
Data_Format  = 1D COMPLEX
Dim_Size     = 32768
X_Domain    = 31P
Dim_Title    = 31P
Dim_Units    = {ppm}
Dimensions   = X
Spectrometer = BRUKER_DGX_NMR
Field_Strength = 9.39793449[T] (400 [MHz])
X_DomainIn  = 31P
X_Freq       = 161.975533 [MHz]
X_Offset     = 0 [Hz]
X_Freq_Flip = TRUE
X_Points    = 32768
X_Presans   = 1.
X_Sweep     = 51.02040816 [kHz]
Scans        = 8
Temp_Get     = 289.3 [K]
Filter_Factor = 392
```



クロマトグラム



クロマトグラム情報

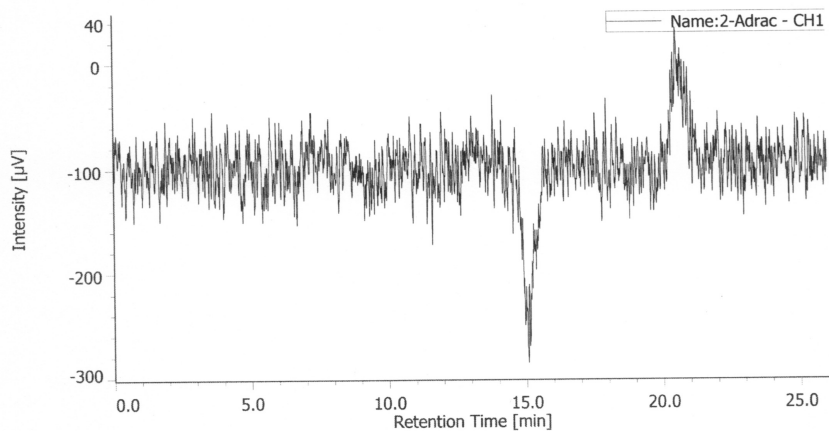
ユーザー名 3385
更新日時 2021/01/18 20:58:39
コメント IA,1.5mL/min,Hex.2-Pro=98.2
HPLC システム名 HPLC-2
測定日 2021/01/18 19:55:05
注入量 1.00 [μL]
サンプル# 1
プロジェクト名 2019system2
取込時間 180.0 [min]
測定シーケンス 2,466463 koki
コントロールメソッド system2_2019
ピーカローテーブル
検量線テーブル
追加情報

チャンネル情報+ピーク情報

クロマトグラム名 2-Adrac-CH9
サンプル名
チャンネル名 270.0nm
サンプリング間隔 200 [msec]
(マニュアル)

#	ピーク名	CH	tR [min]	面積 [$\mu\text{V}\cdot\text{sec}$]	高さ [μV]	面積%	高さ%	定量値	NTP	分離度	シンメトリー係数	警告
1	Unknown	9	14.893	2584699	81897	50.083	58.820	N/A	5537	5.647	1.446	
2	Unknown	9	20.383	2576140	57335	49.917	41.180	N/A	5034	N/A	1.500	

クロマトグラム



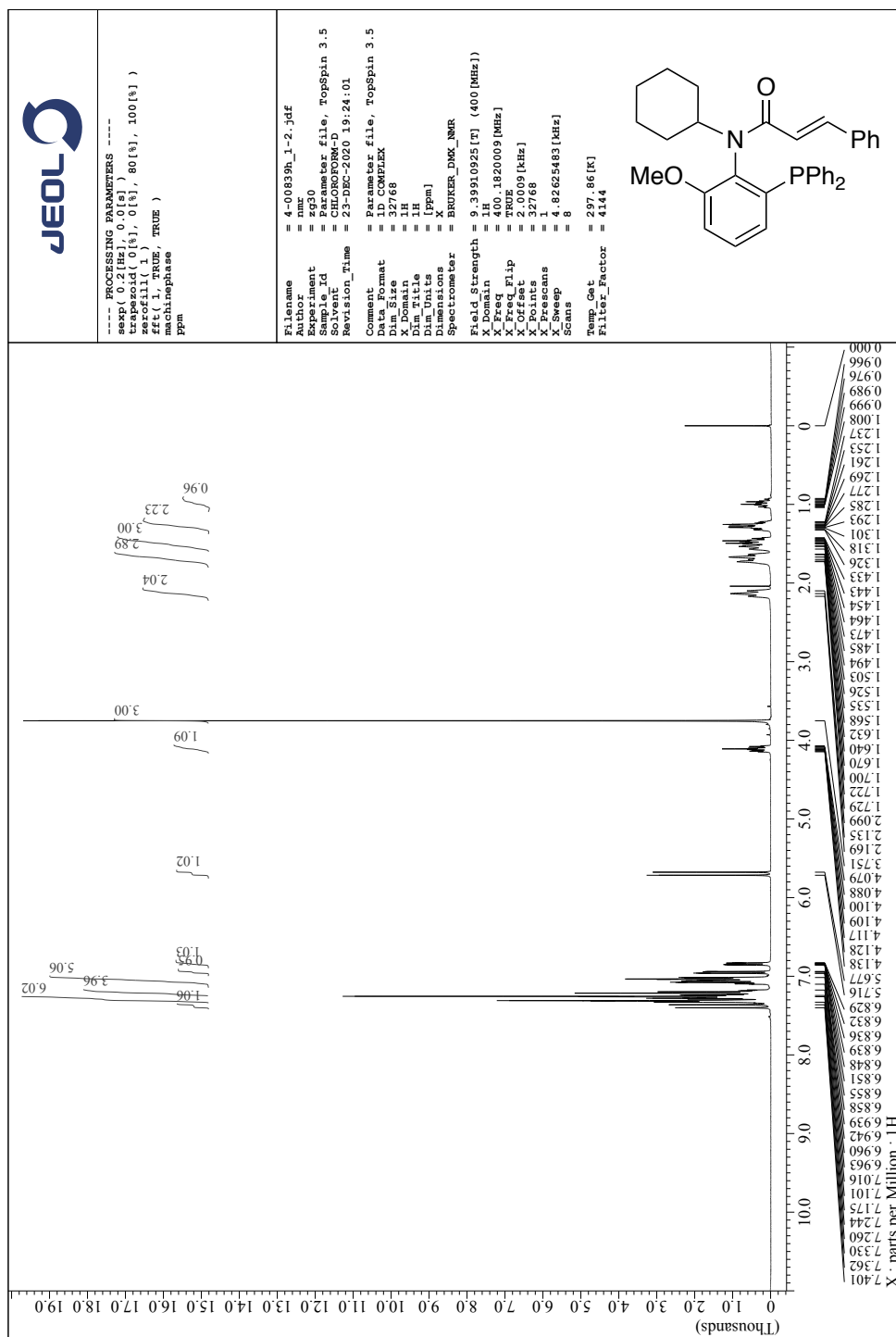
クロマトグラム情報

ユーザー名 3385
更新日時 2021/01/18 20:58:39
コメント IA,1.5ml/min,Hex:2-Pro=98:2
HPLC システム名 HPLC-2
測定日 2021/01/18 19:55:05
注入量 1.00 [μ L]
サンプル# 1
プロジェクト名 2019system2
取込時間 180.0 [min]
測定シーケンス 2_466463 koki
コントロールメソッド system2_2019
ピークIDテーブル
検量線テーブル
追加情報

チャンネル情報+ピーク情報

クロマトグラム名 2-Adrac-CH1
サンプル名 CD-2095-CD
チャンネル名 500 [msec]
サンプリング間隔
波形処理メソッド

¹H, ¹³C and ³¹P NMR, and chiral phase HPLC chart of (\pm)-N-(Cyclohexyl)-N-(2-(diphenylphosphanoyl)-6-methoxyphenyl)cinnamamide ((\pm)-1c)

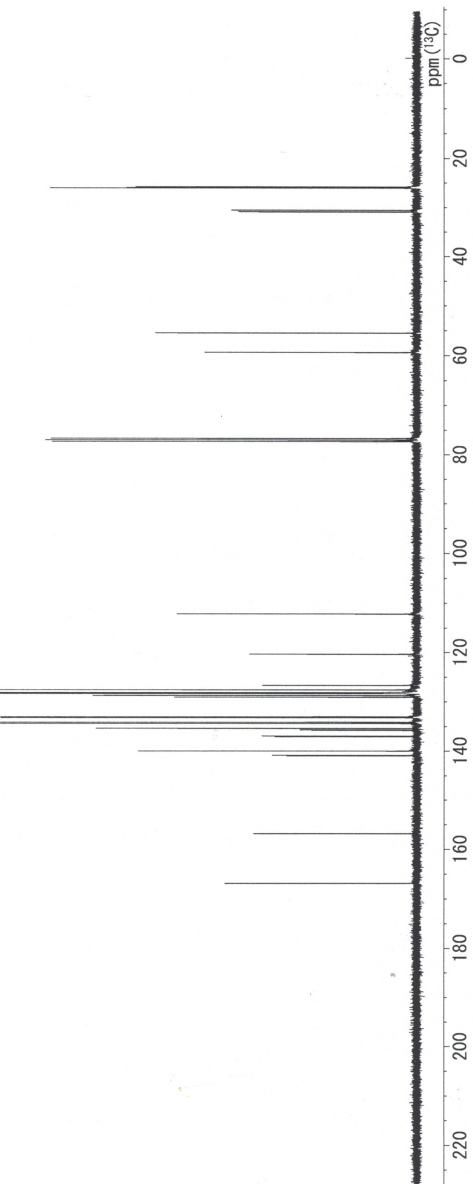


DFILE C:\YKTOUSE\16NMRY06MIN0202
DATIM 18/Sep/2020 00:01:03
COUNT

¹³C
OBNUC
EXMOD
OBFRQ
OBSET
OBFIN
POINT
POINT(11×4)
FREQU 24038.46 Hz
SCANS 256
ACQTM 1.3631 s
PD 2.0 s
PW 10.0 μs
IRNUC Z108618_0111 (PA BB0 4
PROBD 005) BBR-H-0-05 Z PLUS)
INSTRUM SPECT

ZGPG30
100.63 MHz
0.0 kHz
11086.5 Hz
131072 (ZeroFi
24038.46 Hz
1.3631 s
2.0 s
10.0 μs
OFF
CDCl₃
24.21 °C
SLVNT
EXEFT
BF 77.0 ppm
WINDOW 0.25 Hz
RGMN Exponential
203

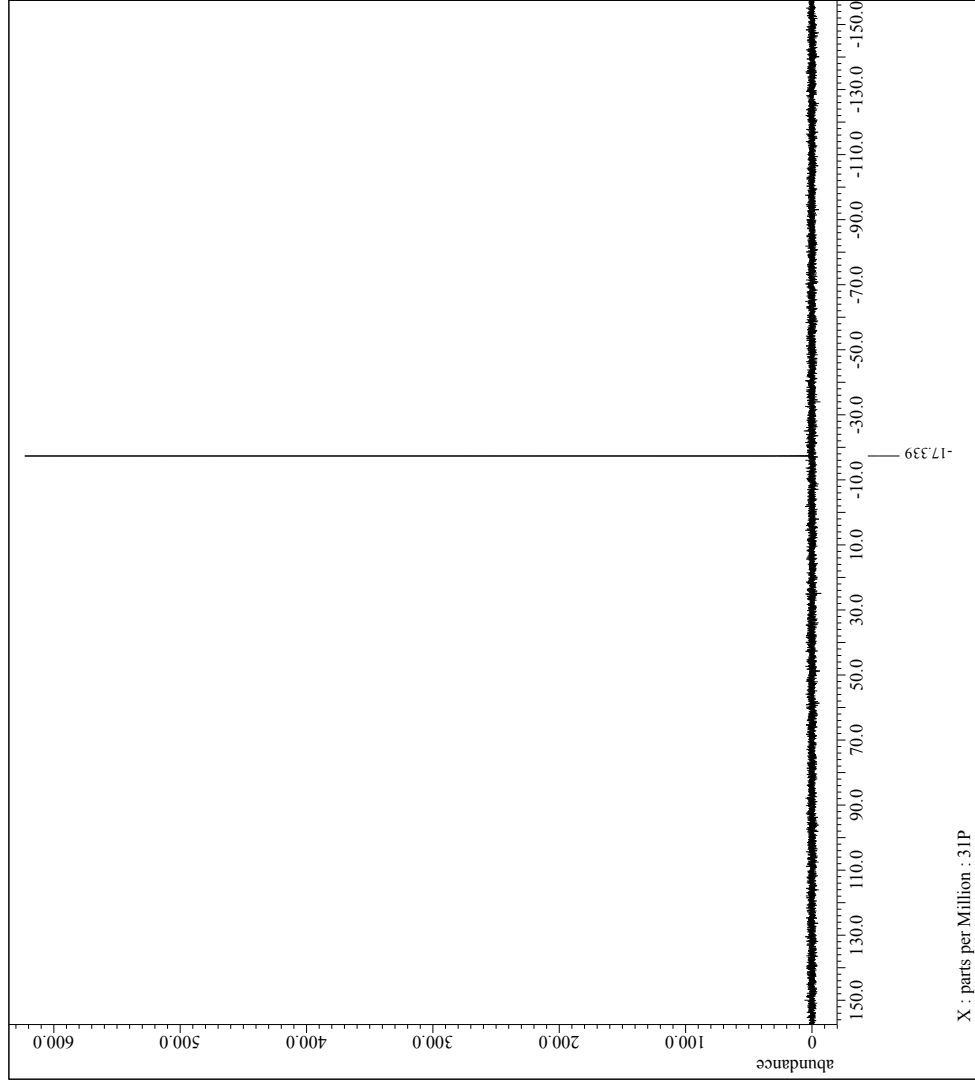
Operator _____



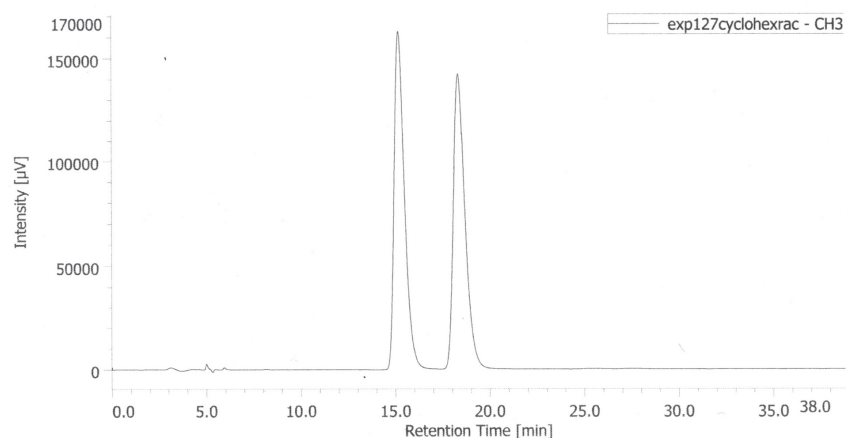
JEOL

```
-- PROCESSING PARAMETERS --
sexp( 2.0 [Hz], 0.0[s] )
trapzoid( 0%, 0%, 80%, 100% )
zeroill( 1 )
fft( 1, TRUE, TRUE )
machinephase
Ppm
```

```
Filename      = 4-0083P_1-1.jdf
Author        = num
Experiment    = zppg90
Sample_Id     = Parameter_file, TopSpin 3.5
Solvent       = CHLOROFORM-D
Revision_Time = 27-OCT-2020 19:48:17
Comment       = Parameter_file, TopSpin 3.5
Data_Format   = 1D_COMPLEX
Dim_Size      = 32768
X_Domain     = 31P
Dim_Title     = 31P
Dim_Units     = {ppm}
Dimensions    = X
Spectrometer  = BRUKER_DMX_NMR
Field_Strength = 9.39910935[T] (400 [MHz])
X_Domain     = 31P
X_Offset     = 161.995833 [MHz]
X_Freq        = TRUE
X_Freq_Flip   = 0 [Hz]
X_Points     = 32768
X_Presans    = 1.
X_Sweep      = 51.02040816 [kHz]
Scans         = 8
Temp_Get      = 297.96[K]
Filter_Factor = 392
```



クロマトグラム



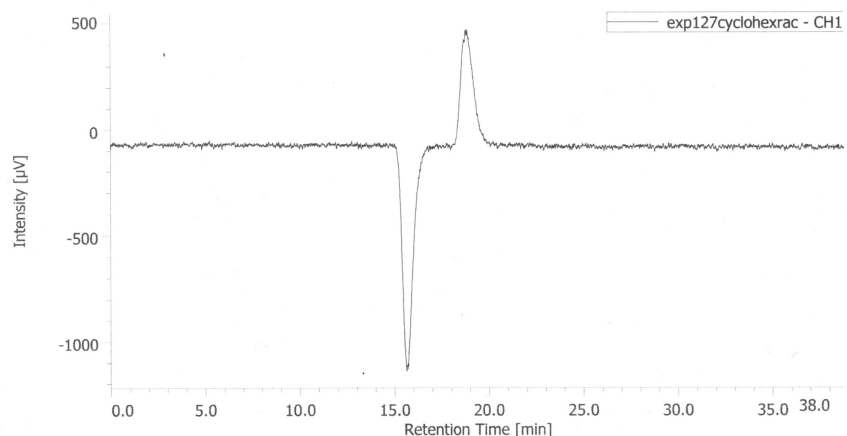
クロマトグラム情報

ユーザー名 3385
更新日時 2020/09/17 17:07:59
コメント OD-H, 0.8 mL/min, hex:2-Pro=98:2
HPLC システム名 SYSTEM-3
測定日 2020/09/17 16:29:09
注入量 1.0 [μL]
サンプル# 1
プロジェクト名 2019system3
取込時間 180.0 [min]
測定シーケンス 3-650 koki
コントロールメッシュ 2019system3
ピークIDテーブル
検量線テーブル
追加情報

チャンネル情報+ピーク情報

クロマトグラム名 exp127cyclohexrac-CH3
サンプル名
チャンネル名 UV-2075
サンプリング間隔 500 [nsec]
波形処理メソッド

クロマトグラム



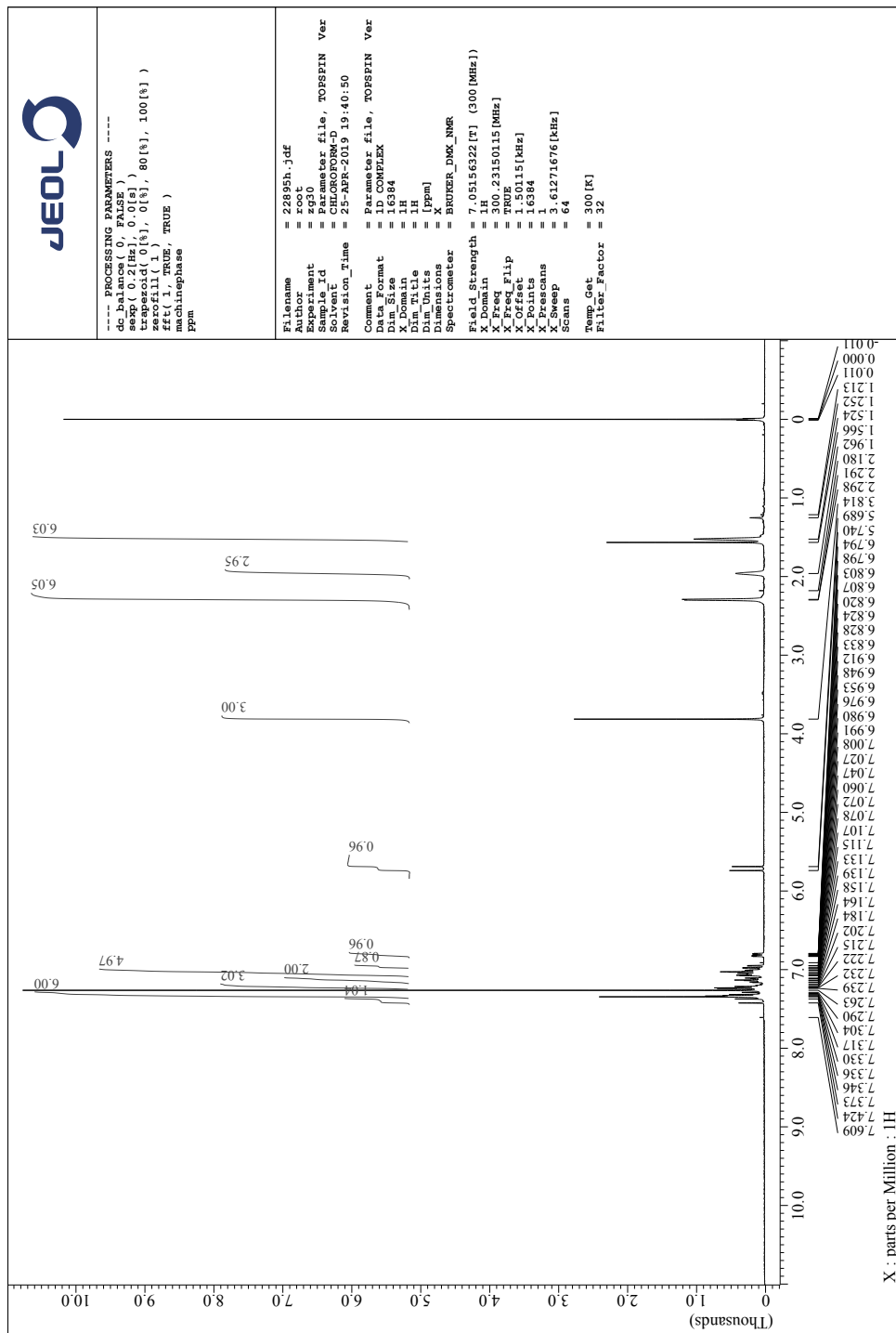
クロマトグラム情報

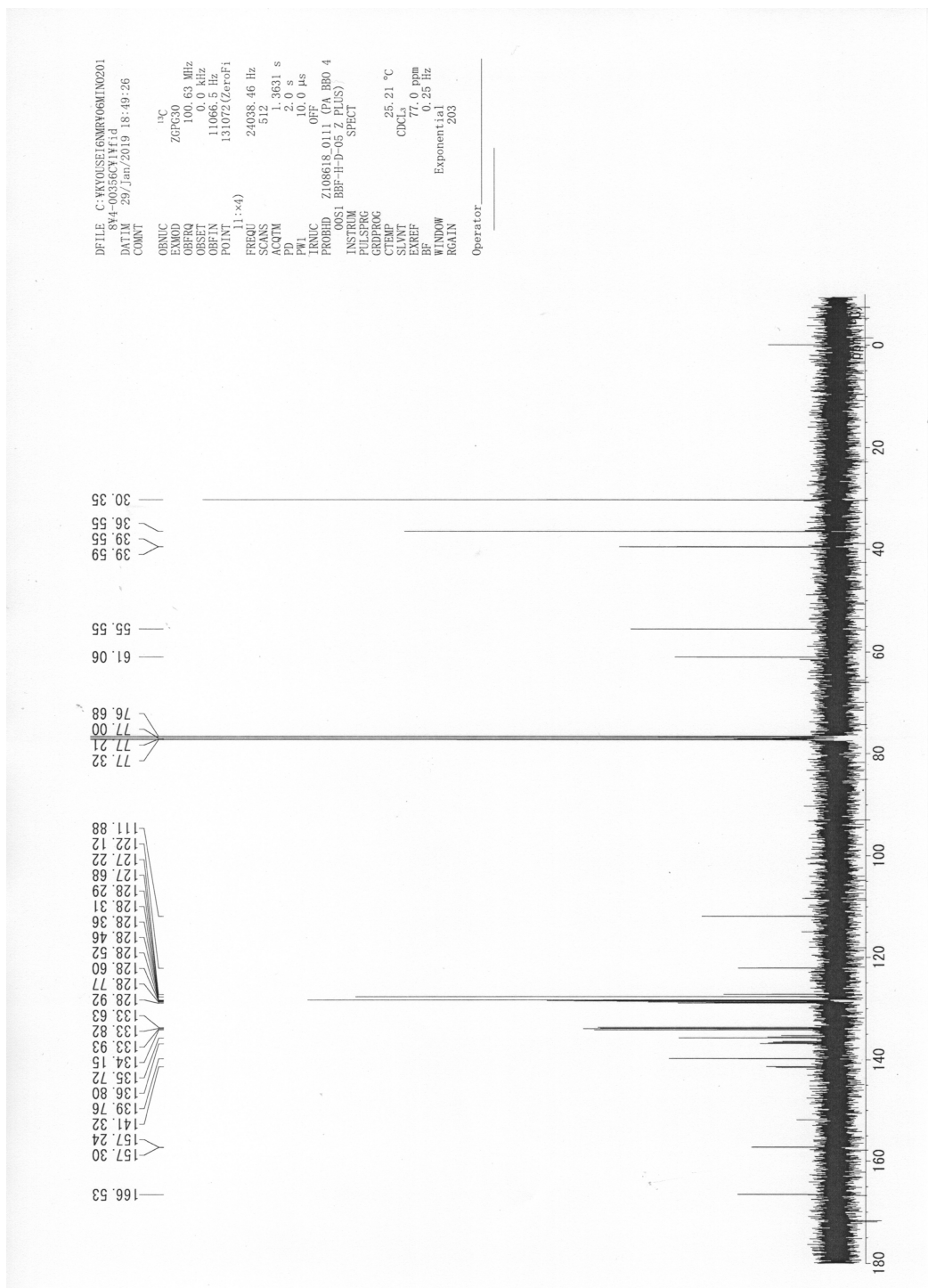
ユーザー名 3385
更新日時 2020/09/17 17:07:59
コメント OD-H: 0.8 mL/min, hex:2-Pro=98:2
HPLC システム名 SYSTEM-3
測定日 2020/09/17 16:29:09
注入量 1.0 [μL]
サンプル# 1
プロジェクト名 2019system3
取込時間 180.0 [min]
測定シーケンス 3-650 koki
コントロールメソッド 2019system3
ピークIDテーブル
検量線テーブル
追加情報

チャンネル情報+ピーク情報

クロマトグラム名 exp127cyclohexrac-CH1
サンプル名
チャンネル名 CD-2095_CD
サンプリング間隔 500 [msec]
波形処理メソッド

¹H, ¹³C and ³¹P NMR, and chiral phase HPLC chart of (−)-N-(Adamantan-1-yl)-N-(2-(diphenylphosphaneyl)-6-methoxyphenyl)cinnamamide ((−)-**1a**)

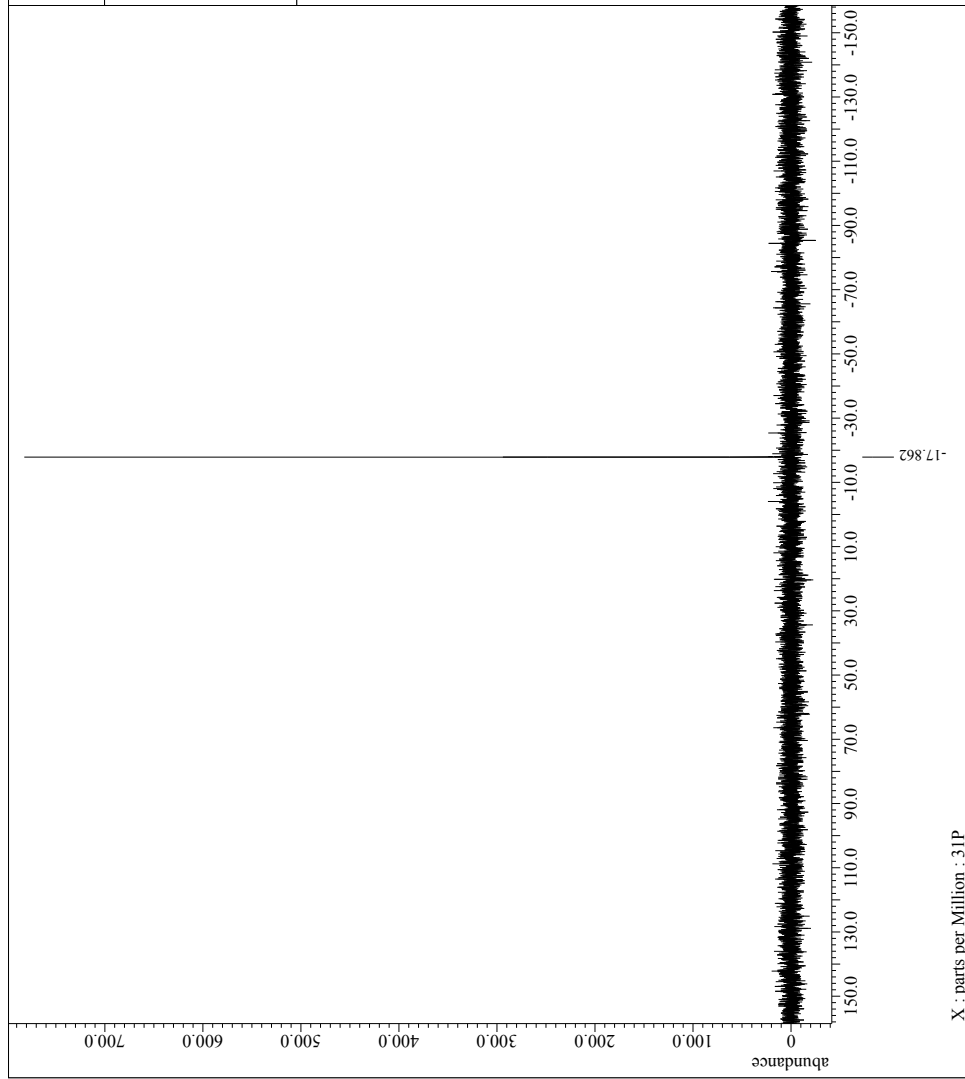




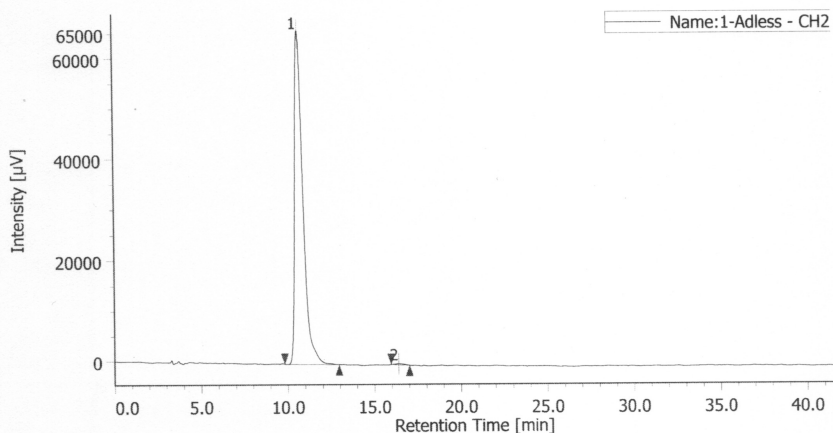
JEOL

PROCESSING PARAMETERS -----
sexp(2.0[Hz], 0.0[s])
trapezoid(0[%], 0[%], 80[%], 100[%])
zerofill(1)
fft(1, TRUE, TRUE)
machinephase
Ppm

Filename = 22899p.jdf
Author = root
Experiment = zgp310
Sample_ID = Parameters file, TOPSPIN Ver
Spectrum_FID = C:\Program Files\TOPSPIN\Ver
Revision_Time = 12-APR-2019 13:49:30
Comment = Parameter file, TOPSPIN Ver
Data_Format = 1D COMPLEX
Dim_Size = 32768
X_Domain = 31P
Dim_Title = 31P
Dim_Units = [ppm]
Dimensions = Bruker_DMX_NMR
Spectrum_Car = Bruker_DMX_NMR
Field_Strength = 7.05156322[T] (300 [MHz])
X_Domain = 31P
X_Freq = 121.535182 [MHz]
X_Offset = 0 [Hz]
X_Freq_Flip = TRUE
X_Offset = 32768
X_Points = 1
X_Precans = 8
X_Sweep = 3.33564547 [kHz]
Scans = 8
Temp_Get = 300 [K]
FillSec_Factor = 3



クロマトグラム



クロマトグラム情報

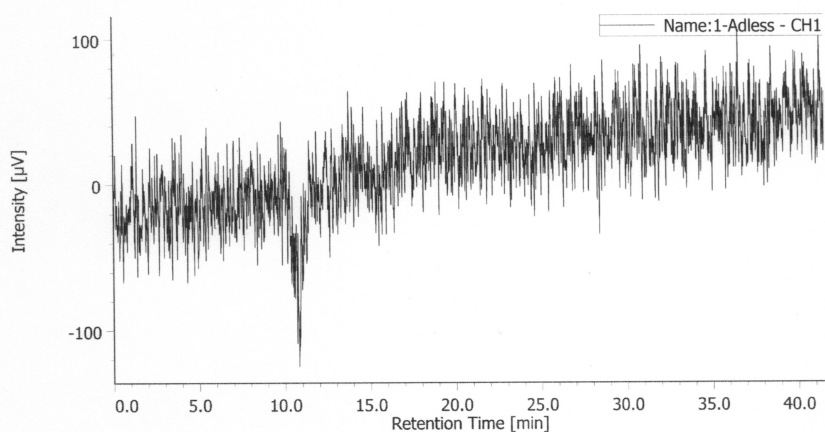
ユーザー名 3385
 更新日時 2021/01/20 13:26:18
 コメント OD-H,1.0ml/min,Hex:2-Pro=98.2
 HPLC システム名 HPLC-2
 測定日 2021/01/20 12:44:44
 注入量 1.00 [μL]
 サンプル# 1
 プロジェクト名 2019system2
 取込時間 180.0 [min]
 測定シーンス 2_466471 koki
 コントロールメソッド system2_2019
 ピークIDテーブル
 検量線テーブル
 追加情報

チャンネル情報+ピーク情報

クロマトグラム名 1-Adless-CH2
 サンプル名 CD-2095-UV
 チャンネル名 500 [msec]
 サンプリング間隔 (マニュアル)

#	ピーク名	CH	tR [min]	面積 [μV·sec]	高さ [μV]	面積%	高さ%	定量値	NTP	分離度	シングルトリニティ係数	警告
1	Unknown	2	10.683	2141953	66198	99.667	99.678	N/A	2793	6.356	1.492	
2	Unknown	2	16.392	7166	214	0.333	0.322	N/A	4365	N/A	1.205	

クロマトグラム



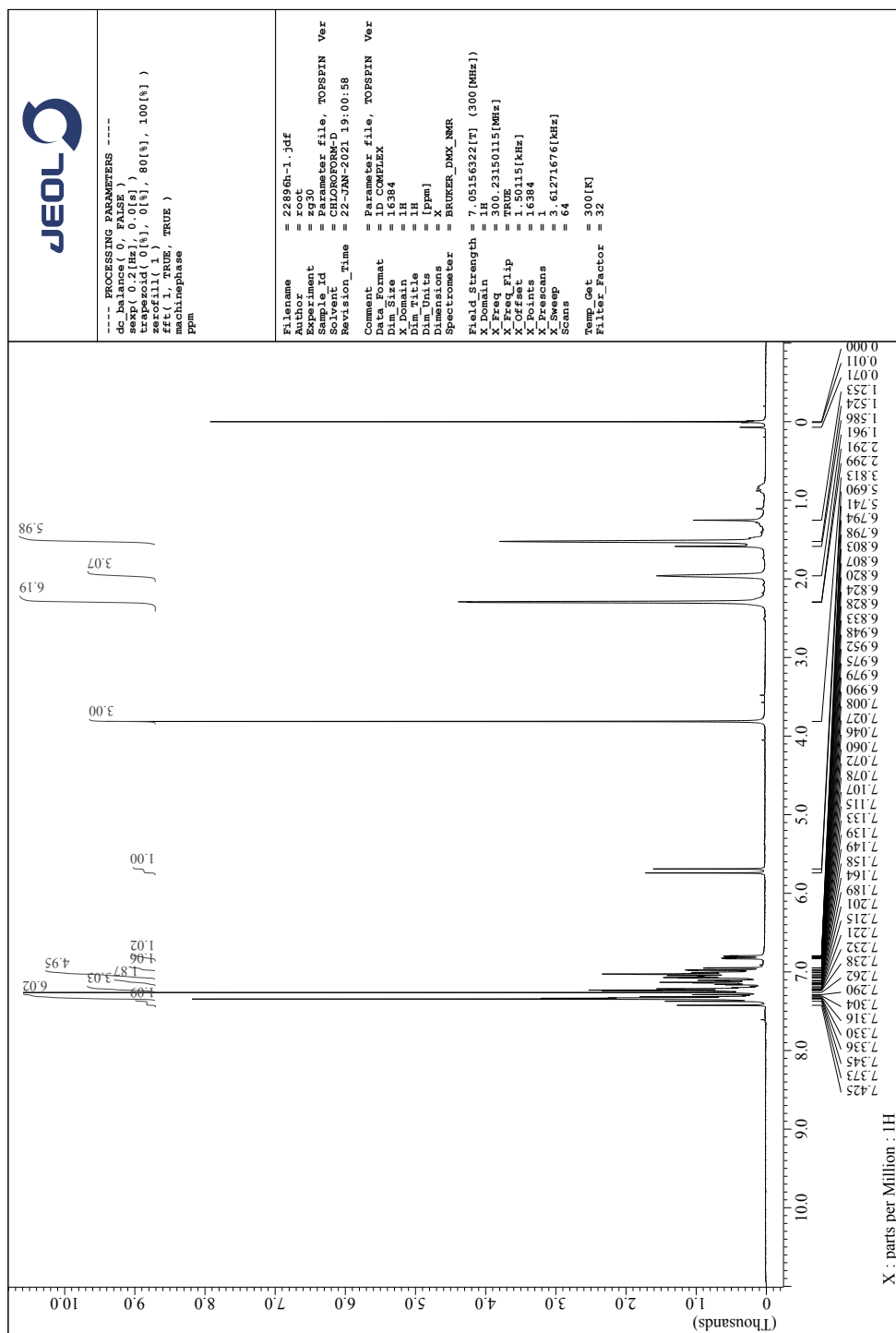
クロマトグラム情報

ユーザー名 3385
更新日時 2021/01/20 13:26:18
コメント OD-H,1.0ml/min,Hex:2-Pro=98:2
HPLC システム名 HPLC-2
測定日 2021/01/20 12:44:44
注入量 1.00 [μL]
サンプル# 1
プロジェクト名 2019system2
取込時間 180.0 [min]
測定シーケンス 2_466471 koki
コントロールメッシュ system2_2019
ピークIDテーブル
検量線テーブル
追加情報

チャンネル情報+ピーク情報

クロマトグラム名 1-Adless-CH1
サンプル名
チャンネル名 CD-2095-CD
サンプリング間隔 500 [msec]
波形処理メソッド

¹H, ¹³C and ³¹P NMR, and chiral phase HPLC chart of (+)-N-(Adamantan-1-yl)-N-(2-(diphenylphosphaneyl)-6-methoxyphenyl)cinnamamide ((+)-**1a**)



DFILE C:\KYOUSI\16NMR\06MINO201
844-0038ICW\Wfd
DATIM 05/Mar/2019 21:22:06
COMNT

OBNUC
EXMOD ZGRG30
OBFRQ 100.63 MHz
ORSET 0.0 kHz
OBIN 1.066.5 Hz
POINT 131072(ZeroFi
PPEQU -11,x4)
SCANS 2438.46 Hz
ACQTM 1,3631 s
PD 2.0 s
PW1 10.0 μ s
TRNUC OFF
PROBID Z108618.0111 (PA BBO 4
QOS1 BBF-H-D-05 Z PLUS)
INSTRUM SPECT

PULSPRG
GRDPROG
CTMP
SLINT
EXREF
BF
WINDOW
RGAIN
operator

25.71 °C

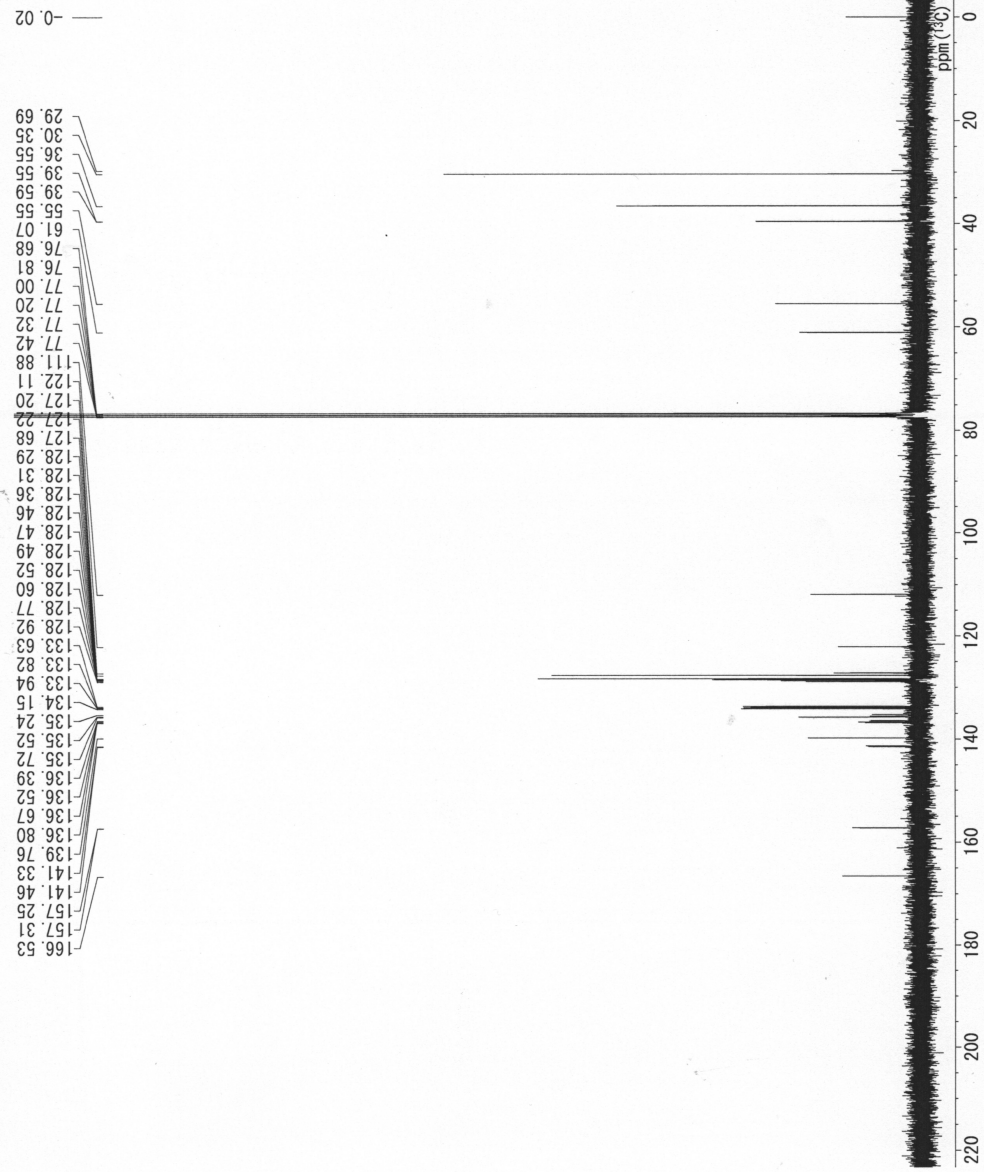
CDCL₃

77.0 ppm

0.25 Hz

Exponential

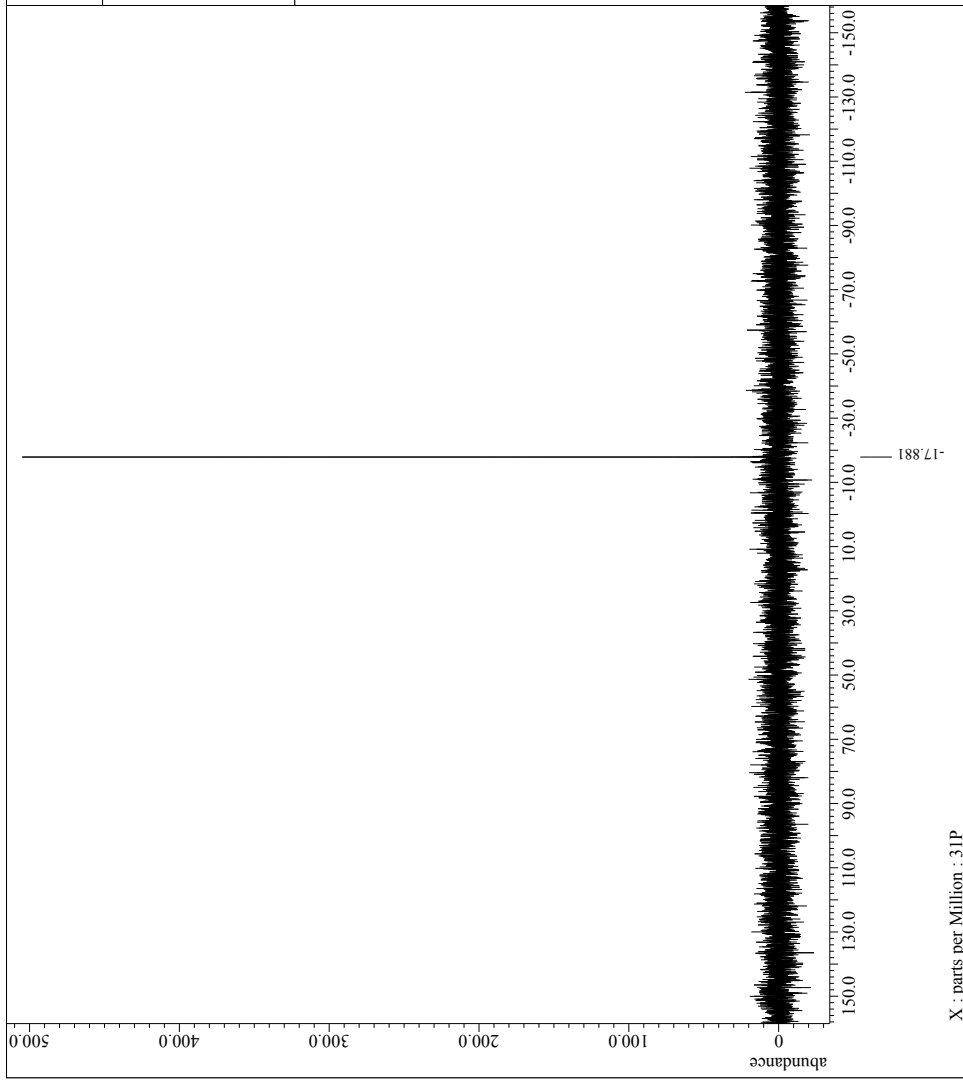
203



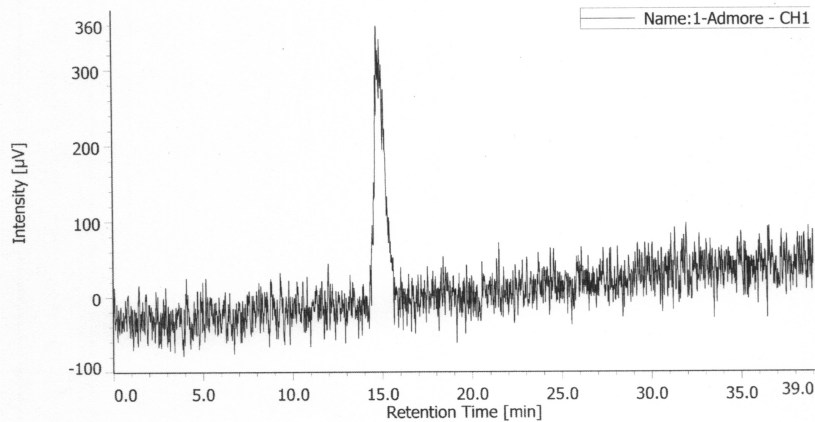
JEOL

PROCESSING PARAMETERS -----
sexp(2.0[Hz], 0.0[s])
trapezoid(0[%], 0[%], 80[%], 100[%])
zerofill(1)
fft(1, TRUE, TRUE)
machinephase
Ppm

Filename = 22896p.jdf
Author = root
Experiment = zgp30
Sample_ID = Parameters file, TOPSPIN Ver
Spectrum_F = 0.0000000000000000e+00
Revision_Time = 12-APR-2019 13:45:57
Comment = Parameter file, TOPSPIN Ver
Data_Format = 1D COMPLEX
Dim_Size = 32768
Dim_Title = 31P
Dim_Units = [ppm]
Dimensions = Bruker_DMX_NMR
Spectrum_Car =
Field_Strength = 7.05156322[T] (300 [MHz])
X_Domain = 31P
X_Freq = 121.535182 [MHz]
X_Offset = 0 [Hz]
X_Freq_Flip = TRUE
X_Offset = 32768
X_Points = 1
X_Precans = 8.33564547 [kHz]
X_Sweep = 8
Scans = 3
Temp_Get = 300 [K]
FillSec_Factor = 3



クロマトグラム



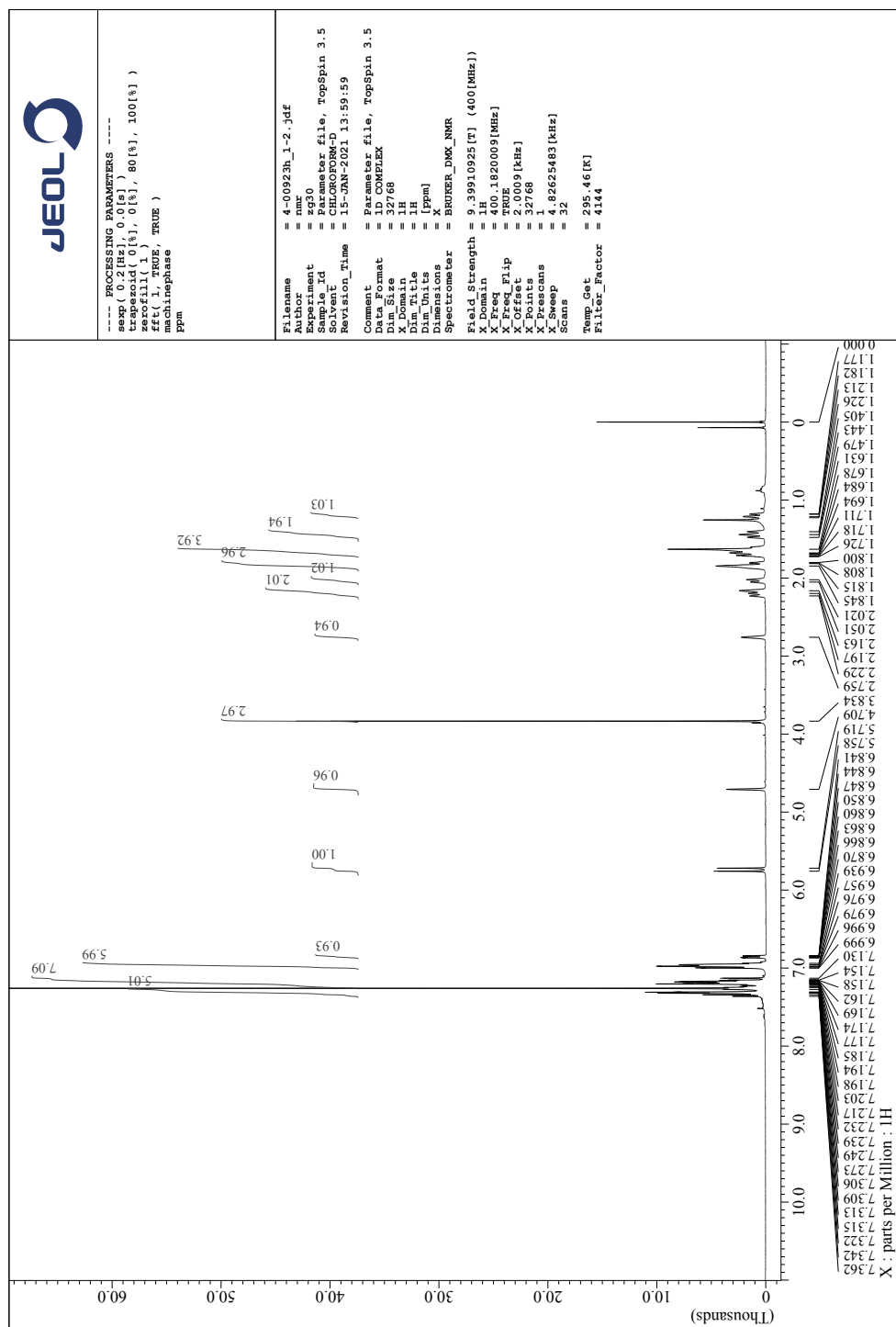
クロマトグラム情報

ユーザー名 3385
更新日時 2021/01/19 15:51:20
コメント OD-H,1.0ml/min,Hex:2-Pro=98.2
HPLC システム名 HPLC-2
測定日 2021/01/19 15:12:16
注入量 1.00 [μL]
サンプル# 1
プロジェクト名 2019system2
取込時間 180.0 [min]
測定ゾーン名 2_466465 koki
コントロールメソッド system2_2019
ピークリードテーブル
検量線テーブル
追加情報

チャンネル情報+ピーク情報

クロマトグラム名 1-Admore-CH1
サンプル名
チャンネル名 CD-2095-CD
サンプリング間隔 500 [msec]
波形処理メソッド

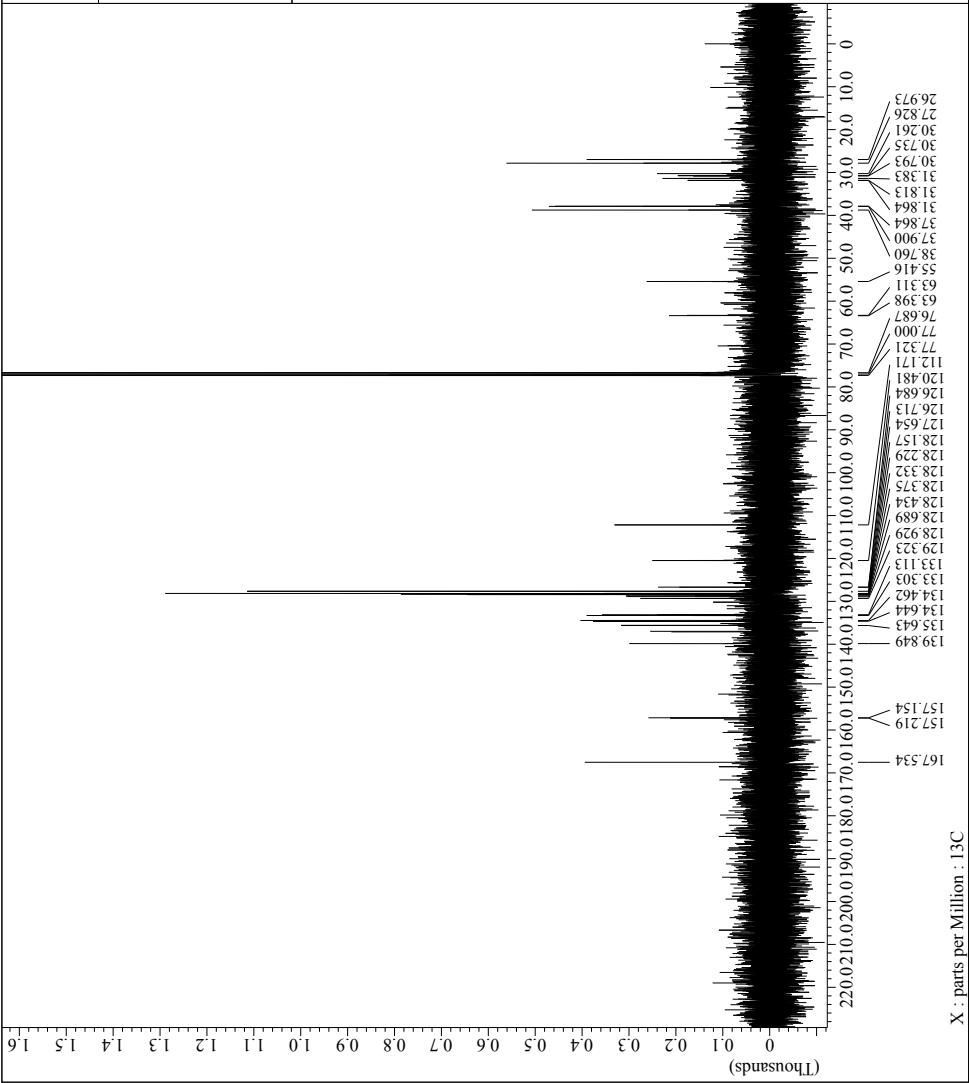
¹H, ¹³C and ³¹P NMR, and chiral phase HPLC chart of (+)-*N*-(Adamantan-2-yl)-*N*-(2-(diphenylphosphanoyl)-6-methoxyphenyl)cinnamamide ((+)-**1b**)



JEOL

```
-- PROCESSING PARAMETERS --
sexp( 0.1[Hz], 0.0[s] )
trapzoid( 0%, 0%, 80%, 100% )
zerofill( 1 )
fft( 1, TRUE, TRUE )
machinephase
ppmphase
```

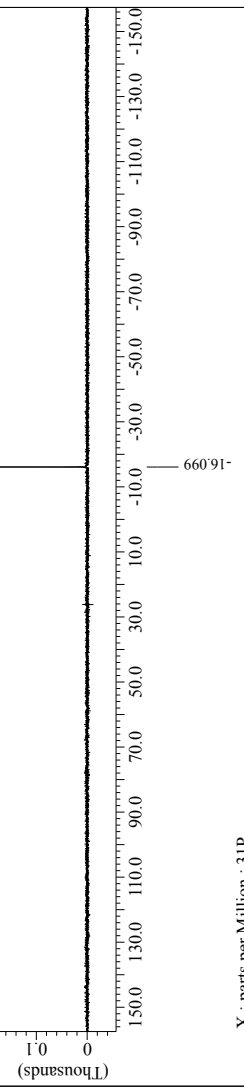
```
Filename      = 4-0923c_1-2.jdf
Author        = numr
Experiment   = zppg90
Sample_Id    = Parameter_file, TopSpin 3.5
Solvent      = CHLOROFORM-D
Revision_Time= 15-JAN-2021 14:16:32
Comment       =
Data_Format = Parameter_file, TopSpin 3.5
Dim_CFormat = 1D_COMPLEX
Dim_Size     = 32768
X_Domain    = 1.3C
Dim_Title   = [PPM]
Dim_Units    = [PPM]
Dimensions  = X
Spectrometer = BRUKER_DRX_NMR
Field_Strength = 9.39910925[T] (400[NHz])
X_Domain_in = 13C
X_Freq       = 100.63640982[MHz]
X_FreqQ      = TRUE
X_Offset    = 32768
X_Fed_Flip = 11.068788[Hz]
X_Points    = 2
X_Presans   = 24.03846154[Hz]
X_Sweep     = 256
Temp_Get    = 26.16[K]
Filter_Factor = 832
```



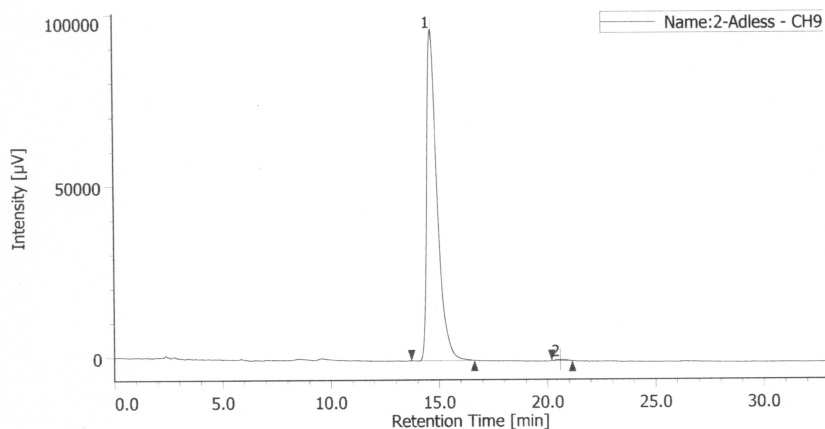
JEOL

```
-- PROCESSING PARAMETERS --
sexp( 2.0 [Hz], 0.0[s] )
trapzoid( 0%, 0%, 80%, 100% )
zerofill( 1 )
fft( 1, TRUE, TRUE )
machinephase
ppmphase
```

```
Filename      = 4-0923P_1-2.jdf
Author        = numr
Experiment    = zppg90
Sample_Id     = Parameter_file, TopSpin 3.5
Solvent       = CHLOROFORM-D
Revision_Time = 15-JAN-2021 14:22:58
Comment       = Parameter_file, TopSpin 3.5
Data_Format   = 1D COMPLEX
Dim_Size      = 32768
X_Domain     = 31P
Dim_Title     = 31P
Dim_Units     = {ppm}
Dimensions    = X
Spectrometer  = BRUKER_DRX_NMR
Field_Strength= 9.39910935[T] (400 [MHz])
X_Domain     = 31P
X_Freq        = 161.995833 [MHz]
X_Offset      = 0 [Hz]
X_Freq_Flip   = TRUE
X_Points      = 32768
X_Presans    = 1.
X_Sweep       = 51.02040816 [kHz]
Scans         = 8
Temp_Get      = 205.56[K]
Filter_Factor = 392
```



クロマトグラム



クロマトグラム情報

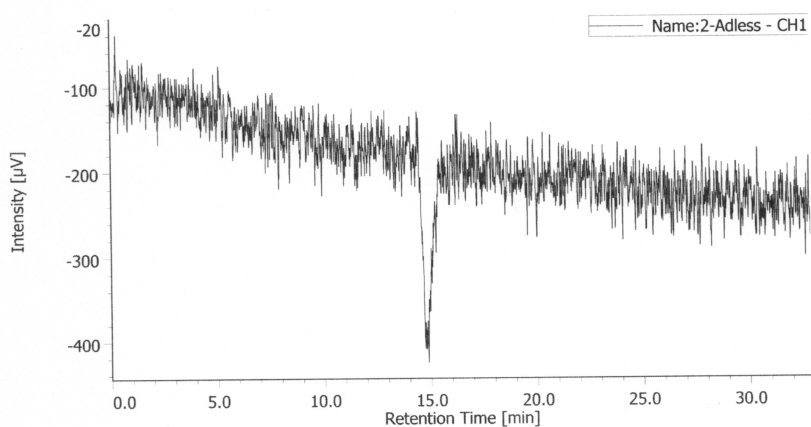
ユーザー名 3385
 更新日時 2021/01/18 20:58:38
 コメント IA,1.5ml/min,Hex:2-Pro=98.2
 HPLC システム名 HPLC-2
 測定日 2021/01/18 18:02:59
 注入量 1.00 [μL]
 サンプル# 1
 プロジェクト名 2019system2
 取込時間 180.0 [min]
 測定シーケンス 2_466460 koki
 コントロールメッシュ system2_2019
 ピークIDテーブル
 検量線テーブル
 追加情報

チャンネル情報+ピーク情報

クロマトグラム名 2-Adless-CH9
 サンプル名
 チャンネル名 270.0nm
 サンプリング間隔 200 [msec]
 波形処理メソッド (マニュアル)

#	ピーク名	CH	tR [min]	面積 [$\mu\text{V}\cdot\text{sec}$]	高さ [μV]	面積%	高さ%	定量値	NTP	分離度	シンメトリー係数	警告
1	Unknown	9	14.683	3228463	96616	99.692	99.690	N/A	4913	6.278	1.551	
2	Unknown	9	20.587	9965	301	0.308	0.310	N/A	6179	N/A	1.218	

クロマトグラム



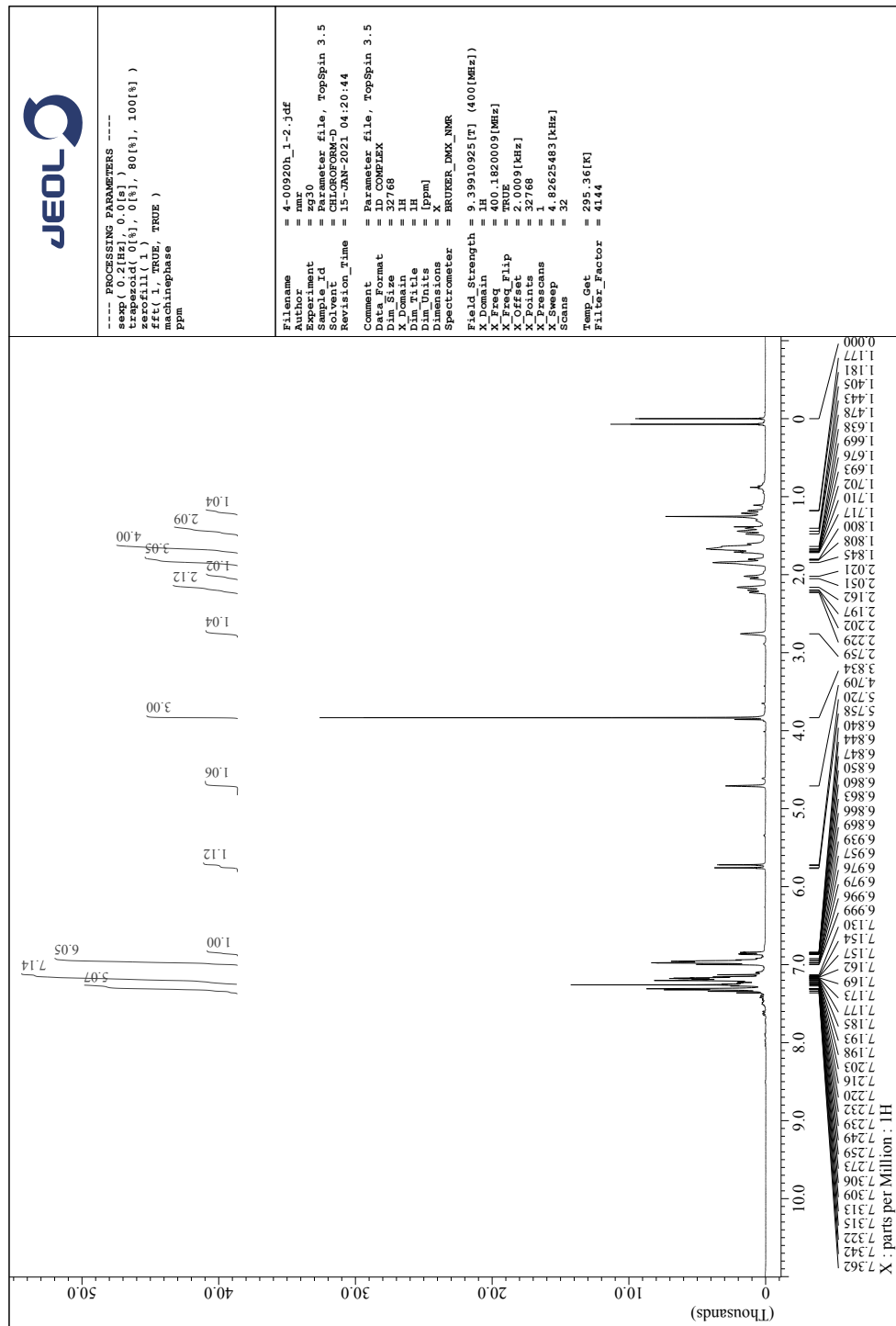
クロマトグラム情報

ユーザー名 3385
更新日時 2021/01/18 20:58:38
コメント IA,1.5ml/min,Hex:2-Pro=98.2
HPLC システム名 HPLC-2
測定日 2021/01/18 18:02:59
注入量 1.00 [μL]
サンプル# 1
プロジェクト名 2019system2
取込時間 180.0 [min]
測定シーンス 2_466460_koki
コントロールメソッド system2_2019
ピークIDテーブル
検量線テーブル
追加情報

チャンネル情報+ピーク情報

クロマトグラム名 2-Adless-CH1
サンプル名
チャンネル名 CD-2095-CD
サンプリング間隔 500 [msec]
波形処理メソッド

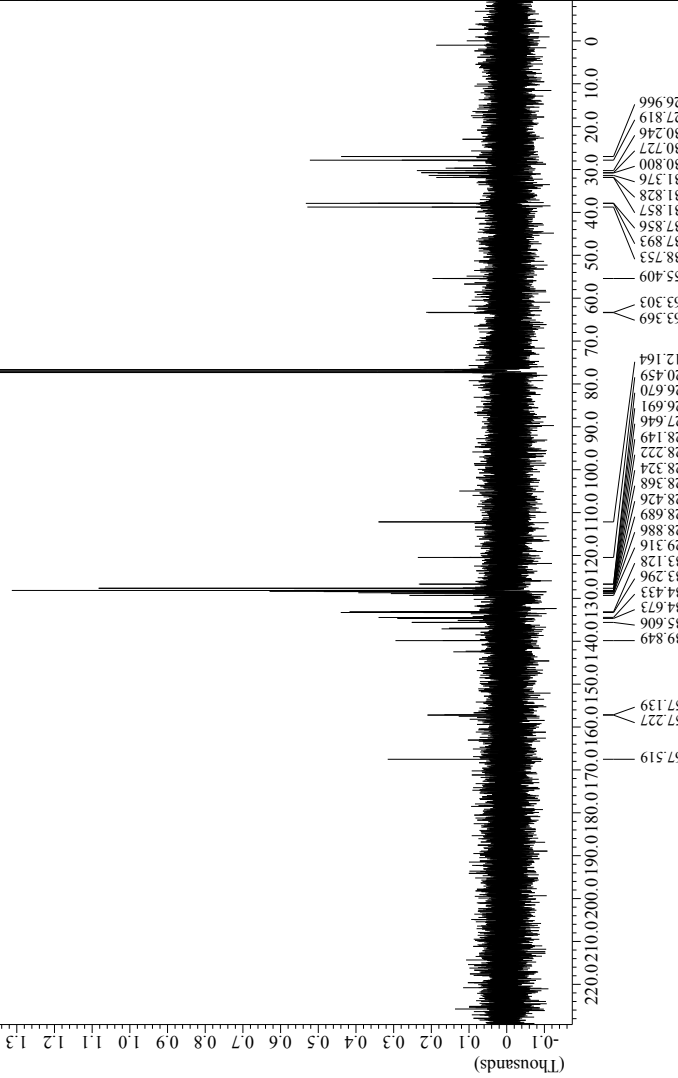
¹H, ¹³C and ³¹P NMR, and chiral phase HPLC chart of (−)-*N*-(Adamantan-2-yl)-*N*-(2-(diphenylphosphanoyl)-6-methoxyphenyl)cinnamamide ((−)-**1b**)



JEOL

```
-- PROCESSING PARAMETERS --
sexp( 0.1 [Hz], 0.0 [s] )
trapzoid( 0 %, 0 %, 80 %, 100 % )
zerofill( 1 )
fft( 1, TRUE, TRUE )
machinephase
Ppm
```

```
Filename      = 4-0920c_1-3.jdf
Author        = numr
Experiment    = zppg90
Sample_Id     = Parameter_file, TopSpin 3.5
Solvent       = CHLOROFORM-D
Revision_Time = 15-JAN-2021 04:37:28
Comment       = Parameter_file, TopSpin 3.5
Data_Format   = 1D COMPLEX
Dim_Size      = 32768
X_Domain     = 1.3C
Dim_Title     = 1.3C
Dim_Units     = [ppm]
Dimensions    = X
Spectrometer  = BRUKER_DRX_NMR
Field_Strength= 9.39910925 [T] (400 [MHz])
X_Domain     = 1.3C
X_Freq_in    = 100.63640982 [MHz]
X_Freq_out   = 100.63640982 [MHz]
X_Flip        = TRUE
X_Offset     = 32768
X_Freq_Flip  = 11.068788 [kHz]
X_Points     = 2
X_Presans    = 24.03846154 [kHz]
Scans         = 256
Temp_Get      = 205.76 [K]
Filter_Factor= 832
```

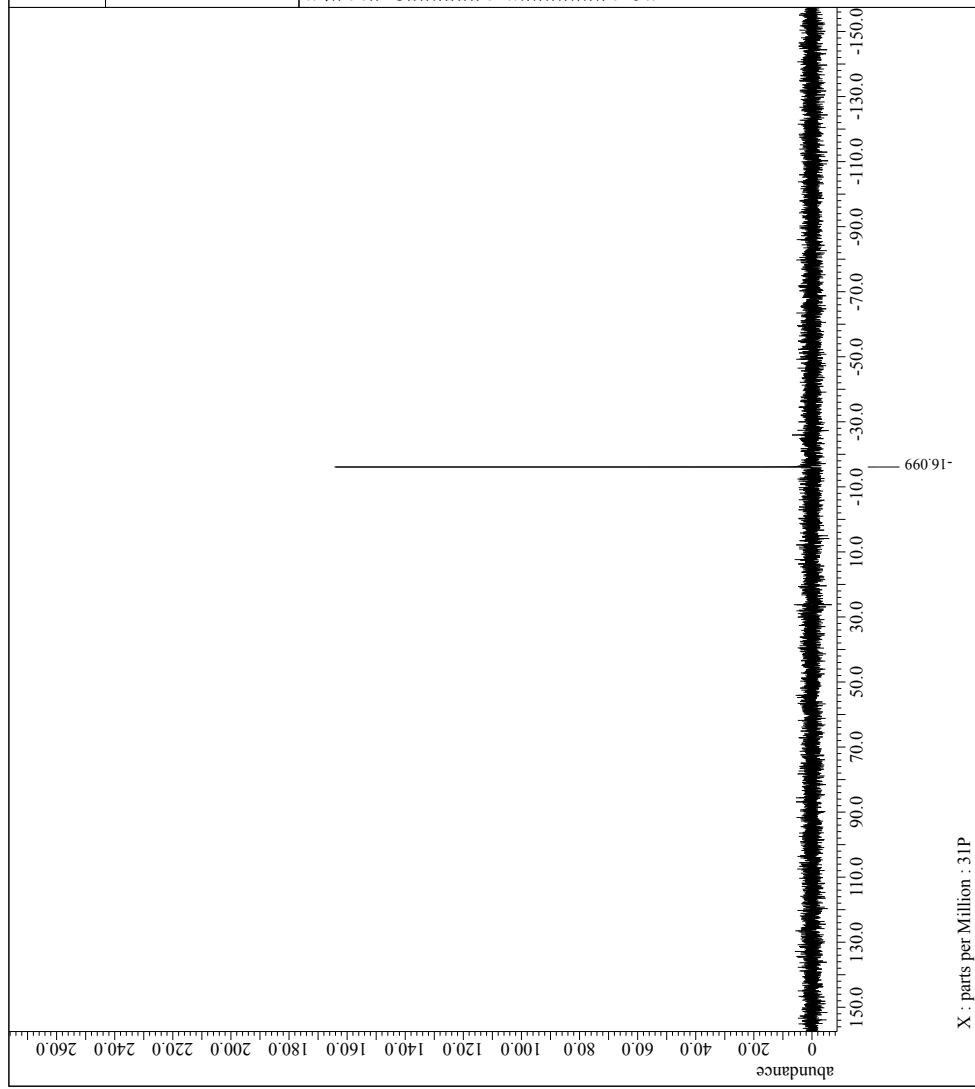


X : parts per Million : 13C

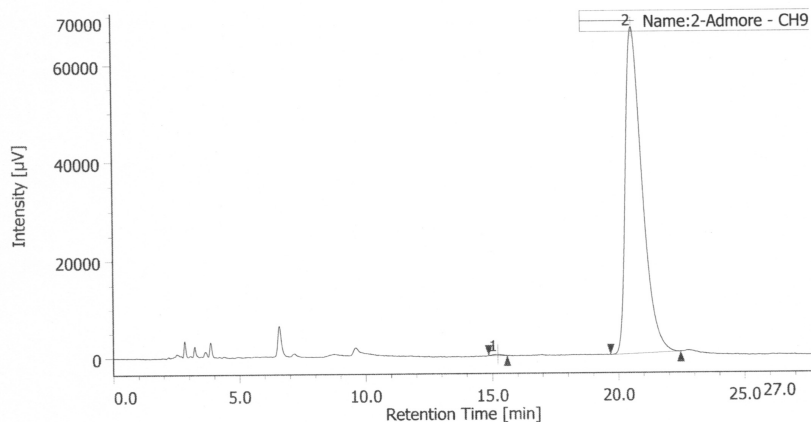
JEOL

```
-- PROCESSING PARAMETERS --
sexp( 2.0 [Hz], 0.0[s] )
trapezoid( 0%, 0%, 80%, 100% )
zerofill( 1 )
fft( 1, TRUE, TRUE )
machinephase
Ppm
```

```
Filename      = 4-0920P_1-2.jdf
Author        = num
Experiment    = zppg90
Sample_Id     = Parameter_file, TopSpin 3.5
Solvent       = CHLOROFORM-D
Revision_Time = 15-JAN-2021 04:40:25
Comment       = Parameter_file, TopSpin 3.5
Data_Format   = 1D COMPLEX
Dim_Size      = 32768
X_Domain     = 31P
Dim_Title     = 31P
Dim_Units     = {ppm}
Dimensions    = X
Spectrometer  = BRUKER_DMX_NMR
Field_Strength= 3.9910935[T] (400 [MHz])
X_Domain     = 31P
X_Offset     = 161.995833 [MHz]
X_Freq        = TRUE
X_Flip        = 0 [Hz]
X_Points      = 32768
X_Presans    = 1.
X_Sweep       = 51.02040816 [kHz]
Scans         = 8
Temp_Get      = 205.46[K]
Filter_Factor = 392
```

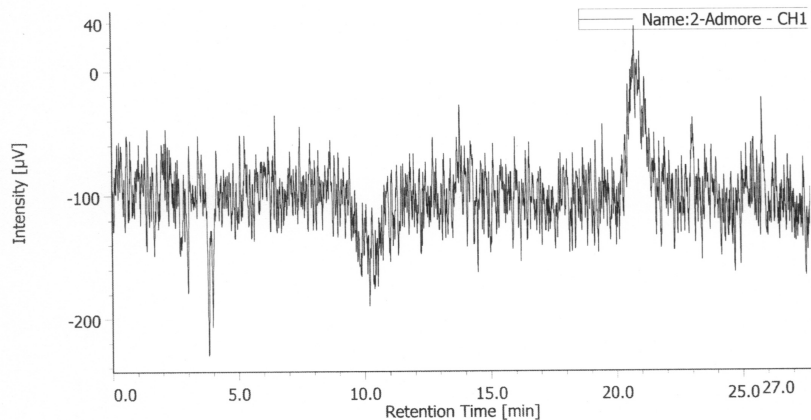


クロマトグラム



1 / 1

クロマトグラム



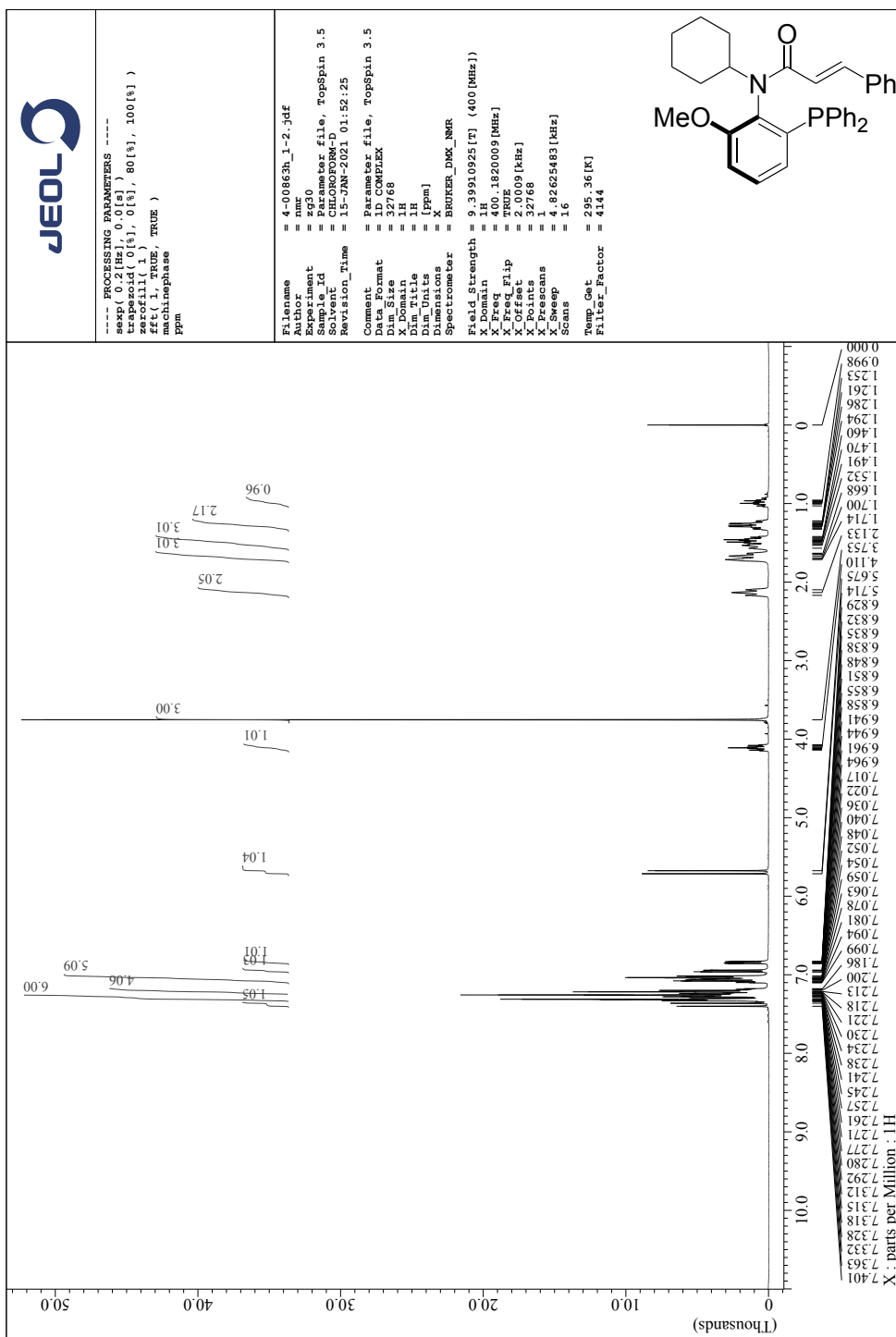
クロマトグラム情報

ユーザー名 3385
更新日時 2021/01/18 20:58:38
コメント IA,1.5ml/min,Hex:2-Pro=98:2
HPLC システム名 HPLC-2
測定日 2021/01/18 19:14:11
注入量 1.00 [μL]
サンプル# 1
プロジェクト名 2019system2
取込時間 180.0 [min]
測定シーンス 2_466462 koki
コントロールメソッド system2_2019
ピークIDテーブル
検量線テーブル
追加情報

チャンネル情報+ピーク情報

クロマトグラム名 2-Admore-CH1
サンプル名 CD-2095-CD
チャンネル名 500 [msec]
サンプリング間隔
波形処理メソッド

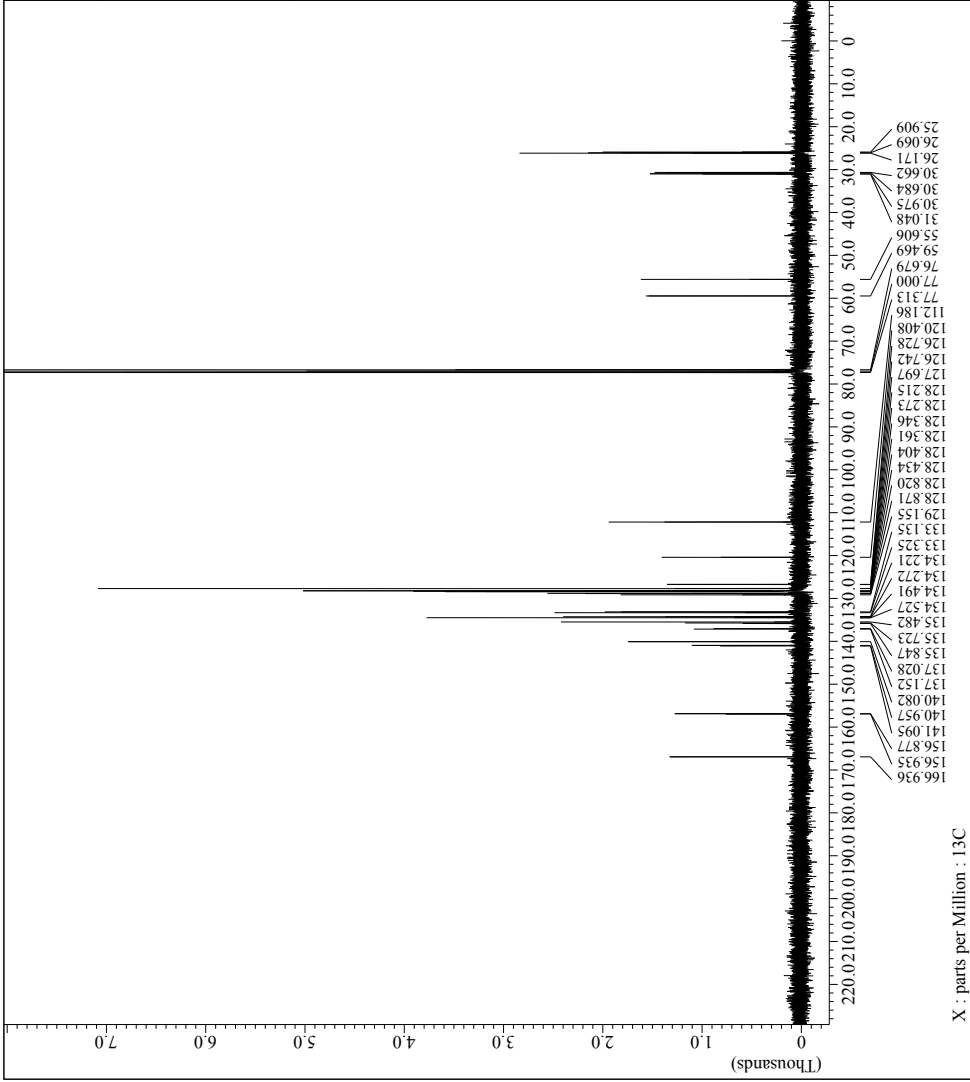
¹H, ¹³C and ³¹P NMR, and chiral phase HPLC chart of (aR)-(-)-N-(Cyclohexyl)-N-(2-(diphenylphosphanoyl)-6-methoxyphenyl)cinnamamide ((aR)-(-)-1c)



JEOL

```
-- PROCESSING PARAMETERS --
sexp( 0.1[Hz], 0.0[s] )
trapezoid( 0%, 0%, 80%, 100% )
zerofill( 1 )
fft( 1, TRUE, TRUE )
machinephase
Ppm
```

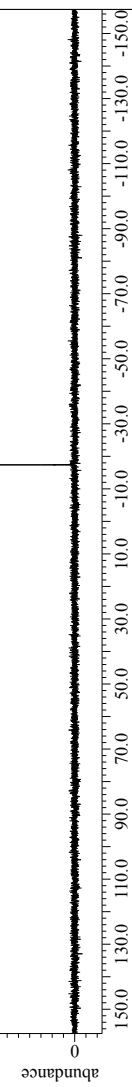
```
Filename      = 4-00863c_1-3.jdf
Author        = numr
Experiment    = zgpg30
Sample_Id     = Parameter_file, TopSpin 3.5
Solvent       = CHLOROFORM-D
Revision_Time = 15-JAN-2021 02:16:21
Comment       = Parameter_file, TopSpin 3.5
Data_Format   = 1D COMPLEX
Dim_Size      = 32768
X_Domain     = 1.3C
Dim_Title     = 1.3C
Dim_Units     = [ppm]
Dimensions    = X
Spectrometer  = BRUKER_DRX_NMR
Field_Strength= 9.39910925[T] (400 [MHz])
X_DomainIn   = 1.3C
X_FreqIn     = 100.63640982 [MHz]
X_Freq        = TRUE
X_Flip        = 32768
X_Offset      = 11.068788 [Hz]
X_Points      = 2
X_Presans    = 24.03846154 [kHz]
Scans         = 512
Temp_Get      = 26.06[K]
Filter_Factor = 832
```



JEOL

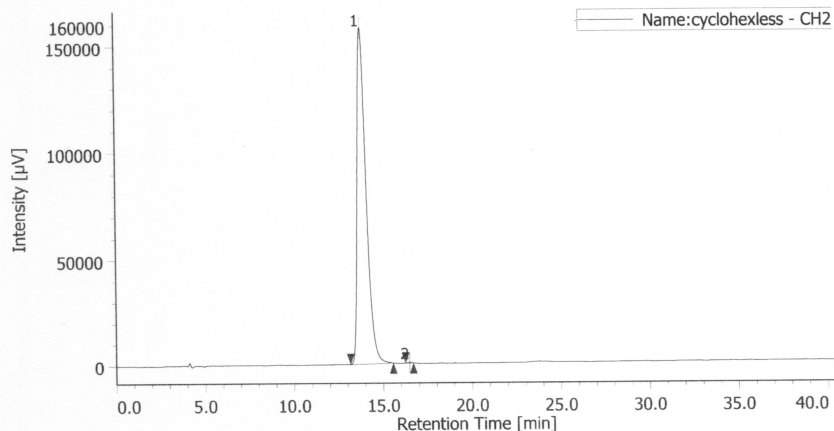
```
-- PROCESSING PARAMETERS --
sexp( 2.0 [Hz], 0.0[s] )
trapzoid( 0%, 0%, 80%, 100% )
zerofill( 1 )
fft( 1, TRUE, TRUE )
machinephase
ppm
```

```
Filename      = 4-00863P_1-2.jdf
Author        = num
Experiment    = zppg90
Sample_Id     = Parameter_file, TopSpin 3.5
Solvent       = CHLOROFORM-D
Revision_Time = 15-JAN-2021 02:18:21
Comment       = Parameter_file, TopSpin 3.5
Data_Format   = 1D COMPLEX
Dim_Size      = 32768
X_Domain     = 31P
Dim_Title     = 31P
Dim_Units     = [ppm]
Dimensions    = X
Spectrometer  = BRUKER_DMX_NMR
Field_Strength= 9.39910935[T] (400 [MHz])
X_Domain     = 31P
X_Offset     = 161.995833 [MHz]
X_Freq        = TRUE
X_Freq_Flip   = 0 [Hz]
X_Points     = 32768
X_Presans    = 51.02040816 [kHz]
Scans         = 8
Temp_Get      = 205.46[K]
Filter_Factor = 392
```



X : parts per Million : 31P

クロマトグラム



クロマトグラム情報

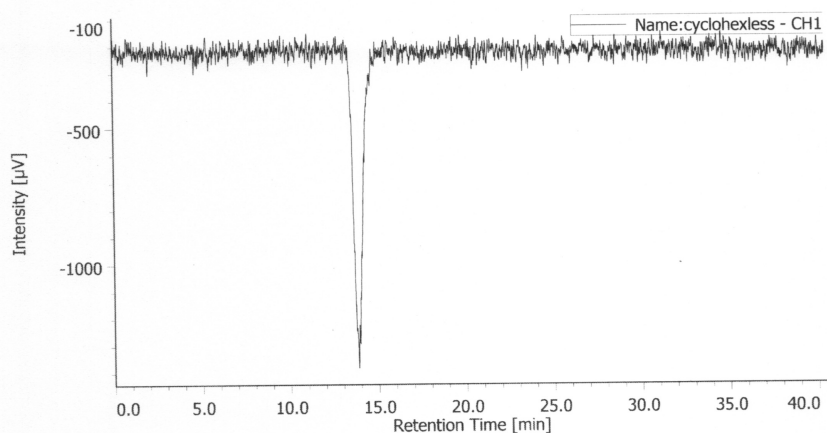
ユーザー名 3385
更新日時 2021/01/18 16:16:16
コメント OD-H,0.8ml/min,Hex:2-Pro=98.2
HPLC システム名 HPLC-2
測定日 2020/10/07 14:58:12
注入量 1.00 [μL]
サンプル# 1
プロジェクト名 2019system2
取込時間 180.0 [min]
測定シーケンス 2_466373 koki
コントロールメソッド system2_2019
ピークIDテーブル
検量線テーブル
追加情報

チャンネル情報+ピーク情報

クロマトグラム名 cyclohexless-CH2
サンプル名
チャンネル名 CD-2095-UV
サンプリング間隔 500 [msec]
波形処理メソッド (マニュアル)

#	ピーク名	CH	tR [min]	面積 [$\mu\text{V}\cdot\text{sec}$]	高さ [μV]	面積%	高さ%	定量値	NTP	分離度	シンメトリー係数	警告
1	Unknown	2	13.842	5510842	158005	99.960	99.911	N/A	3792	3.857	1.407	
2	Unknown	2	16.467	2194	140	0.040	0.089	N/A	20004	N/A	0.996	

クロマトグラム



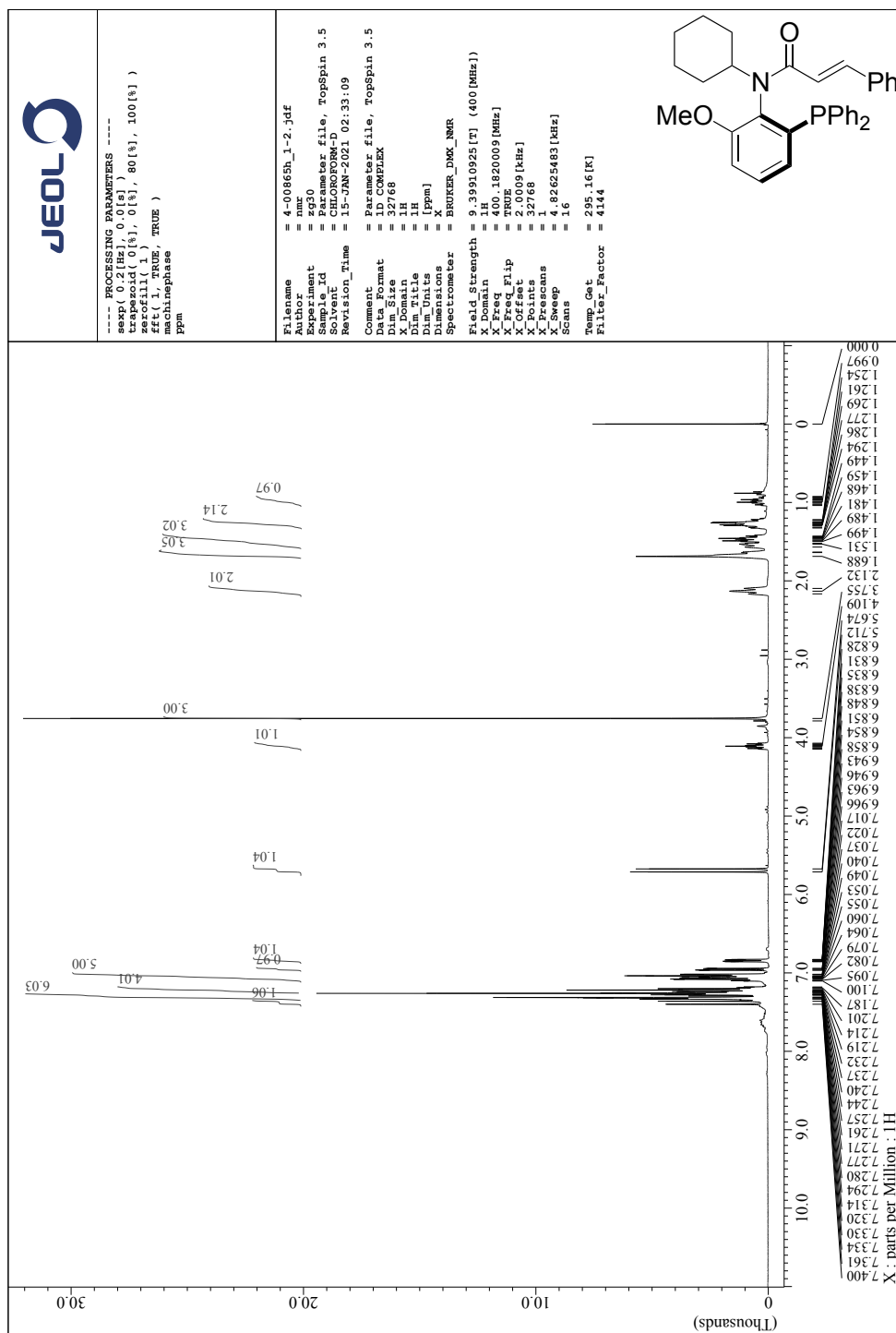
クロマトグラム情報

ユーザー名 3385
更新日時 2021/01/18 16:16:16
コメント OD-H:0.8ml/min,Hex:2-Pro=98:2
HPLC システム名 HPLC-2
測定日 2020/10/07 14:58:12
注入量 1.00 [μL]
注入量単位 1
サンプル# 2019system2
プロジェクト名 180.0 [min]
取込時間 2_466373_koki
測定ソース名 system2_2019
コントロールメソッド
ピークIDテーブル
検量線テーブル
追加情報

チャンネル情報+ピーク情報

クロマトグラム名 cyclohexless-CH1
サンプル名 CD-2095-CD
チャンネル名 500 [msec]
サンプリング間隔
波形処理メソッド

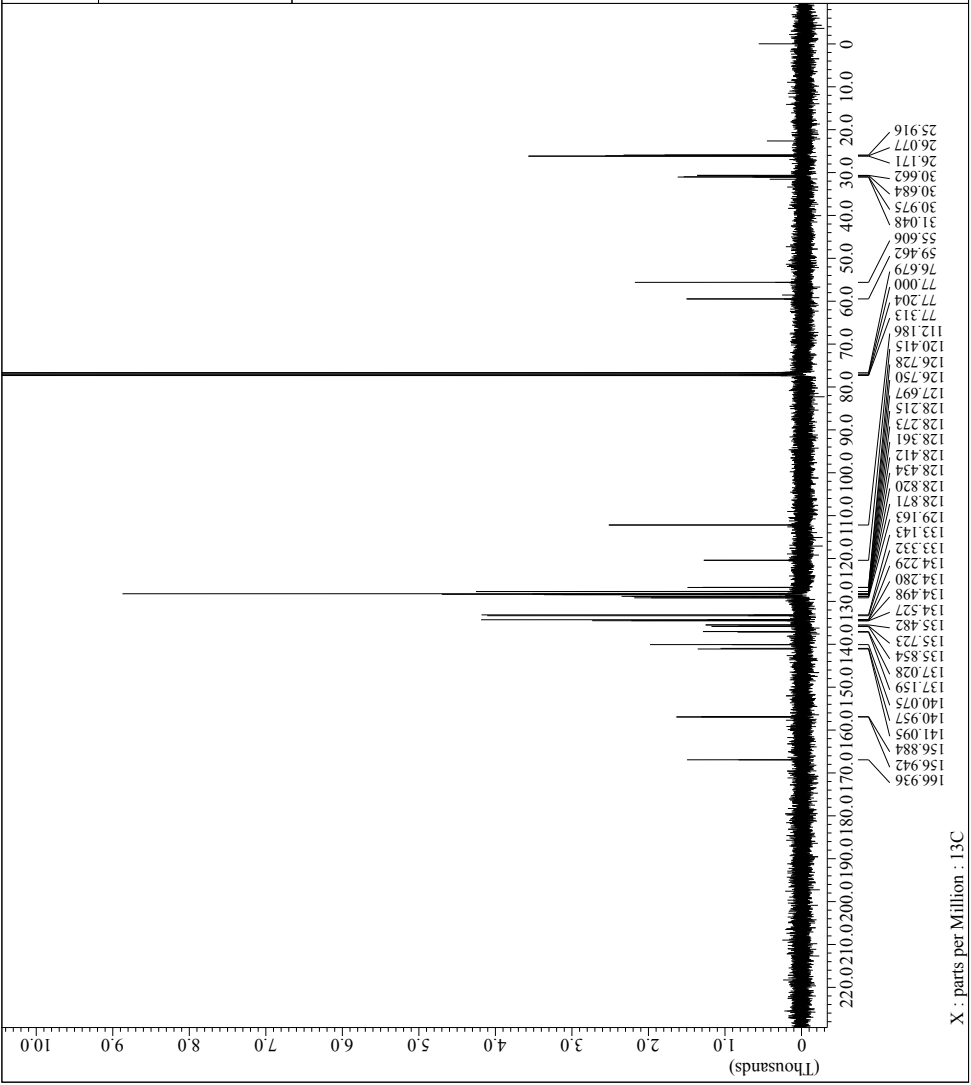
¹H, ¹³C and ³¹P NMR, and chiral phase HPLC chart of (aS)-(+)-N-(Cyclohexyl)-N-(2-(diphenylphosphanoyl)-6-methoxyphenyl)cinnamamide ((aS)-(+)-**1c**)



JEOL

```
-- PROCESSING PARAMETERS --
sexp( 0.1[Hz], 0.0[s] )
trapzoid( 0%, 0%, 80%, 100% )
zerofill( 1 )
fft( 1, TRUE, TRUE )
machinephase
Ppm
```

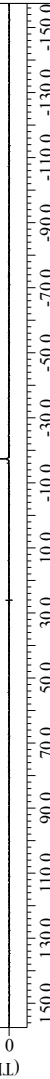
```
Filename      = 4-0086c_1-5.jdf
Author        = numr
Experiment    = zgppg10
Sample_Id     = Parameter_file, TopSpin 3.5
Solvent       = CHLOROFORM-D
Revision_Time = 15-JAN-2021 02:47:51
Comment       = Parameter_file, TopSpin 3.5
Data_Format   = 1D_COMPLEX
Dim_Size      = 32768
X_Domain     = 1.3C
Dim_Title     = 1.3C
Dim_Units     = [ppm]
Dimensions    = X
Spectrometer  = BRUKER_DRX_NMR
Field_Strength = 9.39910925[T] (400 [MHz])
X_Domain_in  = 1.3C
X_Freq        = 100.63640982 [MHz]
X_Freq_Eq     = TRUE
X_Offset      = 32768
X_Fed_Flip   = 11.068788 [Hz]
X_Points      = 2
X_Presans    = 24.03846154 [kHz]
Scans         = 1.024
Temp_Get      = 26.06[K]
Filter_Factor = 832
```



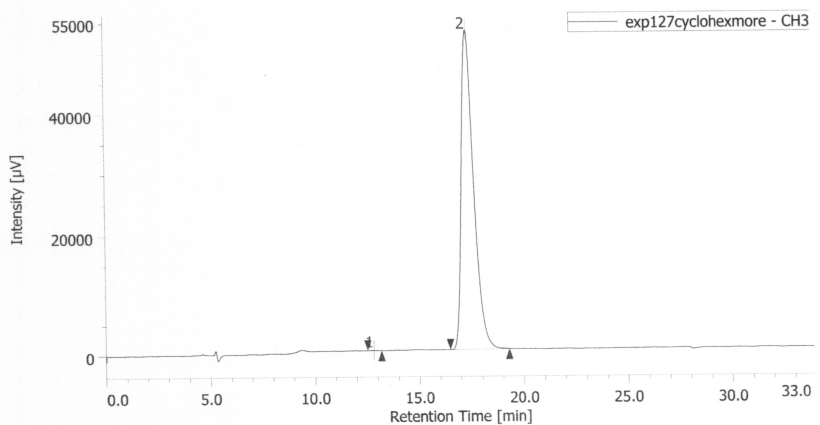
JEOL

```
-- PROCESSING PARAMETERS --
sexp( 2.0 [Hz], 0.0[s] )
trapezoid( 0%, 0%, 80%, 100% )
zerofill( 1 )
fft( 1, TRUE, TRUE )
machinephase
ppm
```

```
Filename      = 4-0945P_1-2.jdf
Author        = num
Experiment    = Parameter_file, TopSpin 3.5
Sample_Id     = SP950
Solvent       = CHLOROFORM-D
Revision_Time = 15-JAN-2021 14:32:18
Comment       = Parameter_file, TopSpin 3.5
Data_Format   = 1D_COMPLEX
Dim_Size      = 32768
X_Domain     = 31P
Dim_Title     = 31P
Dim_Units     = {ppm}
Dimensions    = X
Spectrometer  = BRUKER_DRX_NMR
Field_Strength = 9.39910935[T] (400 [MHz])
X_Domain     = 31P
X_Offset     = 161.995833 [MHz]
X_Freq        = 161.995833 [MHz]
X_Flip        = TRUE
X_Points     = 32768
X_Presans    = 1.
X_Sweep      = 51.02040816 [kHz]
Scans         = 8
Temp_Get      = 205.46[K]
Filter_Factor = 392
```



クロマトグラム



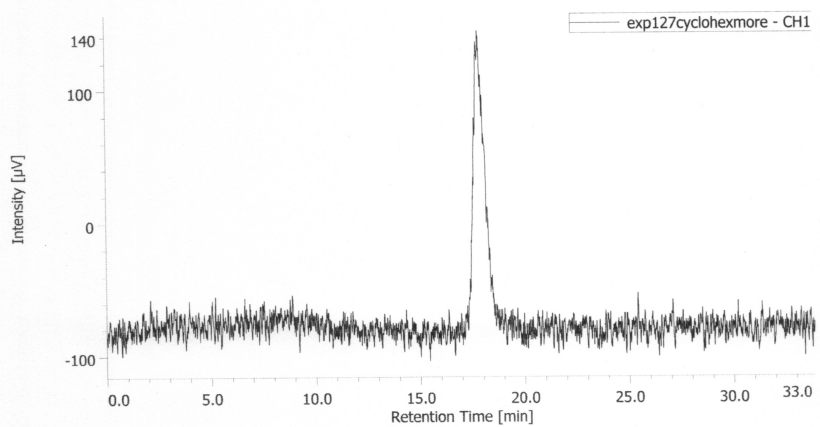
クロマトグラム情報

ユーザー名 3385
更新日時 2020/09/17 16:21:45
コメント OD-H, 0.8 mL/min, hex:2-Pro=98.2
HPLC システム名 SYSTEM-3
測定日 2020/09/17 15:47:49
注入量 1.0 [μL]
サンプル# 1
プロジェクト名 2019system3
取込時間 180.0 [min]
測定ゾーン数 3-649 koki
コントロールメソッド 2019system3
ピークリードテーブル
検量線テーブル
追加情報

チャンネル情報+ピーク情報

#	ピーク名	CH	tR [min]	面積 [μV·sec]	高さ [mV]	面積%	高さ%	定量値	NTP	分離度	シンメトリー係数	警告
1	Unknown	3	12.808	828	37	0.038	0.070	N/A	4465	5.004	1.130	
2	Unknown	3	17.342	2152939	52795	99.962	99.930	N/A	4365	N/A	1.338	

クロマトグラム



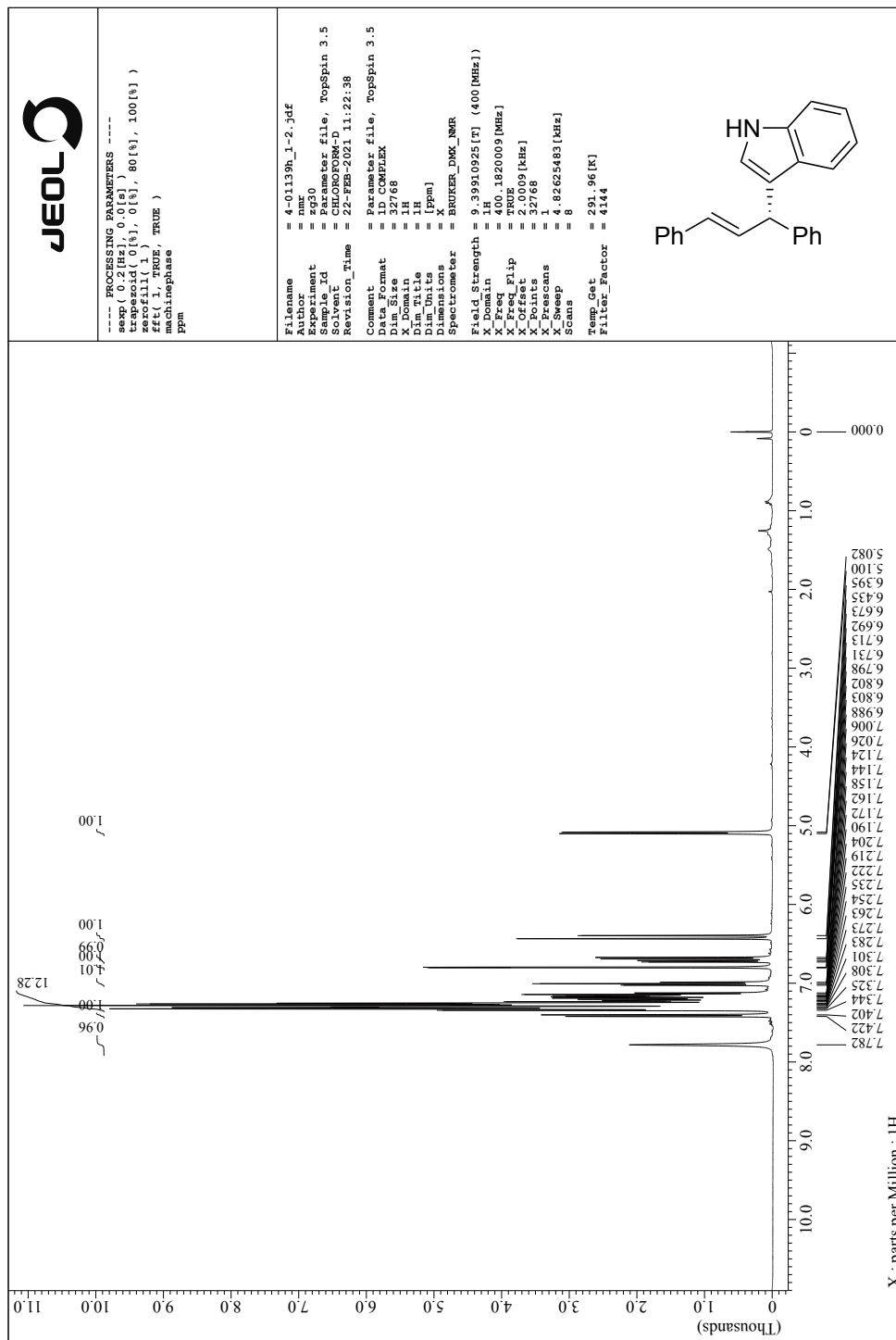
クロマトグラム情報

ユーザー名 3385
更新日時 2020/09/17 16:21:45
コメント OD-H, 0.8 mL/min, hex:2-Pro=98.2
HPLC システム名 SYSTEM-3
測定日 2020/09/17 15:47:49
注入量 1.0 [μ L]
サンプル# 1
プロジェクト名 2019system3
取込時間 180.0 [min]
測定ゾーンス 3-649 koki
コントロールメソッド 2019system3
ピークIDテーブル
検量線テーブル
追加情報

チャンネル情報+ピーク情報

クロマトグラム名 exp127cyclohexmore-CH1
サンプル名
チャンネル名 CD-2095_CD
サンプリング間隔 500 [msec]
波形処理メソッド

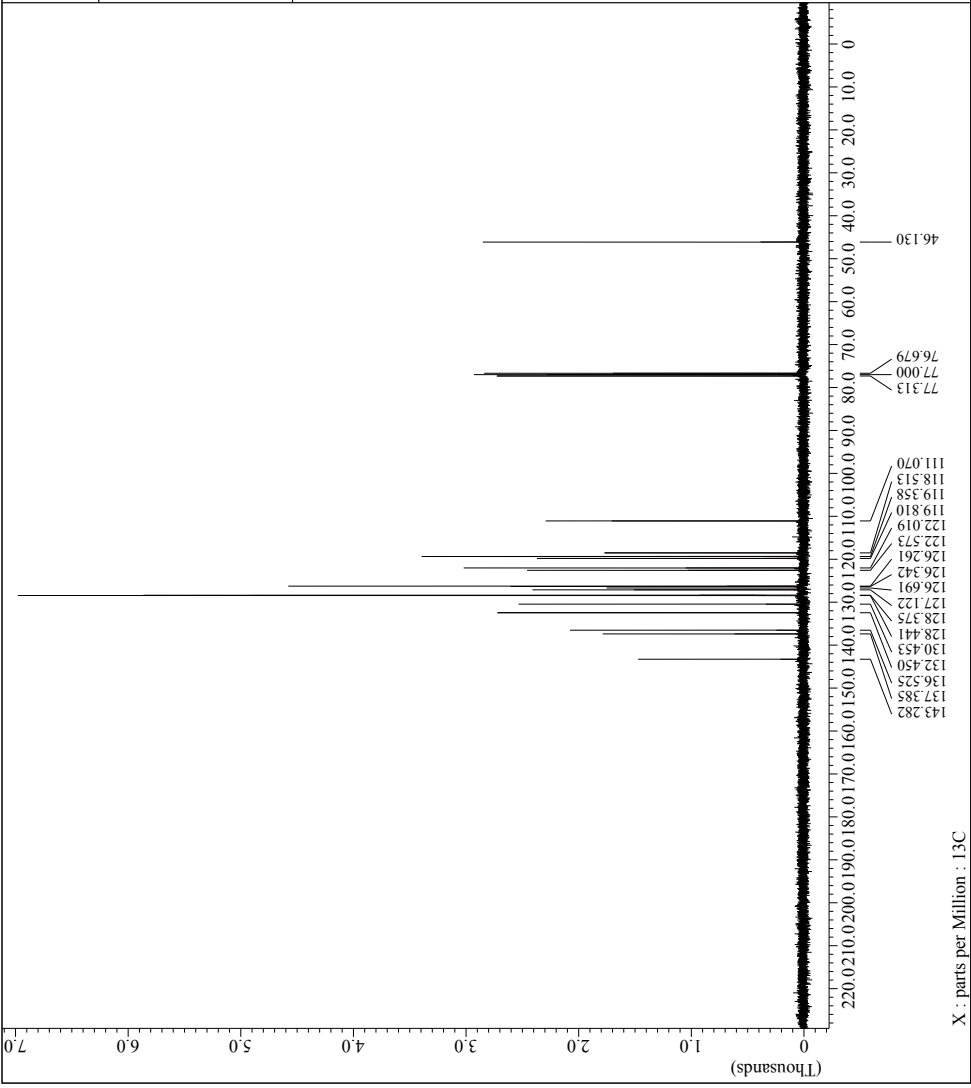
¹H and ¹³C NMR, and chiral phase HPLC chart of (S)-4a



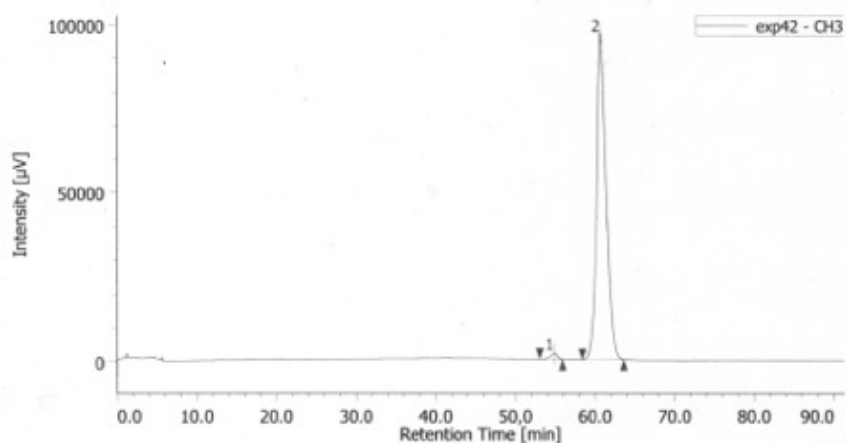
JEOL

```
--- PROCESSING PARAMETERS ---
sep( 0.1[Hz], 0.0[s] )
trapzoid( 0[%], 0[%], 80[%], 100[%] )
zerofill( 1 )
fit( 1, TRUE, TRUE )
machinephase
Pmax
```

```
Filename      = 4-01139c_1-2.jdf
Author        = nmr
Experiment    = zpg30
Sample_Id     = Parameter file, TopSpin 3.5
Solvent       = CHLOROFORM-D
Revision_Time = 22-FEB-2021 10:53:14
Comment       = Parameter file, TopSpin 3.5
Data_Format   = 1D COMPLEX
Dim_Size      = 32768
X_Domain     = 13C
Dim_Title     = {ppm}
Dim_Units     = {ppm}
Dimensions    = X
Spectrometer  = BRUKER DMX_NMR
Field_Strength= 9.399109515[T] (400 [MHz])
X_D_in        = 13C
X_Freq        = 13C
X_Offset      = 100.000000 [MHz]
X_Freq_Flip   = TRUE
X_Points      = 32768
X_Peaksans   = 2
X_Sweep       = 24.03846154 [kHz]
Scans         = 128
Temp_Get      = 292.66[K]
Filter_Factor = 832
```



クロマトグラム



クロマトグラム情報

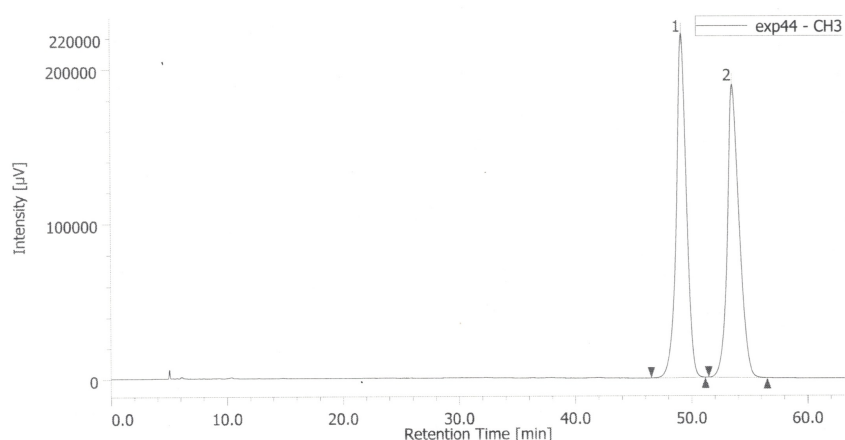
ユーザー名 3385
 更新日時 2021/02/03 20:00:15
 コメント IB.0.7ml/min,Hex:EtOH=99:1,254nm
 HPLC-1
 計測日 2021/02/03 18:28:56
 計測日
 注入量 1.00 [μL]
 サンプル# 1
 プロジェクト名 2019system1
 取込時間 180.0 [min]
 測定シケンス 1_00750 takaya
 コントロールメソッド 2019system1
 ピークIDテーブル
 検量線テーブル
 追加情報

チャンネル情報+ピーク情報

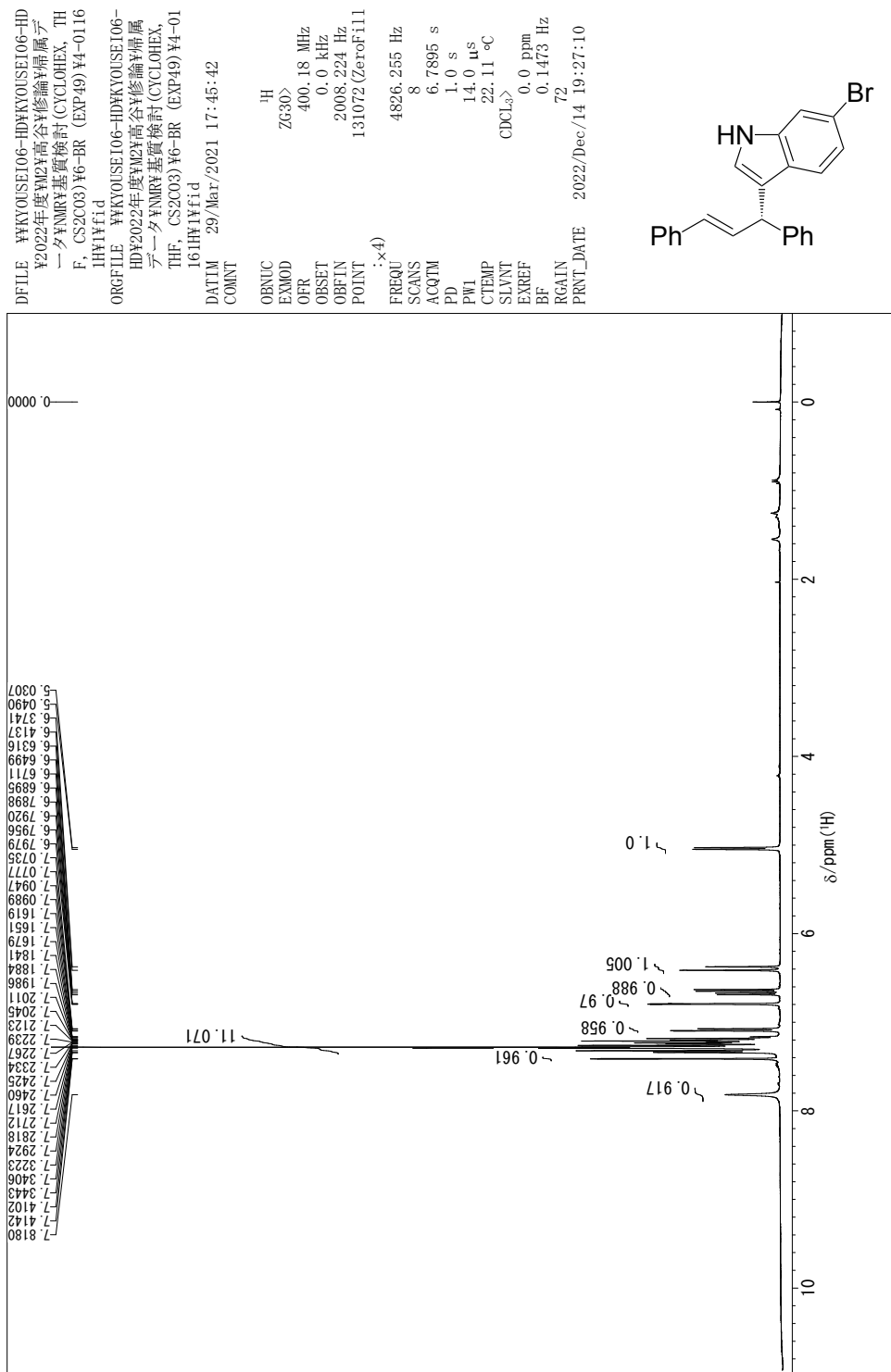
クロマトグラム名 exp42-CH3							
サンプル名	チャンネル名	サンプリング間隔	波形処理メソッド				
	UV-2075	500 [msec]	(マニュアル)				
#	ピーク名 CH3R [min]	面積 [$\mu\text{V}\text{sec}$]	高さ [μV]	面積%	高%	定量値	NTP 分離度 シンメリーベ数 審査
1	Unknown	3 54.867	111136	1719	1.379	1.744	N/A 17822 3.185 0.820
2	Unknown	3 60.708	7950262	946837	98.621	98.256	N/A 14256 N/A 1.197

Chiral phase HPLC chart of (\pm)-4a

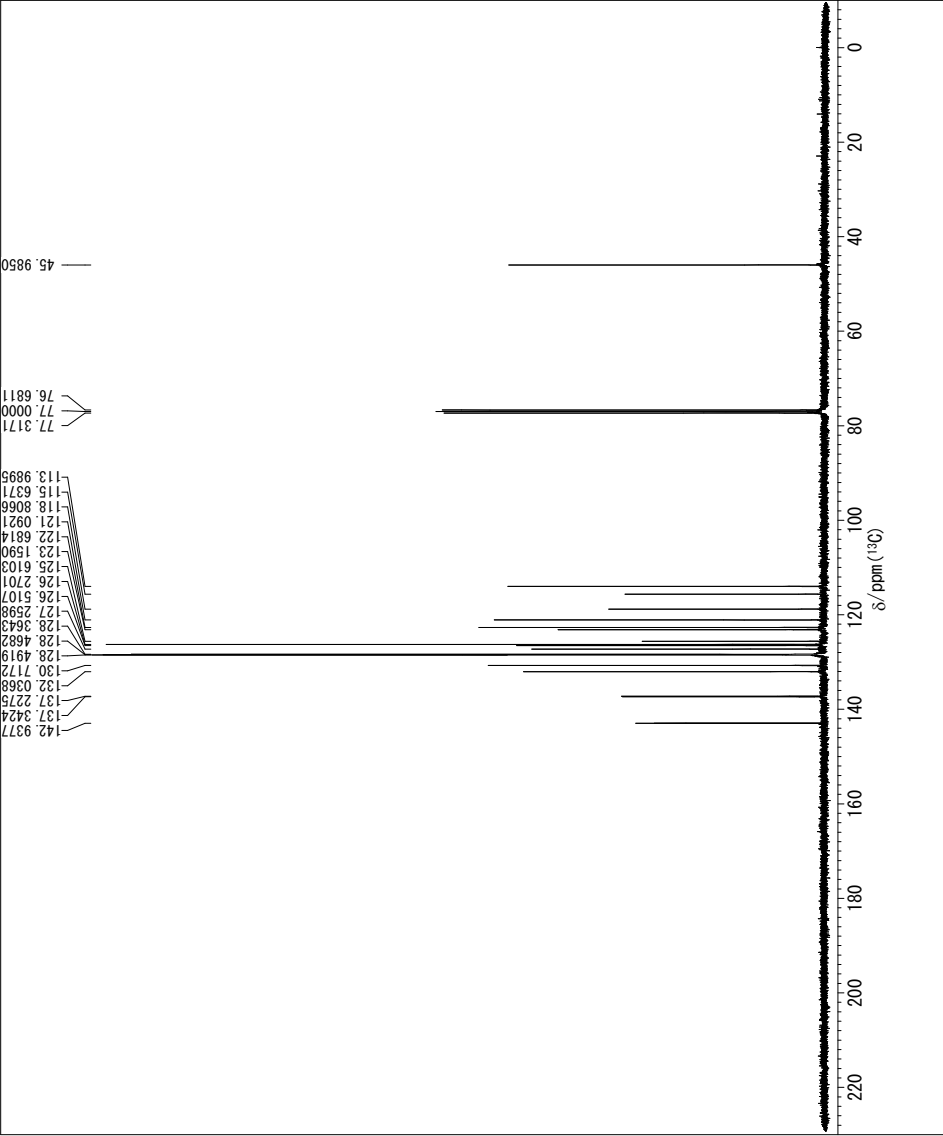
クロマトグラム



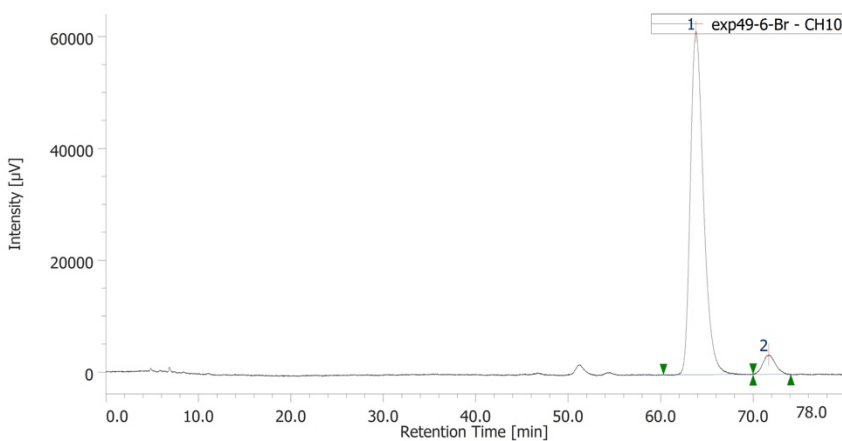
¹H and ¹³C NMR, and chiral phase HPLC chart of (*S*)-**4b**



DFILE WKYOUSEI106-HDKYOUSEI106-HD
 ¥2022年度WAVE高分子修論Y帰属デ
 ータNMR基質検討(CYCLOCHEX, TH
 F, CS2C03) ¥6-BR (EXP49) ¥4-0116
 ICY(Yfid)
 ORGFILE WKYOUSEI106-HDKYOUSEI106-
 HD¥2022年度WAVE高分子修論Y帰属
 データNMR基質検討(CYCLOCHEX,
 THF, CS2C03) ¥6-BR (EXP49) ¥4-01
 161CH1Yfid
 DATM 29/Mar/2021 18:04:31
 COMT



クロマトグラム



クロマトグラム情報

ユーザー名 3385
更新日時 2023/01/25 15:11:03
コメント IA-3, 0.9 mL/min, Hex:2-PrOH=98.2, UV 254 nm, CD 254 nm
HPLC システム名 HPLC-1
測定日 2023/01/25 13:39:50
注入量 1.00 [µL]
サンプル# 1
プロジェクト名 2022system1
取込時間 180.0 [min]
測定シーンス 1-2279 takaya
コントロールメソッド system1_2017
ピークIDテーブル
検量線テーブル
追加情報

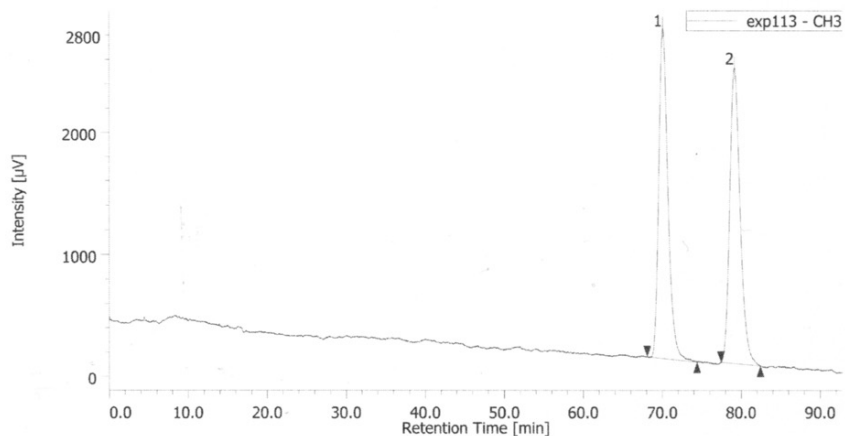
チャンネル情報+ピーク情報

クロマトグラム名 exp49-6-Br-CH10
サンプル名
チャンネル名 254.0nm
サンプリング間隔 100 [nsec]
波形処理メソッド (マニュアル)

#	ピーク名	CH	tR [min]	面積 [µV·sec]	高さ [µV]	面積% 高さ%
1	Unknown	10	63.790	6054665	61392	94.9 94.7
2	Unknown	10	71.668	325998	3457	5.11 5.33

Chiral phase HPLC chart of (\pm)-4b

クロマトグラム



クロマトグラム情報

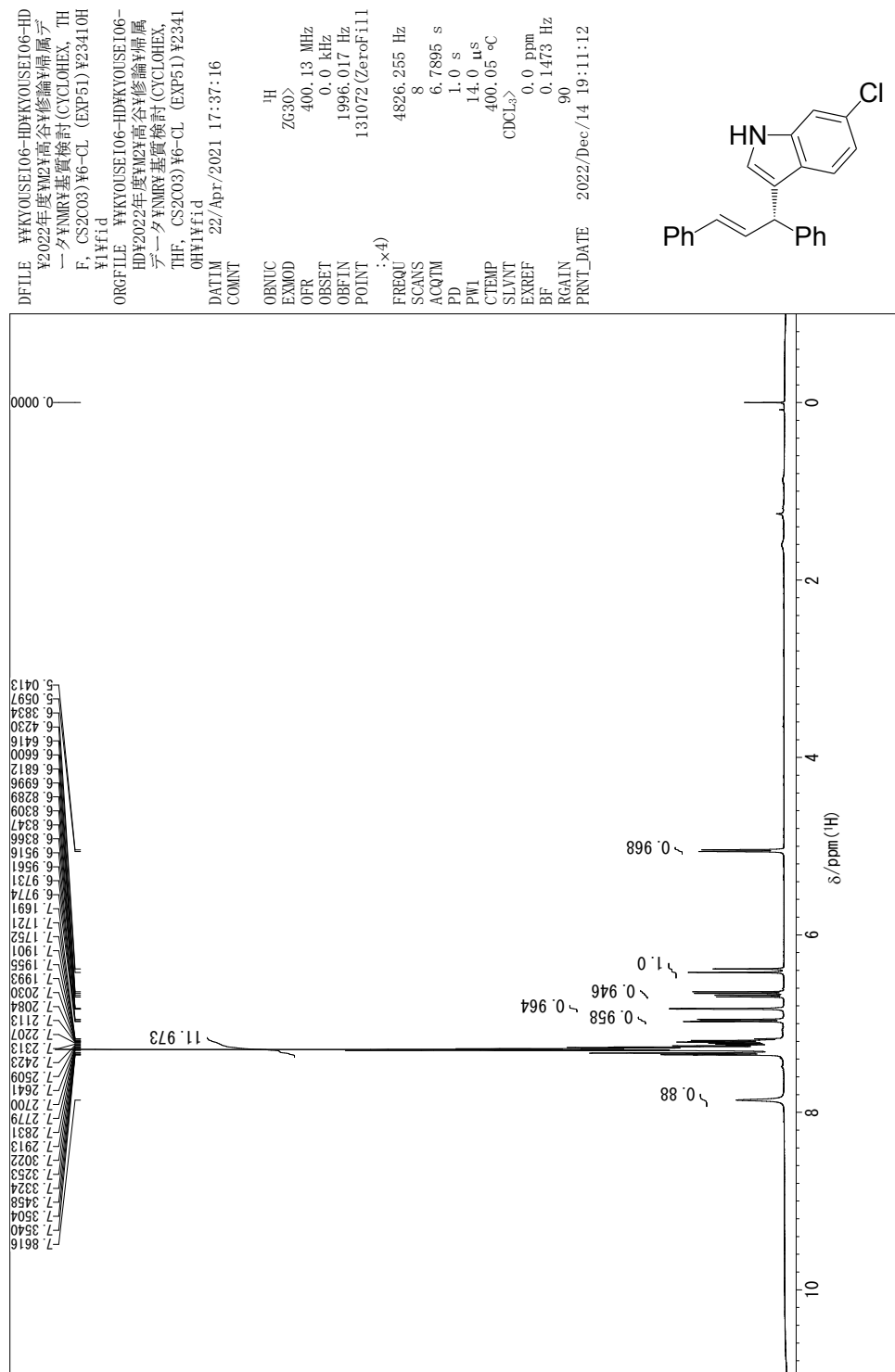
ユーザー名 3385
 更新日時 2012/05/01 18:08:54
 コメント IA-3,flow0.9,Hex:2-pro=98:2
 HPLC システム名 HPLC-1
 測定日 2012/05/01 16:36:05
 注入量 1.00 [μL]
 サンプル# 1
 プロジェクト名 2012system1
 取込時間 600.0 [min]
 測定シーケンス 1_1338_ishikawa
 コントロールメソッド 2009system1_温度制御なし_600min
 ピークIDテーブル
 検量線テーブル
 追加情報

チャンネル情報+ピーク情報

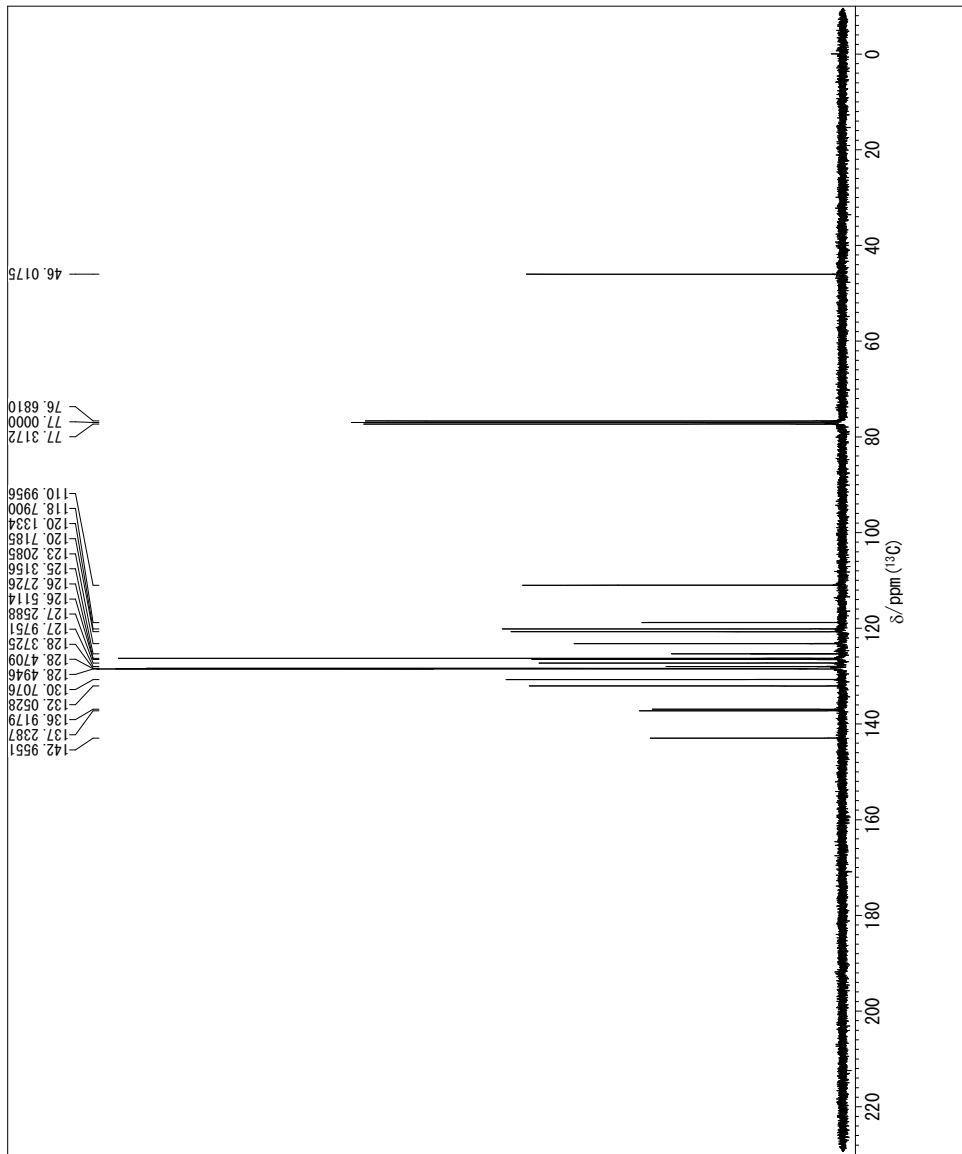
クロマトグラム名 exp113-CH3
 サンプル名 6-Br(rac)
 チャンネル名 UV-2075
 サンプリング間隔 500 [msec]
 (マニュアル)

#	ピーク名	tR [min]	面積 [μV·sec]	高さ [μV]	面積%	高さ%	定量値	NTP	分離度	シグマトリ一係数	警告
1	Unknown	3 70.050	218281	2705	49.681	52.760	N/A	18789	4.135	1.300	
2	Unknown	3 79.092	221087	2422	50.319	47.240	N/A	18272	N/A	1.254	

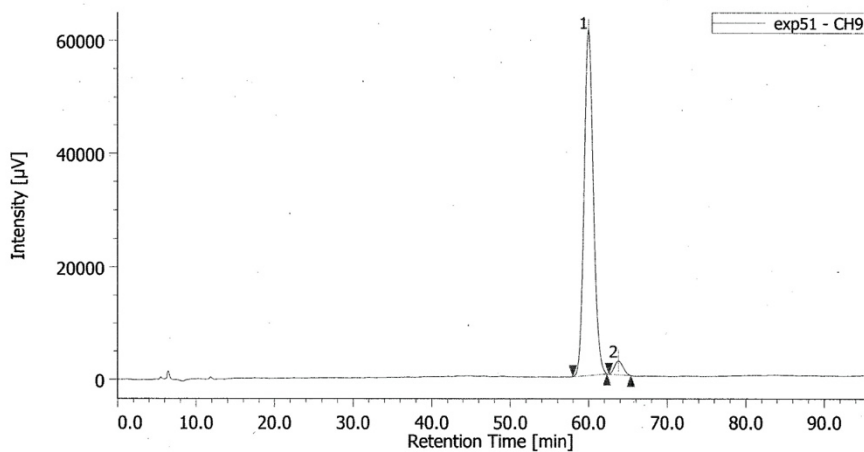
¹H and ¹³C NMR, and chiral phase HPLC chart of (S)-4c



DFILE ¥KYOUSEI06-HDKYOUSEI06-HD
 ¥2022年度¥MCY高谷修論¥属
 データ¥NMR基質検討(CYCLOHEX, TH
 F, CS2CO3)¥6-CL (EXP51)¥23410C
 ¥Ffid
 ORGFILE ¥KYOUSEI06-HD¥KYOUSEI06-HD
 ¥2022年度¥MCY高谷修論¥属
 データ¥NMR基質検討(CYCLOHEX,
 THF, CS2CO3)¥6-CL (EXP51)¥2341
 0CF1Wfid
 DATIM 22/Apr/2021 17:53:18
 COMNT
 OBNUC ¹³C
 EXMOD ZGP30>
 OFR 100.61 MHz
 OBSET 0.0 kHz
 OBFIN 11067.71 Hz
 POINT 131072[ZeroFl11
 ;×4]
 FREQU 24038.46 Hz
 SCANS 256
 ACQTM 1.3631 s
 PD 2.0 s
 PW1 9.0 μs
 CTEMP 400.05 °C
 SLVNT CDCl₃>
 EXREF 77.0 ppm
 BF 0.7336 Hz
 RGAIN 2050
 PRNT_DATE 2022/Dec/14 19:17:23



クロマトグラム



クロマトグラム情報

ユーザー名 3385
更新日時 2021/04/30 15:50:46
コメント IA=3.0ml/min,Hex:EtOH=99:1,254nm
HPLC システム名 HPLC-1
測定日 2021/04/30 14:15:43
注入量 1.00 [μ L]
サンプル# 1
プロジェクト名 2019system1
取込時間 180.0 [min]
測定シーケンス 1-00816 takaya
コンドロールメソッド 2019system1
ピークIDテーブル
検量線テーブル
追加情報

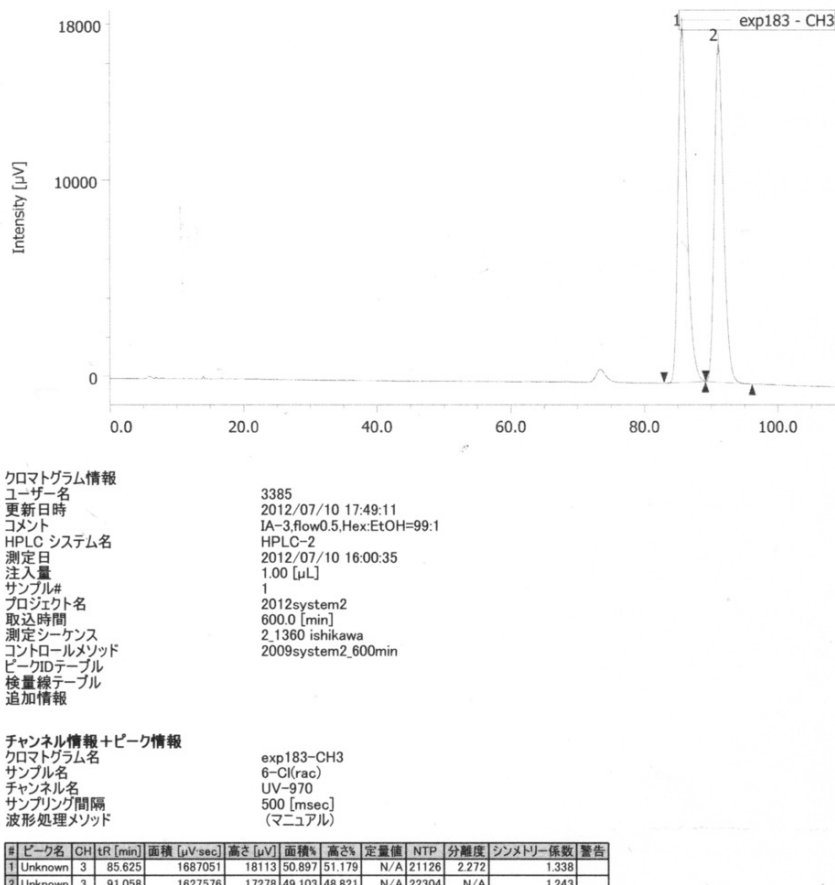
チャンネル情報+ピーク情報

クロマトグラム名 exp51-CH9
サンプル名
チャンネル名 254.0nm
サンプリング間隔 200 [msec]
波形処理メソッド (マニュアル)

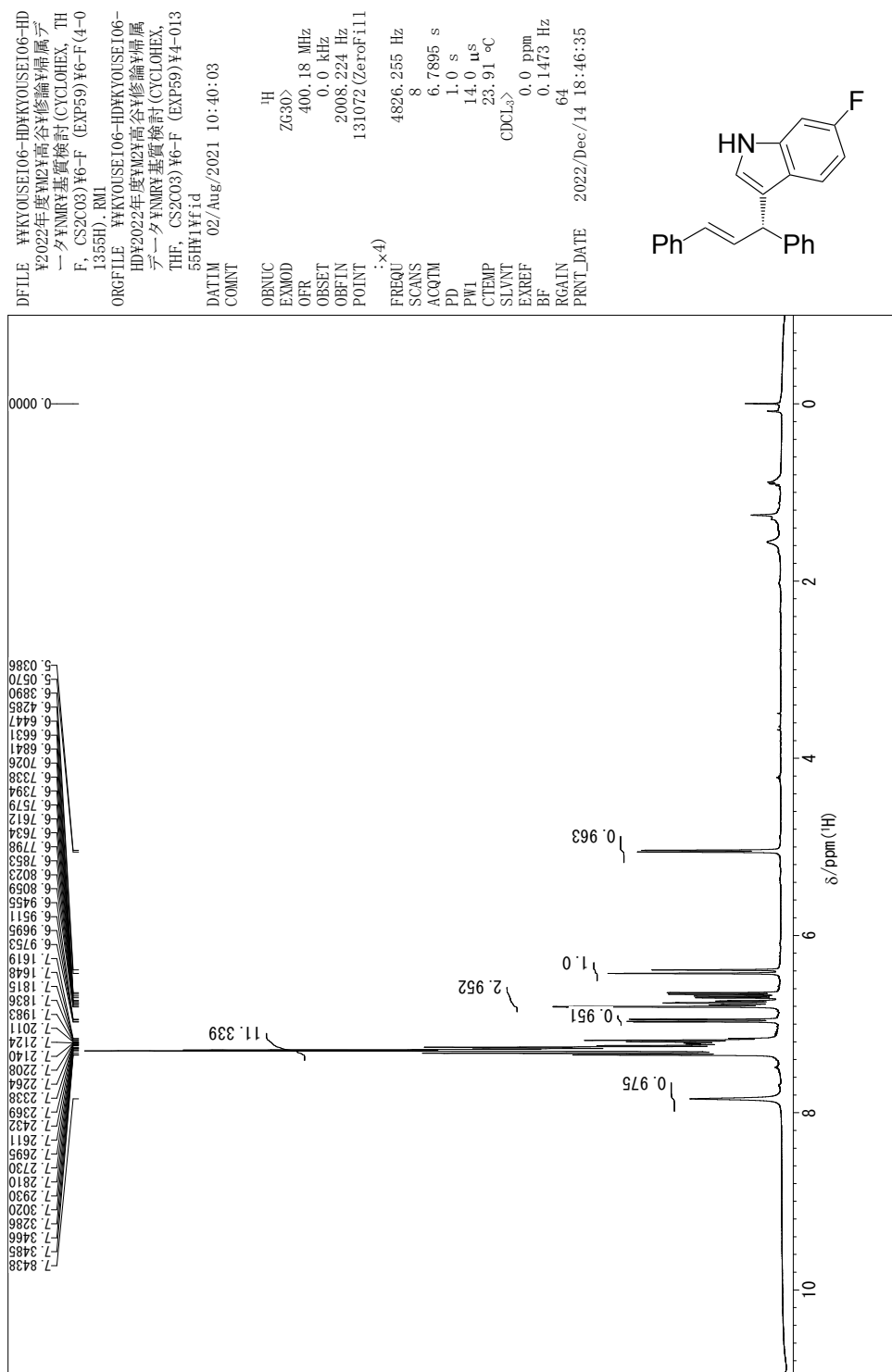
#	ピーク名	CH	tR [min]	面積 [μ V·sec]	高さ [μ V]	面積%	高さ%	定量値	NTP	分離度	シムmetry係数	警告
1	Unknown	9	59.953	5007969	61039	96.493	96.169	N/A	12658	1.835	1.127	
2	Unknown	9	63.773	182031	2431	3.507	3.831	N/A	15599	N/A	1.100	

Chiral phase HPLC chart of (\pm)-4c

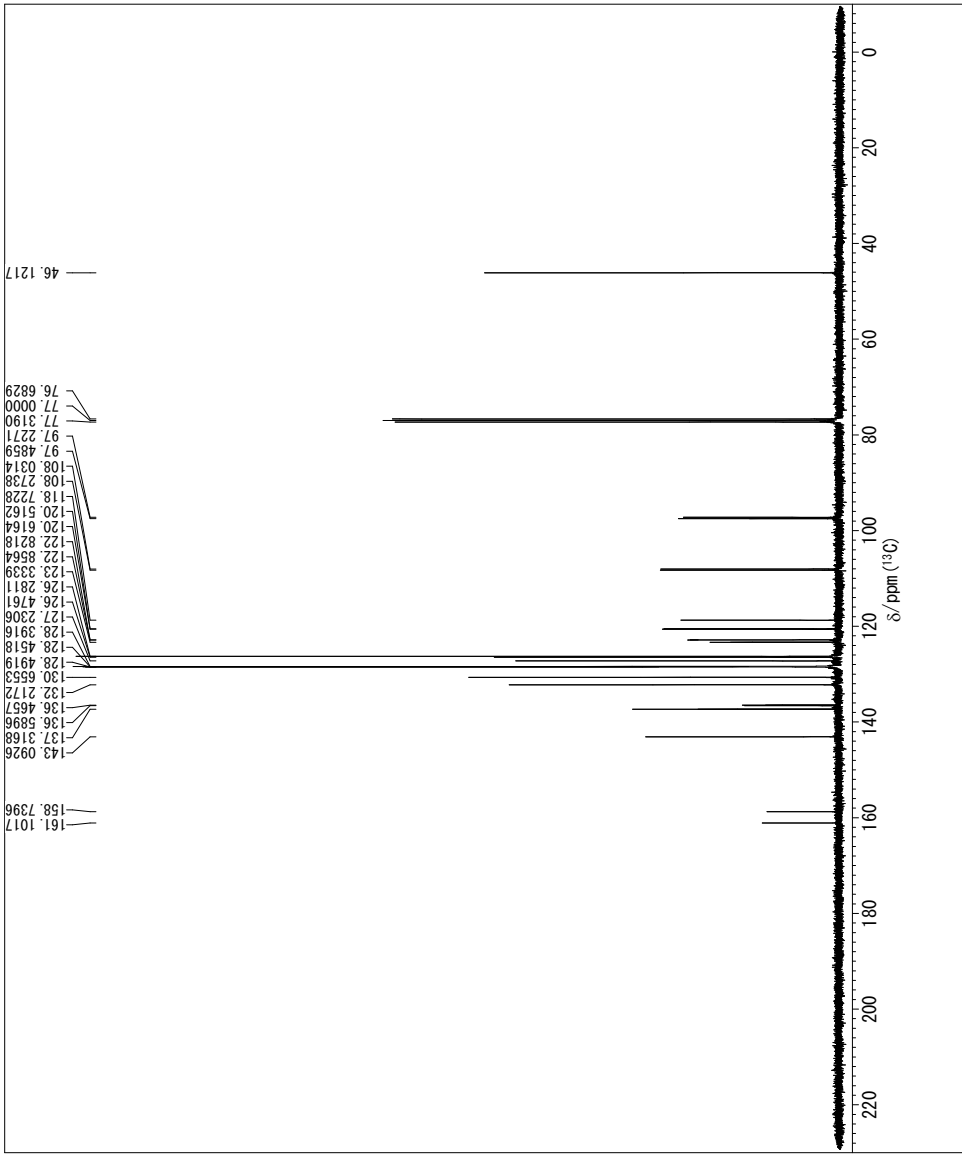
クロマトグラム



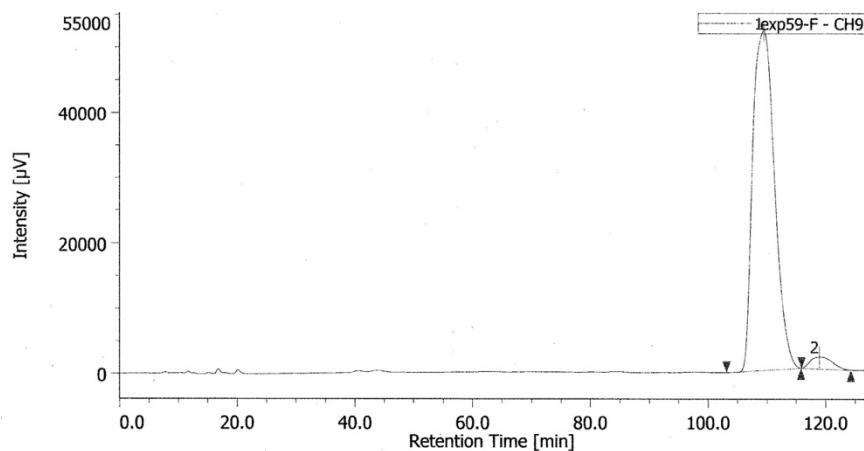
¹H and ¹³C NMR, and chiral phase HPLC chart of (S)-**4d**



DFILE KYOUSEI06-HDKYOUSEI06-HD
 ¥2022年度高谷修論基質検討(CYCLOHEX, TH
 F, CS2C03)¥6-F (EXP59)¥4-01355
 CHYfid
 ORGFILE KYOUSEI06-HDKYOUSEI06-HD
 ¥2022年度ヤマツ高谷修論基質
 データ¥NMR基質検討(CYCLOHEX,
 THF, CS2C03)¥6-F (EXP59)¥4-013
 55CHYfid
 DATIM 02/Aug/2021 10:58:56
 COMNT
 OBNUC ¹³C
 EXMOD ZGP30>
 OFR 100.63 MHz
 OBSET 0.0 kHz
 OBFIN 11066.5 Hz
 POINT 131072[ZeroFi11]
 ;
 :x4)
 FREQU 24038.46 Hz
 SCANS 256
 ACQTM 1.3631 s
 PD 2.0 s
 PW1 10.0 μ s
 CTEMP 24.81 °C
 SLVNT CDCl₃>
 EXREF 77.0 ppm
 BF 0.7336 Hz
 RGAIN 203
 PRNT_DATE 2022/Dec/14 18:53:49

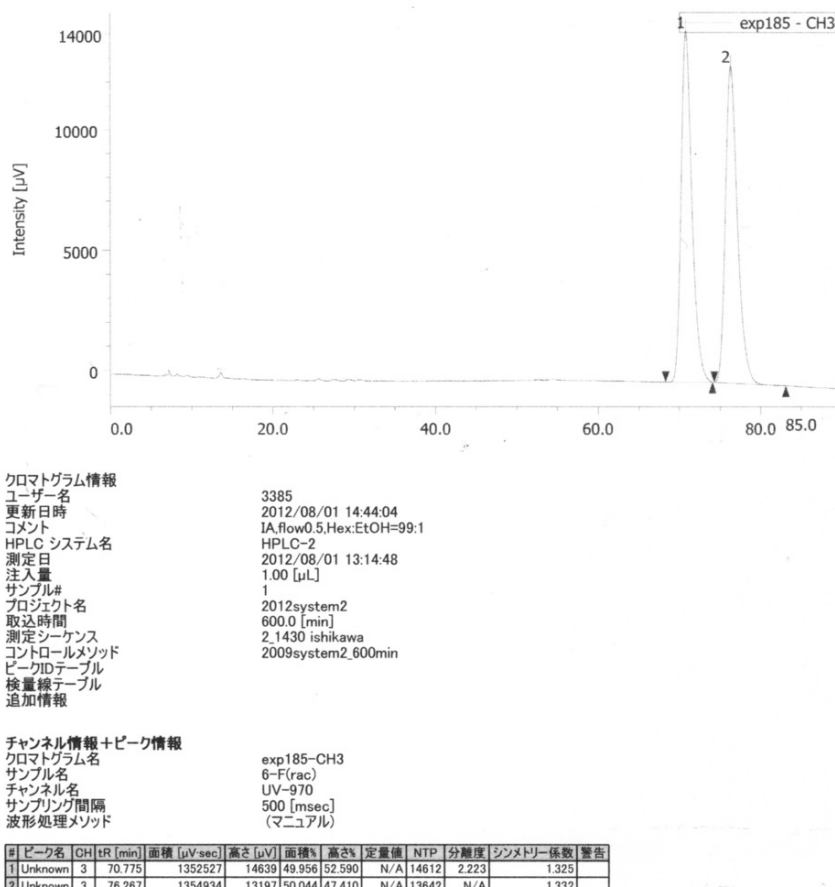


クロマトグラム

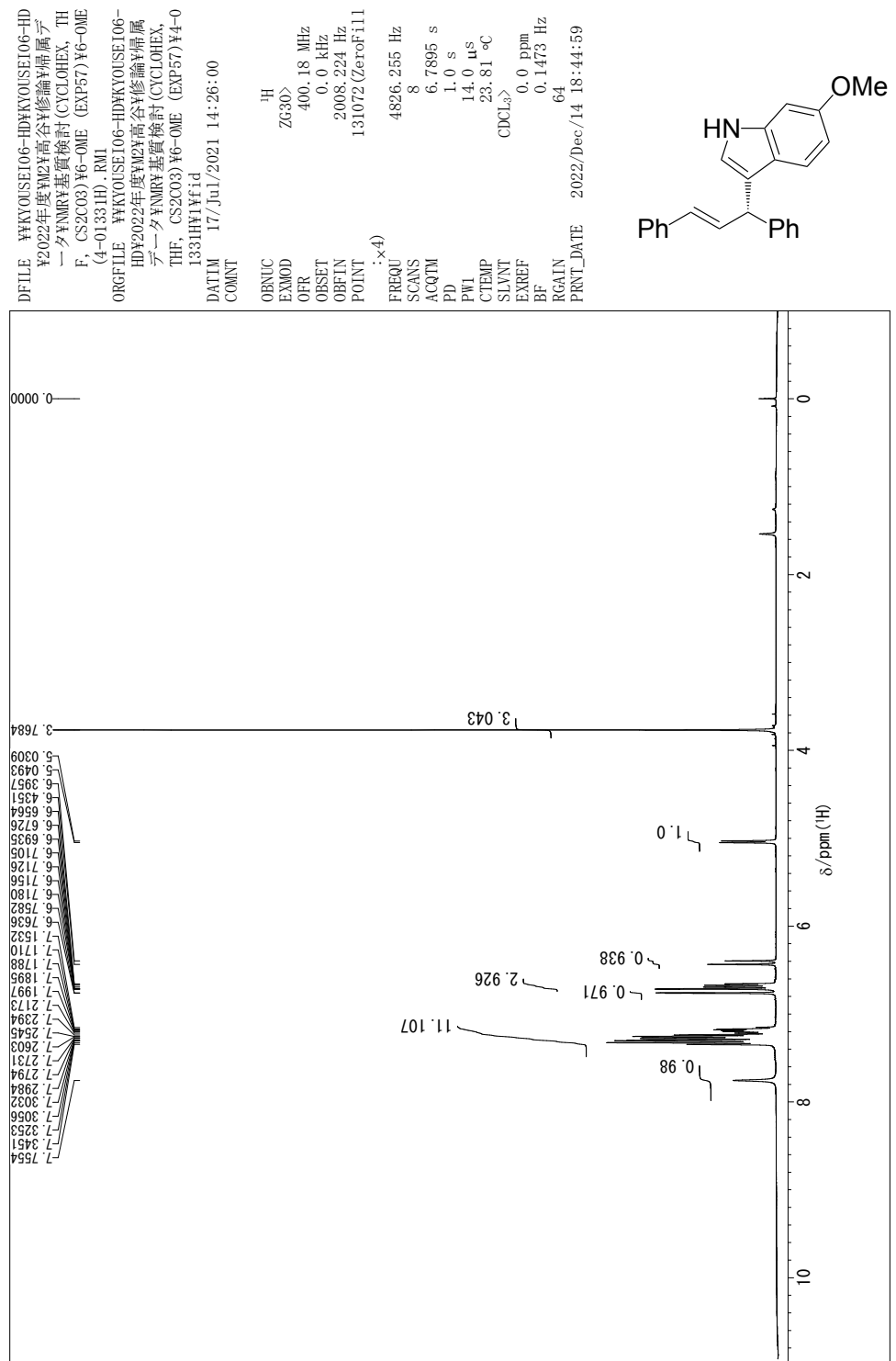


Chiral phase HPLC chart of (\pm)-4d

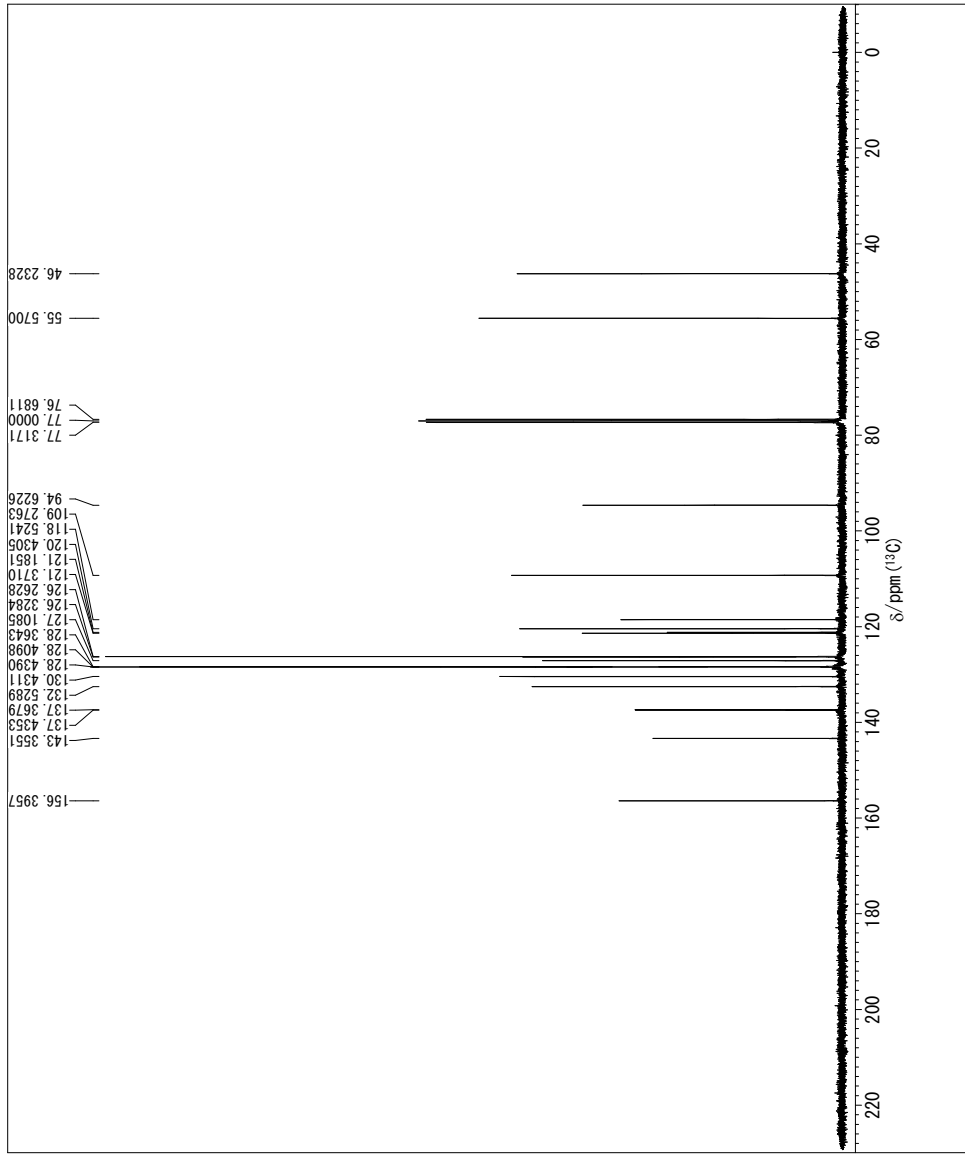
クロマトグラム



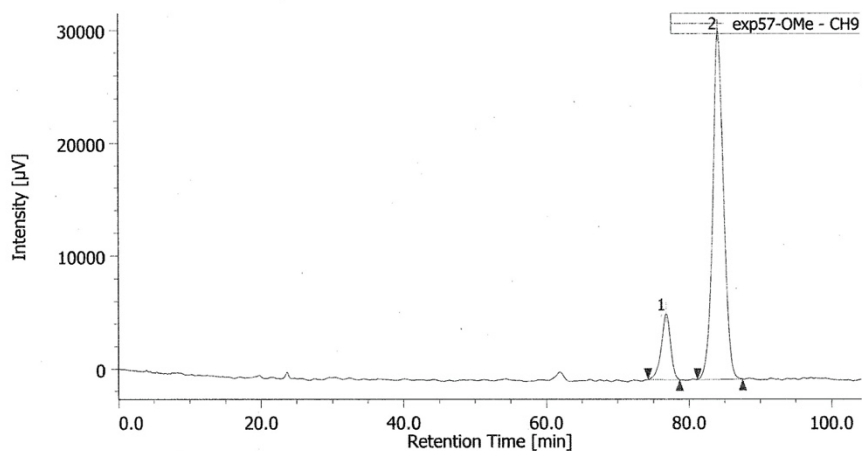
¹H and ¹³C NMR, and chiral phase HPLC chart of (S)-**4e**



DFILE KYOUSEI06-HDKYOUSEI06-HD
 ¥2022年度高谷修論基質試験
 一^タY^マNMR基質検討(CYCLOHEX, TH
 F, CS2C03)¥6-0ME (EXP57)¥4-013
 31CYKfid
 ORGFILE KYOUSEI06-HDKYOUSEI06-HD
 ¥2022年度ヤマカ高谷修論基質
 データ^タY^マNMR基質検討(CYCLOHEX,
 THF, CS2C03)¥6-0ME (EXP57)¥4-0
 133CYKfid
 DATIM 17/Jul/2021 14:43:54
 COMNT
 OBNUC ¹³C
 EXMOD ZGP30>
 OFR 100.63 MHz
 OBSET 0.0 kHz
 OBFIN 11066.5 Hz
 POINT 131072[ZeroofFit]
 ;
 :x4)
 FREQU 24038.46 Hz
 SCANS 256
 ACQTM 1.3631 s
 PD 2.0 s
 PW1 10.0 μ s
 CTEMP 24.71 °C
 SLVNT CDCl₃>
 EXREF 77.0 ppm
 BF 0.7336 Hz
 RGAIN 203
 PRNT_DATE 2022/Dec/13 11:39:18



クロマトグラム



クロマトグラム情報

ユーザー名 3385
更新日時 2021/07/19 12:17:17
コメント IB,0.9ml/min,Hex:EtOH=99:1,254nm,rt
HPLC システム名 HPLC-1
測定日 2021/07/19 10:30:12
注入量 1.00 [μL]
サンプル# 1
プロジェクト名 2019system1
取込時間 180.0 [min]
測定シーンス 1-00953 takaya
コントロールメソッド 2019system1
ピークリードテーブル
検量線テーブル
追加情報 ,4h

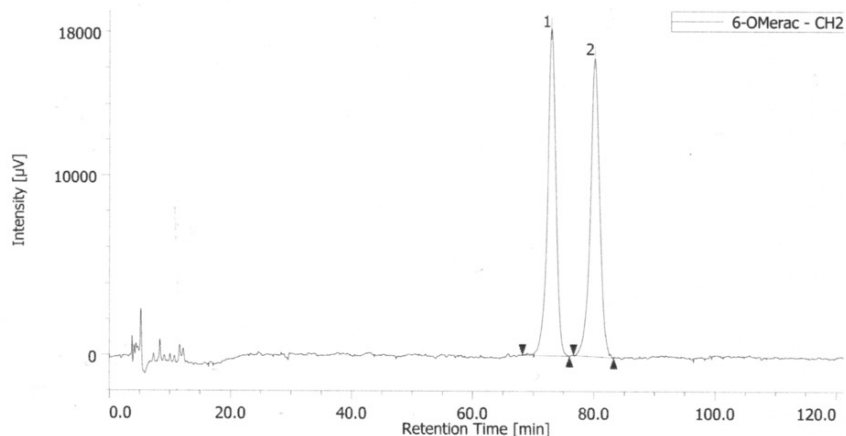
チャンネル情報+ピーク情報

クロマトグラム名 exp57-OMe-CH9
サンプル名
チャンネル名 254.0nm
サンプリング間隔 200 [msec]
波形処理メソッド <マニュアル>

#	ピーク名	CH	tR [min]	Area [μV·sec]	Height [μV]	Area%	Height%
1	Unknown	9	76.81	533842	5851	14.209	15.945
2	Unknown	9	84.10	3223190	30844	85.791	84.055

Chiral phase HPLC chart of (\pm)-4e

クロマトグラム



クロマトグラム情報

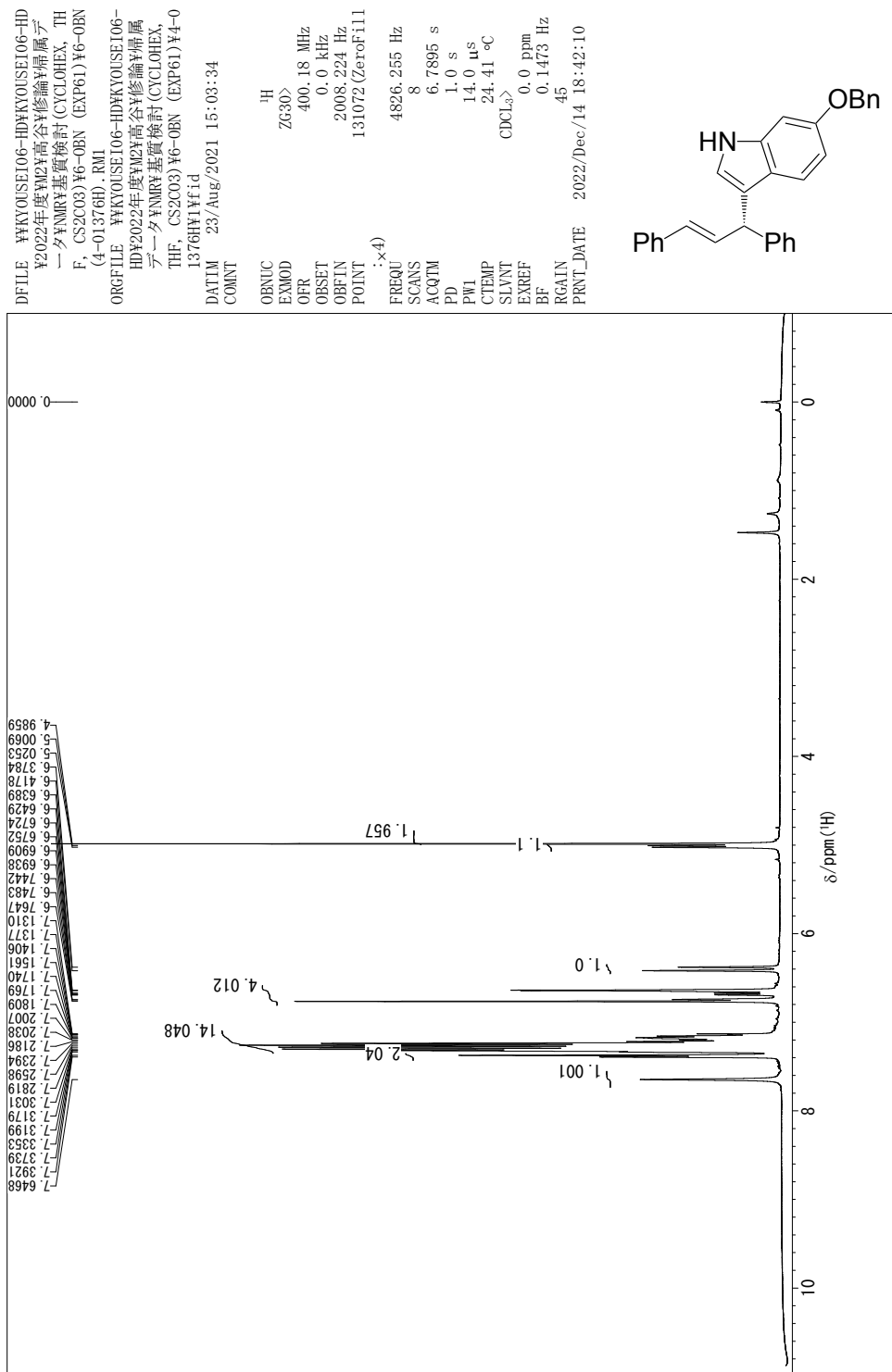
ユーザー名 3385
更新日時 2018/12/13 16:58:32
コメント IB, 0.9mL/min. Hex:EtOH=99:1
HPLC システム名 HPLC-2
測定日 2018/12/13 14:57:20
注入量 1.00 [μ L]
サンプル# 1
プロジェクト名 2015system2
取込時間 180.0 [min]
測定シーケンス 2.46415 yamaguchi
コントロールメソッド 2009system2_600min_2
ピーカドーピング 検量線テーブル
検量線テーブル 追加情報

チャンネル情報+ピーク情報

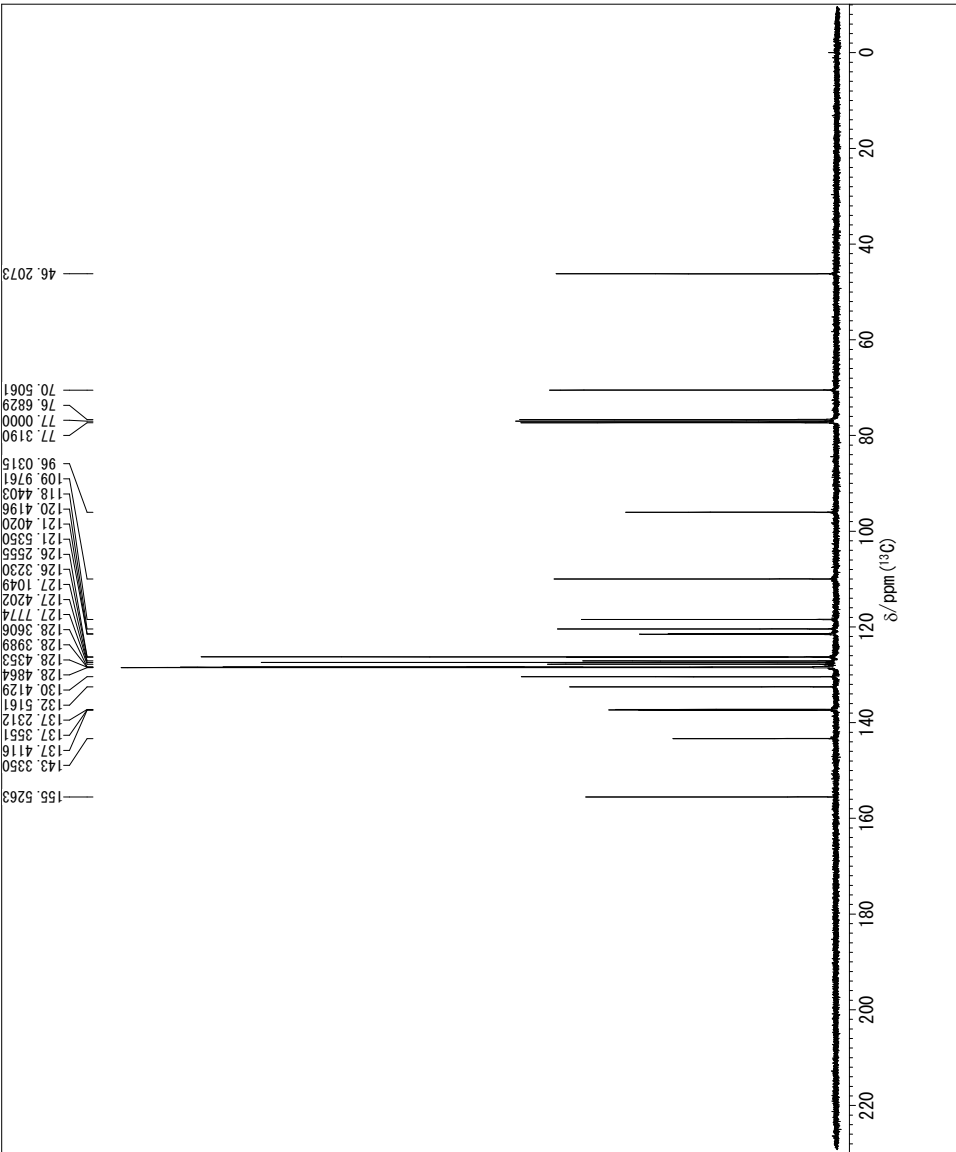
クロマトグラム名 6-OMerac-CH2
サンプル名 CD-2095-UV
チャンネル名 500 [msec]
サンプリング間隔 (マイクロ)
波形処理メソッド

#	ピーク名	CH	tR [min]	area [μ V·sec]	area%	height [μ V]	height%
1	Unknown	2	72.967	1784256	49.968	18190	52.301
2	Unknown	2	80.117	1786517	50.032	16589	47.699

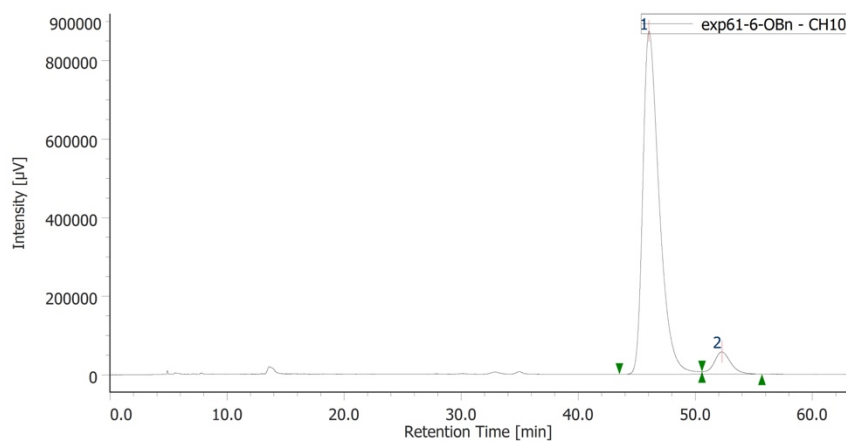
¹H and ¹³C NMR, and chiral phase HPLC chart of (S)-4f



DFILE KYOUSEI06-HDKYOUSEI06-HD
 ¥2022年度高谷修論¥属元
 ダNMR基質検討(CYCLOHEX, TH
 F, CS2CO3)¥6-OBN (EXP61)¥4-013
 76CYKfid
 ORGFILE KYOUSEI06-HDKYOUSEI06-
 HD¥2022年度¥マ24高谷修論¥属
 デーダNMR基質検討(CYCLOHEX,
 THF, CS2CO3)¥6-OBN (EXP61)¥4-0
 1376CF1Wfid
 DATIM 23/Aug/2021 16:18:30
 COMNT



クロマトグラム



クロマトグラム情報

ユーザー名 3385
更新日時 2023/01/26 17:31:10
コメント IA, 0.7 mL/min, Hex:EtOH=98:2, UV=254nm, CD=254nm
HPLC システム名 HPLC-2
測定日 2023/01/26 16:07:07
注入量 1.00 [μL]
サンプル# 1
プロジェクト名 2022system2
取込時間 600.0 [min]
測定シーンス 2-466703 takaya
コントロールメソッド 2009system2_600min_2
ピークIDテーブル
検量線テーブル
追加情報

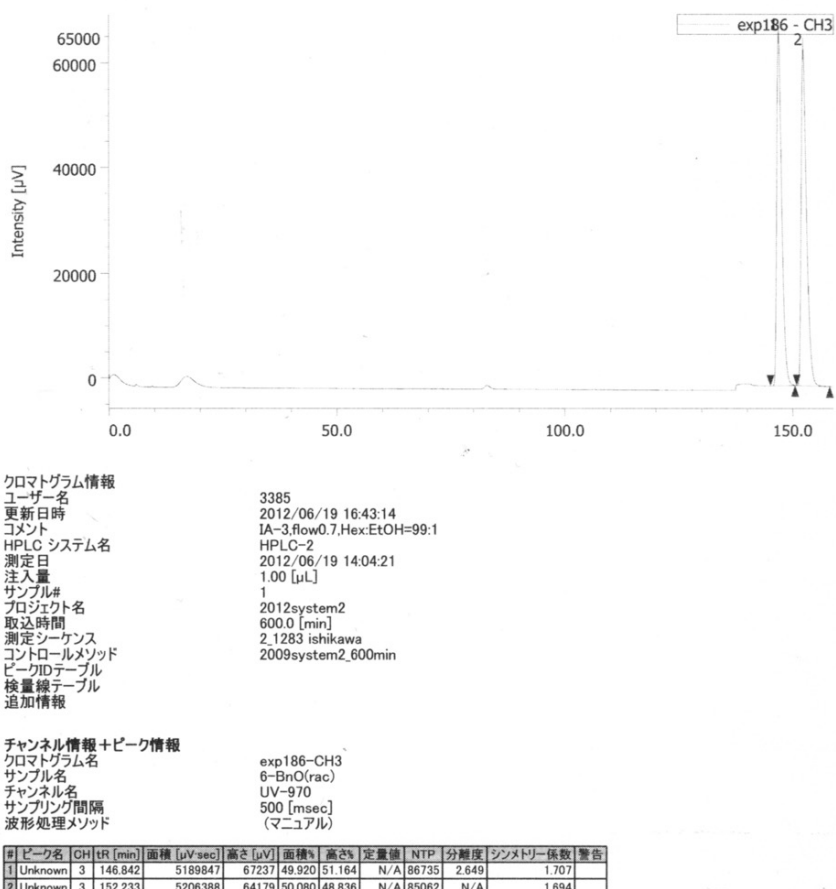
チャンネル情報+ピーク情報

クロマトグラム名 exp61-6-OBn-CH10
サンプル名
チャンネル名 254.0nm
サンプリング間隔 100 [nsec]
(マニュアル)
波形処理メソッド

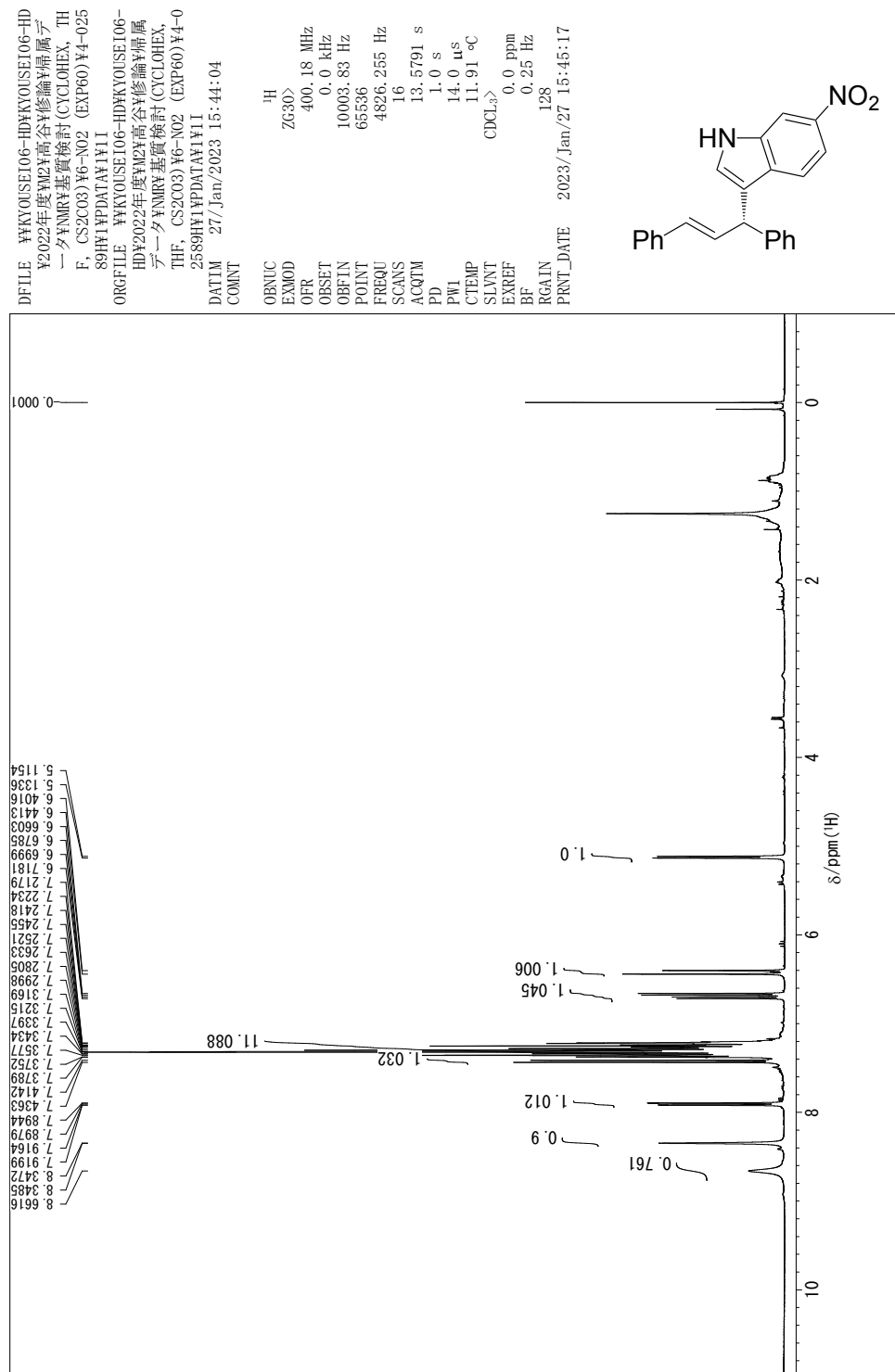
#	ピーク名	CH	tR [min]	area [μV·sec]	area%	height [μV]	height%
1	Unknown	10	46.027	85068244	93.737	872995	93.880
2	Unknown	10	52.272	5683602	6.263	56906	6.120

Chiral phase HPLC chart of (\pm)-4f

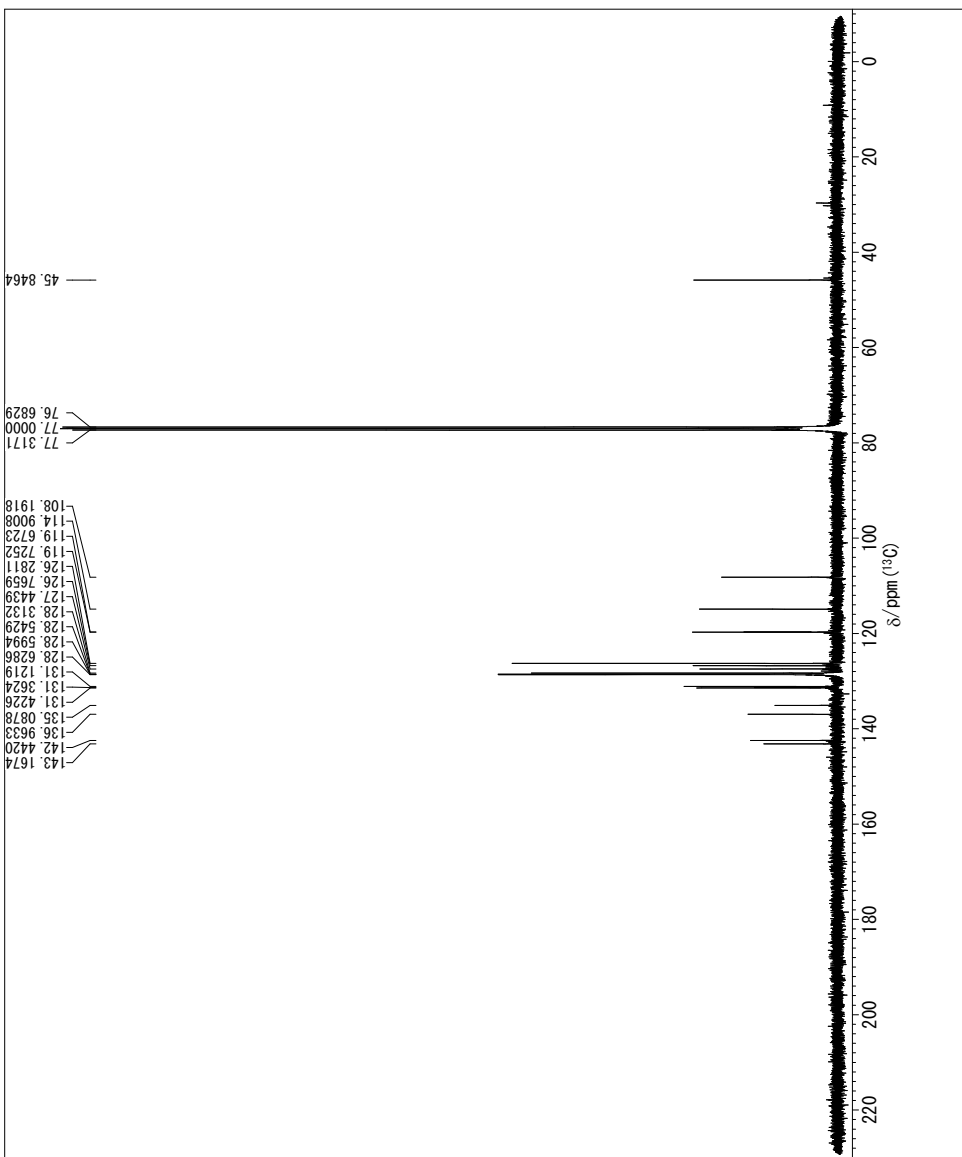
クロマトグラム



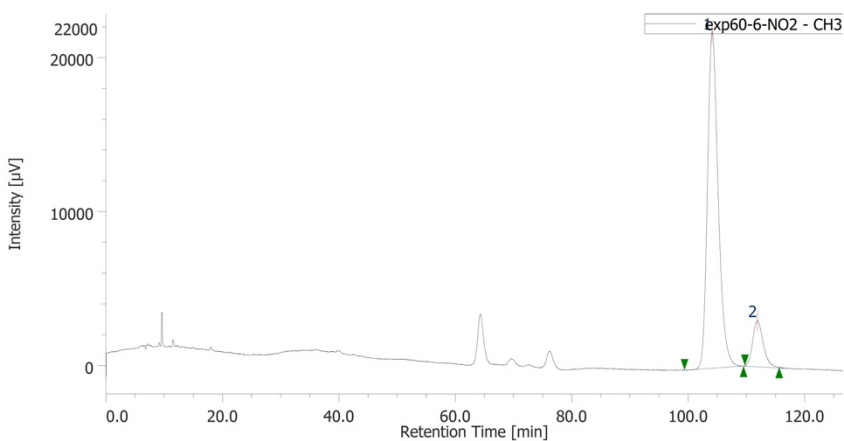
¹H and ¹³C NMR, and chiral phase HPLC chart of (S)-4g



DFILE KYOUSEI06-HDKYOUSEI06-HD
 ¥2022年度YMC高谷修論¥属元
 ダYMR基質検討(CYCLOHEX, TH
 F, CS2C03)¥6-N02 (EXP60)¥4-025
 75CYKfid
 ORGFILE KYOUSEI06-HD KYOUSEI06-
 HD¥2022年度YMC高谷修論¥属元
 ダYMR基質検討(CYCLOHEX,
 THF, CS2C03)¥6-N02 (EXP60)¥4-0
 2575CYKfid
 DATIM 23/Jan/2023 14:20:05
 COMNT
 OBNUC ¹³C
 EXMOD ZGP30>
 OFR 100.63 MHz
 OBSET 0.0 kHz
 OBFIN 11066.5 Hz
 POINT 131072[ZeroofFit]
 ;
 :x4)
 FREQU 24038.46 Hz
 SCANS 512
 ACQTM 1.3631 s
 PD 2.0 s
 PW1 10.0 μ s
 CTEMP 15.21 °C
 SLVNT CDCl₃>
 EXREF 77.0 ppm
 BF 0.7336 Hz
 RGAIN 203
 PRNT_DATE 2023/Jan/23 18:02:15



クロマトグラム



クロマトグラム情報

ユーザー名 3385
更新日時 2023/01/24 20:23:32
コメント IA-3, 0.5 mL/min, Hex:EtOH=98:2, UV 254 nm, CD 254 nm
HPLC システム名 HPLC-1
測定日 2023/01/24 18:16:56
注入量 1.00 [μ L]
サンプル# 1
プロジェクト名 2022system1
取込時間 180.0 [min]
測定シーンス 1-2277 takaya
コントロールメソッド system1_2017
ピークIDテーブル
検量線テーブル
追加情報

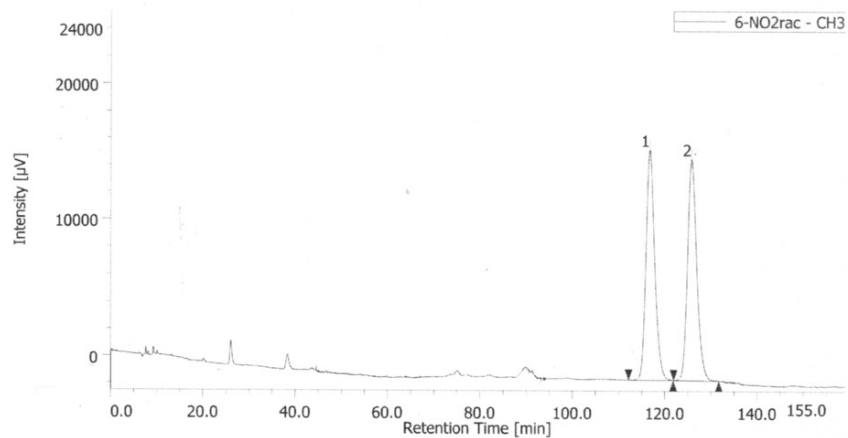
チャンネル情報+ピーク情報

クロマトグラム名 exp60-6-NO2-CH3
サンプル名
チャンネル名 UV-2075
サンプリング間隔 500 [nsec]
(マニュアル)
波形処理メソッド

#	ピーク名	CH	tR [min]	面積	[μ V·sec]	高さ	[μ V]	面積%	高さ%
1	Unknown	3	104.108	2797103	21886	88.1	88.0		
2	Unknown	3	111.883	379126	2998	11.9	12.0		

Chiral phase HPLC chart of (\pm)-4g

クロマトグラム



クロマトグラム情報

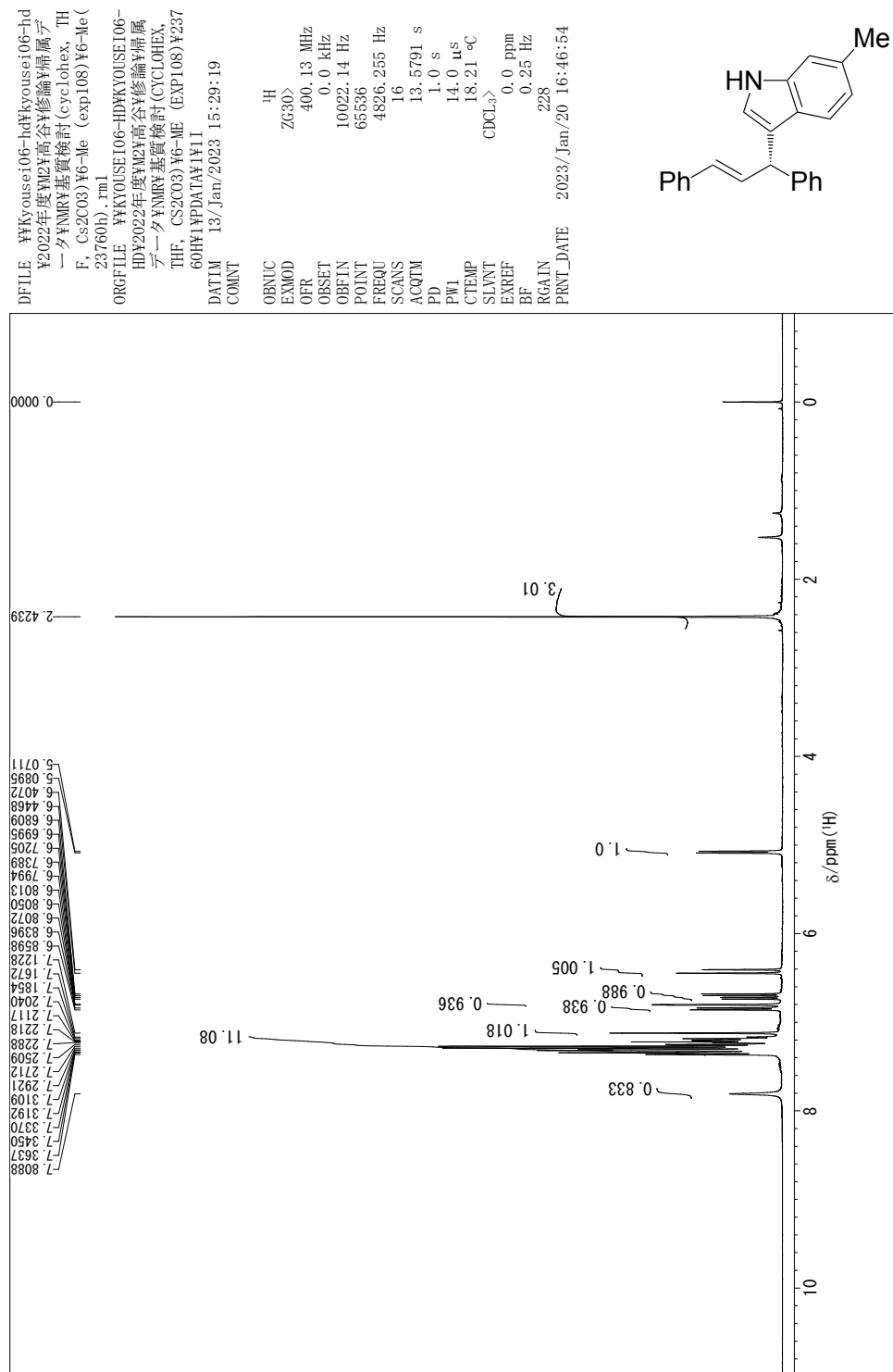
ユーザー名 3385
更新日時 2018/11/16 14:18:22
コメント IA-3, 0.5 mL/min, Hex:EtOH=98.2, UV 254 nm, CD 254 nm
HPLC システム名 HPLC-1
測定日 2018/11/16 11:39:25
注入量 1.00 [μL]
サンプル# 1
プロジェクト名 2017system1
取込時間 180.0 [min]
測定シーケンス 1_5689_yamaguchi
コントロールメソッド system1_2017
ピークIDテーブル
検量線テーブル
追加情報

チャンネル情報+ピーク情報

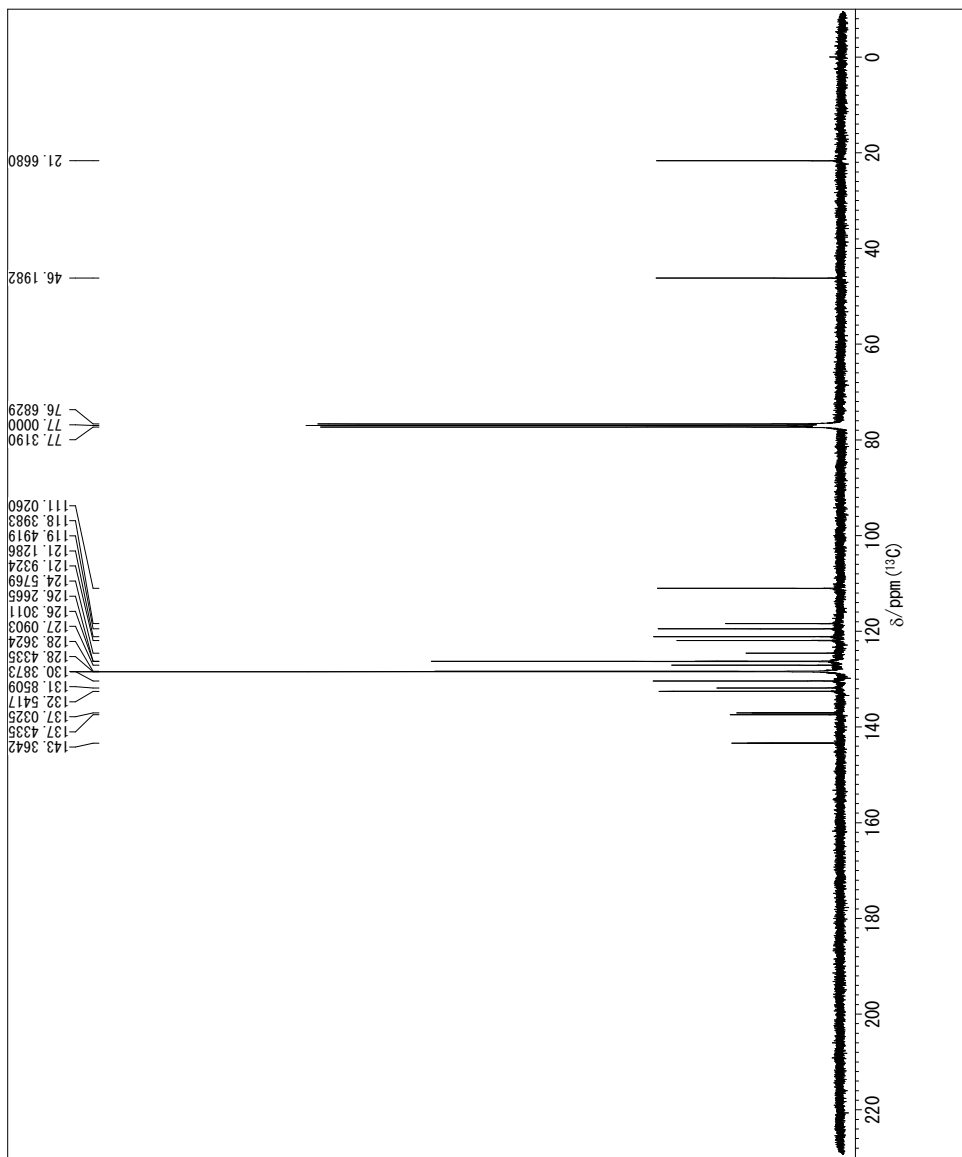
クロマトグラム名 6-NO₂rac-CH3
サンプル名
チャンネル名 UV-2075
サンプリング間隔 500 [msec]
(マニュアル)

#	ピーク名	CH	tR [min]	面積 [μV·sec]	高さ [μV]	面積%	高さ%	定量値	NTP	分離度	シンメトリ−係数	警告
1	Unknown	3	116.658	2275456	16872	50.133	51.006	N/A	18258	2.595	1.265	
2	Unknown	3	125.742	2263396	16207	49.867	48.994	N/A	19883	N/A	1.252	
Total				4538852	33079			0.00000				

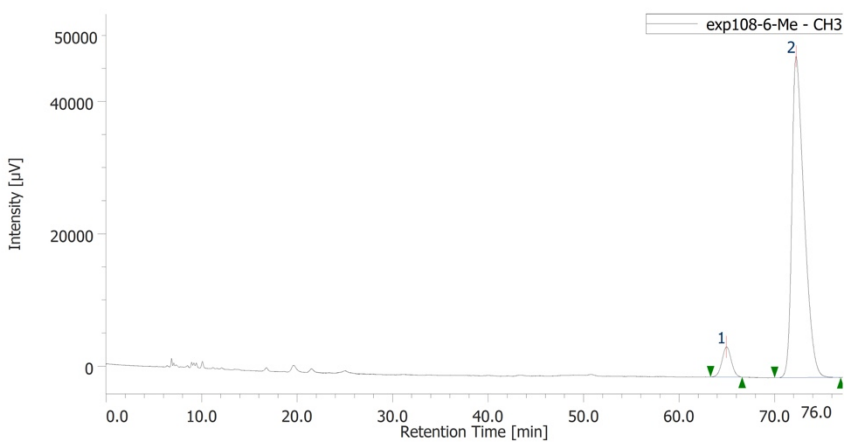
¹H and ¹³C NMR, and chiral phase HPLC chart of (S)-4h



DFILE キャリブレーション用
 HD
 ¥2022年度YMC高谷修論文属元
 ダNMR基質検討(CYCLOHEX, TH
 F, CS2CO3)¥6-ME (EXP108)¥4-025
 45CYKfid
 ORGFILE キャリブレーション用
 HD¥2022年度YMC高谷修論文属元
 ダNMR基質検討(CYCLOHEX,
 THF, CS2CO3)¥6-ME (EXP108)¥4-0
 2545CYKfid
 DATIM 16/Jan/2023 15:23:02
 COMNT
 OBNUC ¹³C
 EXMOD ZGP30>
 OFR 100.63 MHz
 OBSET 0.0 kHz
 OBFIN 11066.5 Hz
 POINT 131072[ZeroofFit]
 ;
 :x4)
 FREQU 24038.46 Hz
 SCANS 512
 ACQTM 1.3631 s
 PD 2.0 s
 PW1 10.0 μs
 CTEMP 15.51 °C
 SLVNT CDCl₃>
 EXREF 77.0 ppm
 BF 0.7336 Hz
 RGAIN 203
 PRNT_DATE 2023/Jan/16 15:50:52



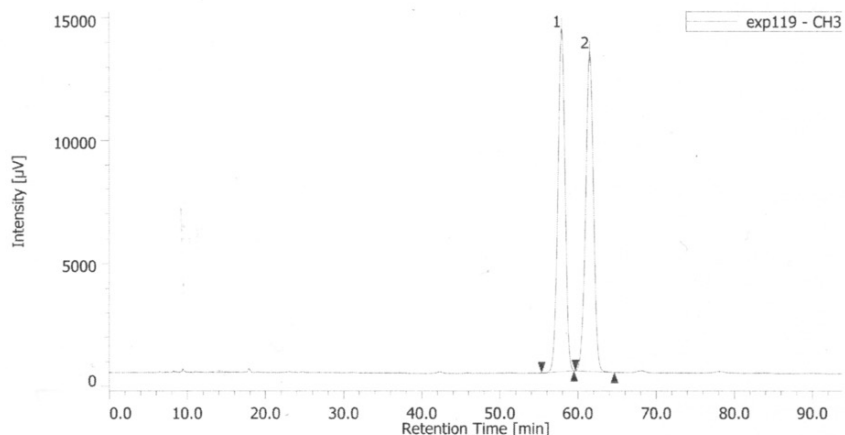
クロマトグラム



チャンネル情報+ピーク情報	
クロマトグラム名	exp108-6-Me-CH3
サンプル名	
チャンネル名	UV-2075
サンプリング間隔	500 [nsec]
波形処理メソッド	(マニュアル)
#	ピーク名 CH tR [min] 面積 [μV·sec] 高さ [μV] 面積% 高さ%
1	Unknown 3 64.942 309337 4529 6.69 8.54
2	Unknown 3 72.225 4314196 48523 93.3 91.5

Chiral phase HPLC chart of (\pm)-4h

クロマトグラム



クロマトグラム情報

ユーザー名 3385
更新日時 2011/10/13 15:44:46
コメント IB_flow0.5.Hex:EtOH=99:1
HPLC システム名 HPLC-1
測定日 2011/10/13 14:10:56
注入量 1.00 [μ L]
サンプル# 1
プロジェクト名 2009system1
取込時間 600.0 [min]
測定シーケンス 1.0937_ishikawa
コントロールメソッド 2009system1_温度制御なし_600min
ピークIDテーブル
検量線テーブル
追加情報

チャンネル情報+ピーク情報

クロマトグラム名 exp119-CH3

サンプル名

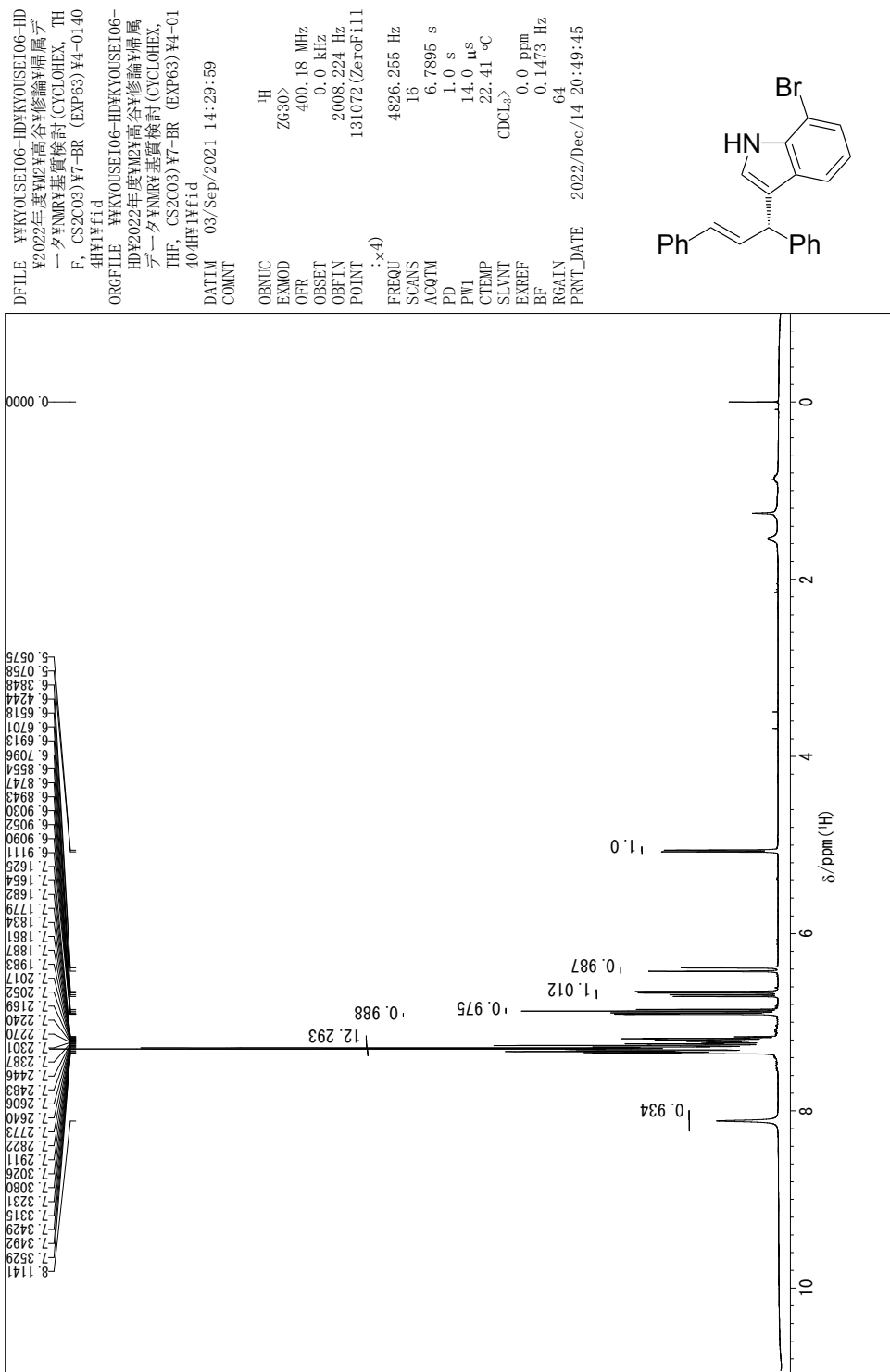
チャンネル名 UV-2075

サンプリング間隔 500 [msec]

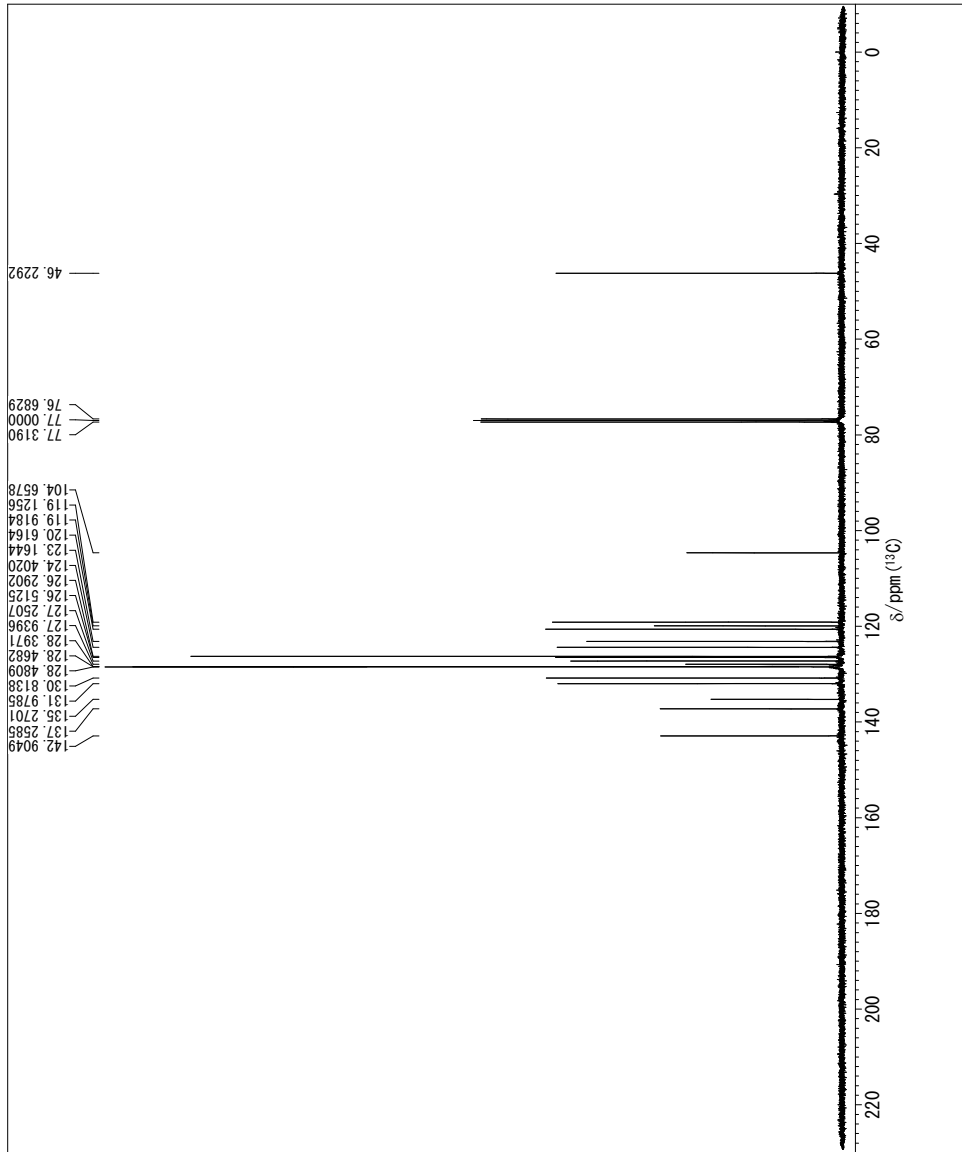
波形処理メソッド (マニュアル)

#	ピーク名	CH	tR [min]	面積 [μV·sec]	高さ [μV]	面積%	高さ%	定量値	NTP	分離度	シグモドリ一係数	警告
1	Unknown	3	57.892	900295	13939	49.962	51.774	N/A	18789	2.056	0.946	
2	Unknown	3	61.483	901662	12984	50.038	48.226	N/A	18401	N/A	0.960	

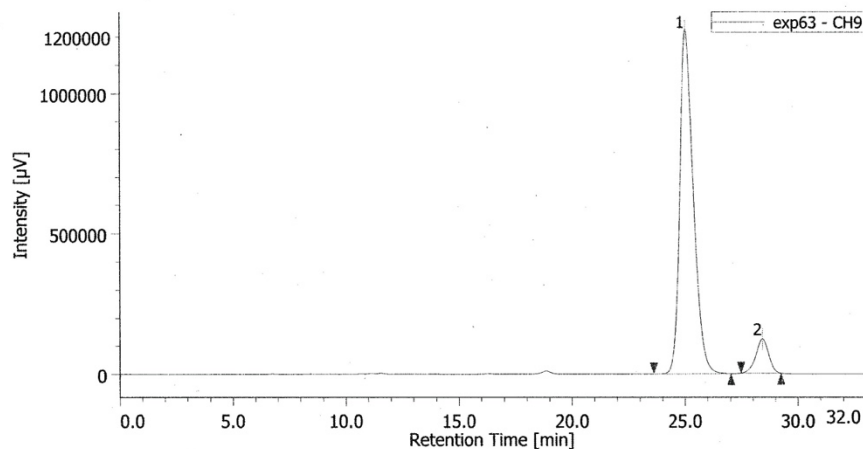
¹H and ¹³C NMR, and chiral phase HPLC chart of (S)-4i



DFILE KYOUSEI06-HDKYOUSEI06-HD
 ¥2022年度高谷修論基質試験(CYCLOHEX, TH
 F, CS2C03)¥7-BR (EXP63)¥4-0140
 4CHWfid
 ORGFILE KYOUSEI06-HD KYOUSEI06-HD
 ¥2022年度ヤマツ高谷修論基質試験(CYCLOHEX,
 THF, CS2C03)¥7-BR (EXP63)¥4-01
 404CHWfid
 DATIM 03/Sep/2021 15:43:00
 COMNT
 OBNUC ¹³C
 EXMOD ZGP30>
 OFR 100.63 MHz
 OBSET 0.0 kHz
 OBFIN 11066.5 Hz
 POINT 131072[ZeroFi11
 ;:x4)
 FREQU 24038.46 Hz
 SCANS 256
 ACQTM 1.3631 s
 PD 2.0 s
 PW1 10.0 μ s
 CTEMP 23.31 °C
 SLVNT CDCl₃>
 EXREF 77.0 ppm
 BF 0.7336 Hz
 RGAIN 203
 PRNT_DATE 2022/Dec/14 20:54:27



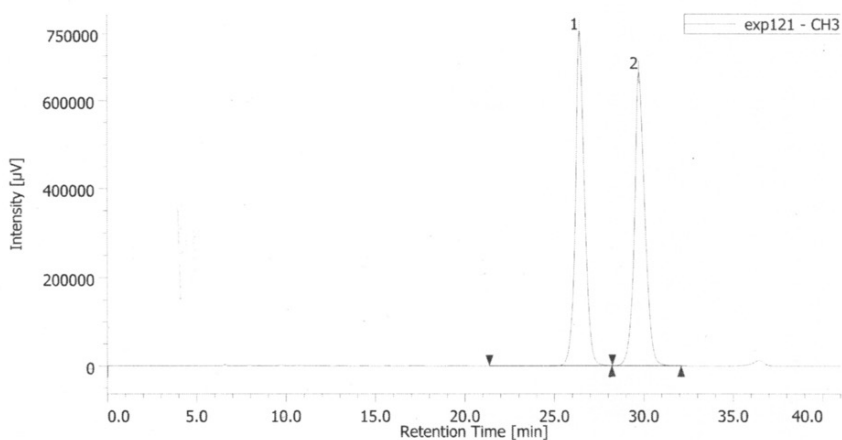
クロマトグラム



チャンネル情報+ピーク情報						
クロマトグラム名 exp63-CH9						
サンプル名	254.0nm	チャンネル名	200 [msec]			
サンプリング間隔	(マニュアル)					
波形処理メソッド						
#	ピーク名	CH	tR [min]	Area [μV·sec]	Height [μV]	Area%
1	Unknown	9	25.02	50897594	1224564	91.381
2	Unknown	9	28.40	4800862	122174	8.619
						9.072

Chiral phase HPLC chart of (\pm)-4i

クロマトグラム



クロマトグラム情報

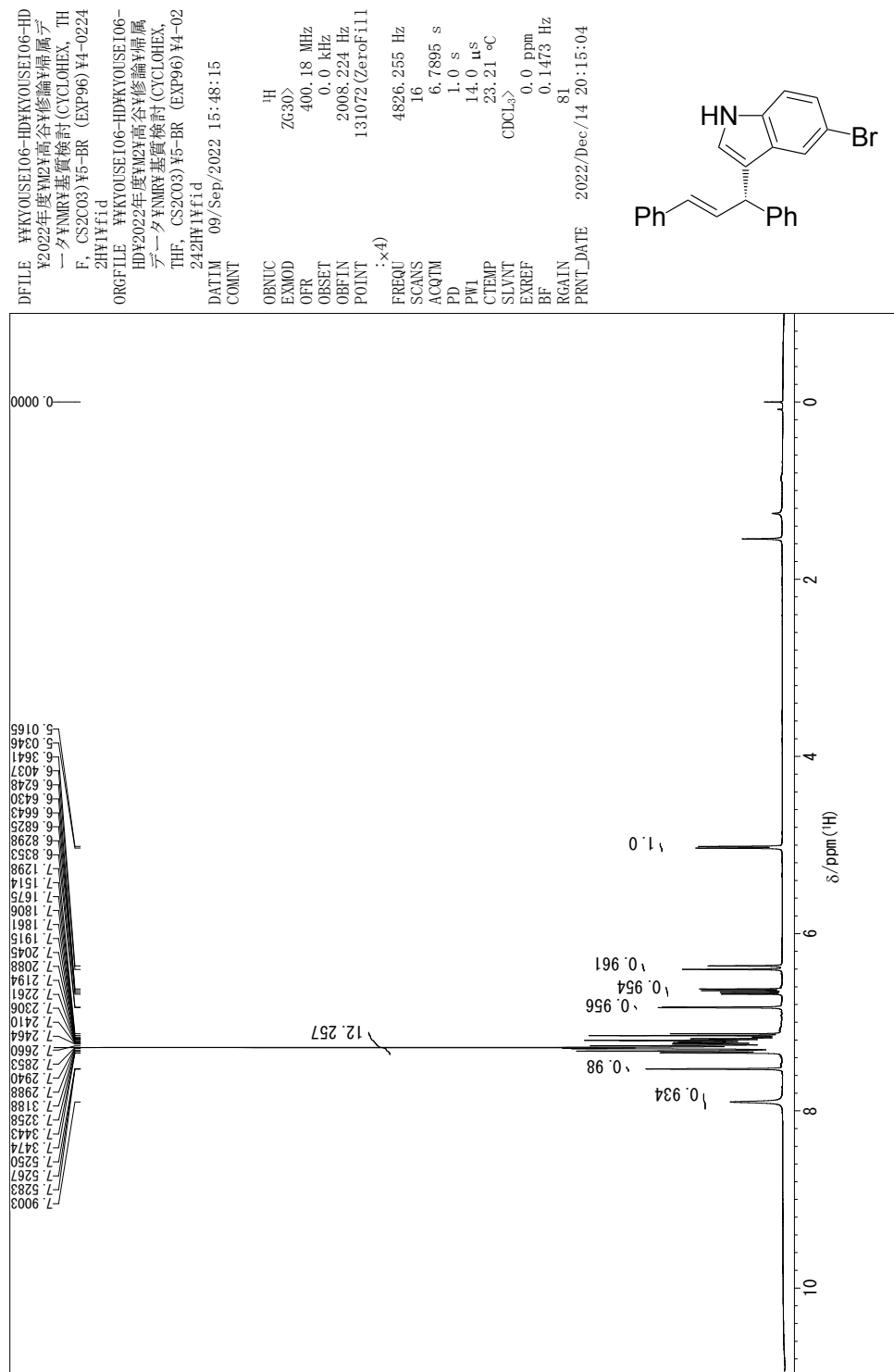
ユーザー名 3385
更新日時 2018/10/22 18:24:29
コメント IB, 0.7 mL/min, Hex:EtOH=99:1, UV 254 nm, CD 254 nm
HPLC システム名 HPLC-1
測定日 2018/10/22 17:43:24
注入量 1.00 [μ L]
サンプル# 1
プロジェクト名 2017system1
取込時間 180.0 [min]
測定シーケンス 1_5644_yamaguchi
コントロールメソッド system1_2017
ピークIDテーブル
検量線テーブル
追加情報

チャンネル情報+ピーク情報

クロマトグラム名 exp121-CH3
サンプル名
チャンネル名 UV-2075
サンプリング間隔 500 [msec]
波形処理メソッド (マニュアル)

#	ピーク名	CH	tR [min]	面積 [μV·sec]	高さ [μV]	面積%	高さ%	定量値	NTP	分離度	シンメトリー係数	警告
1	Unknown	3	26.392	26851159	754882	49.921	53.281	N/A	14765	3.570	1.108	
2	Unknown	3	29.708	26936048	661910	50.079	46.719	N/A	14279	N/A	1.124	

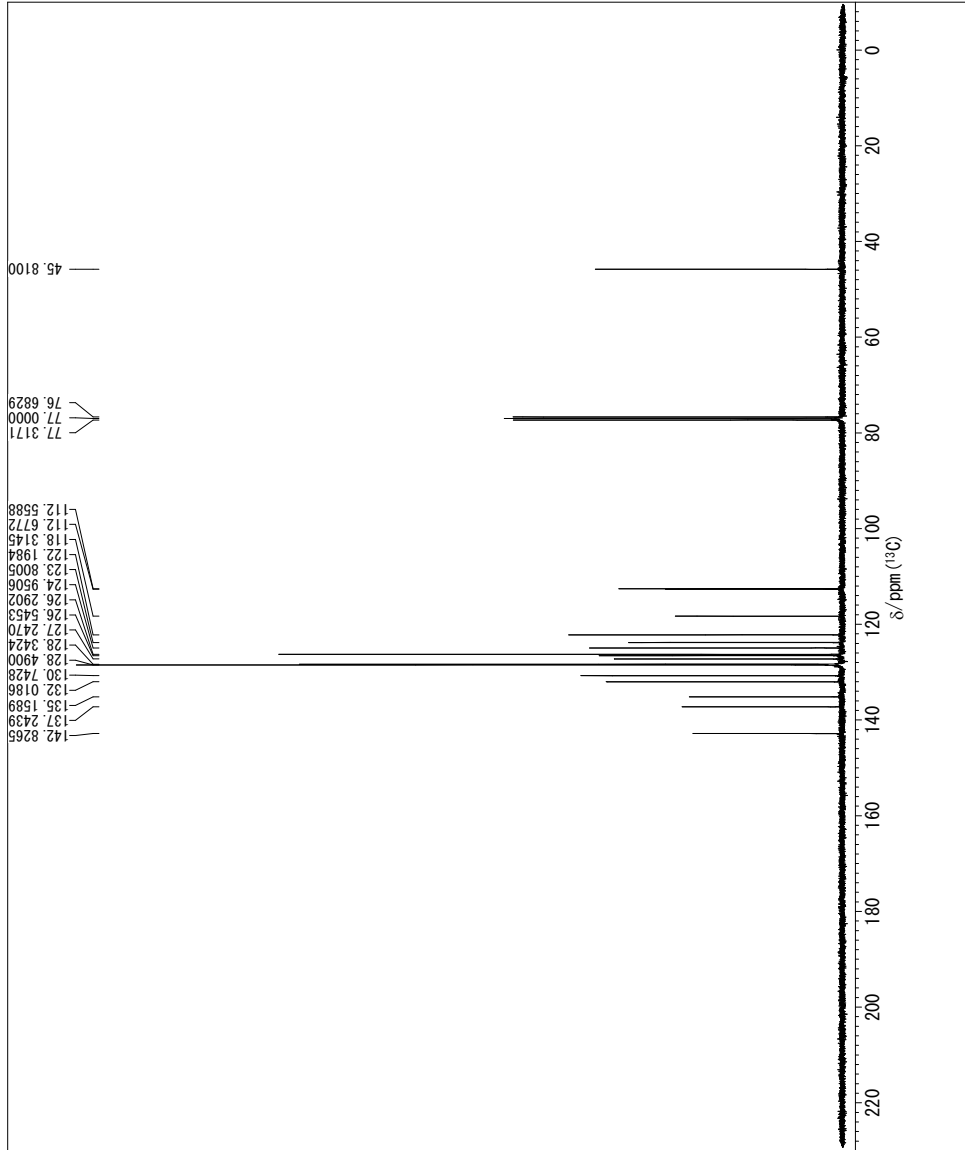
¹H and ¹³C NMR, and chiral phase HPLC chart of (S)-4j



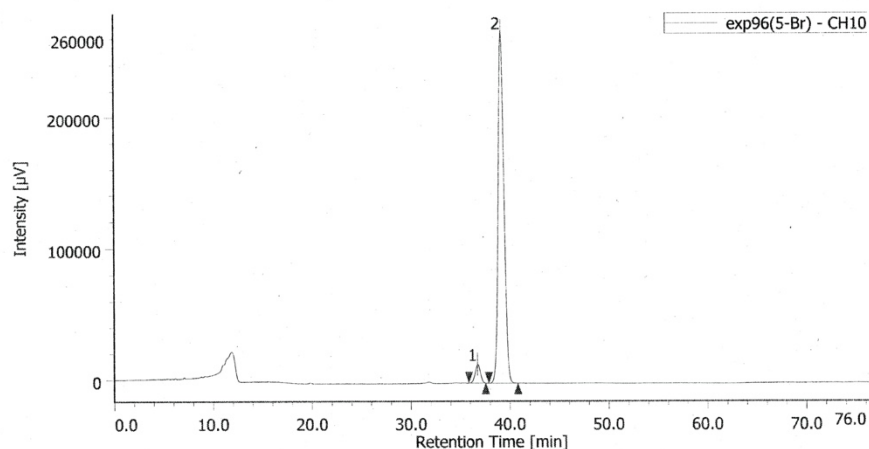
DFILE KYOUSEI06-HDKYOUSEI06-HD
 ¥2022年度高谷修論^フ属元
 一^フNMR基質検討(CYCLOHEX, TH
 F, CS2CO3) ¥5-BR (EXP96) Y4-0224
 2CHWfid
 ORGFILE KYOUSEI06-HD KYOUSEI06-HD
 ¥2022年度ヤマカ高谷修論^フ属元
 データ^フNMR基質検討(CYCLOHEX,
 THF, CS2CO3) ¥5-BR (EXP96) Y4-02
 2420Wfid
 DATIM 09/Sep/2022 16:05:20
 COMNT

OBNUC ¹³C
 EXMOD ZGP30>
 OFR 100.63 MHz
 OBSET 0.0 kHz
 OBFIN 11066.5 Hz
 POINT 131072[ZeroofFit]
 ;
 :x4)

FREQU 24038.46 Hz
 SCANS 256
 ACQTM 1.3631 s
 PD 2.0 s
 PW1 10.0 μ s
 CTEMP 24.11 °C
 SLVNT CDCl₃>
 EXREF 77.0 ppm
 BF 0.7336 Hz
 RGAIN 203
 PRNT_DATE 2022/Dec/14 20:20:59



クロマトグラム



クロマトグラム情報

ユーザー名 3385
更新日時 2022/09/12 17:59:02
コメント IB, 0.9 mL/min, Hex:EtOH=99:1, UV=254nm, CD=254nm
HPLC システム名 HPLC-2
測定日 2022/09/12 16:42:42
注入量 1.00 [μ L]
サンプル# 1
プロジェクト名 2022system2
取込時間 600.0 [min]
測定シーケンス 2-466679 takaya
コントロールメソッド 2009system2_600min_2
ピークIDテーブル
検量線テーブル
追加情報

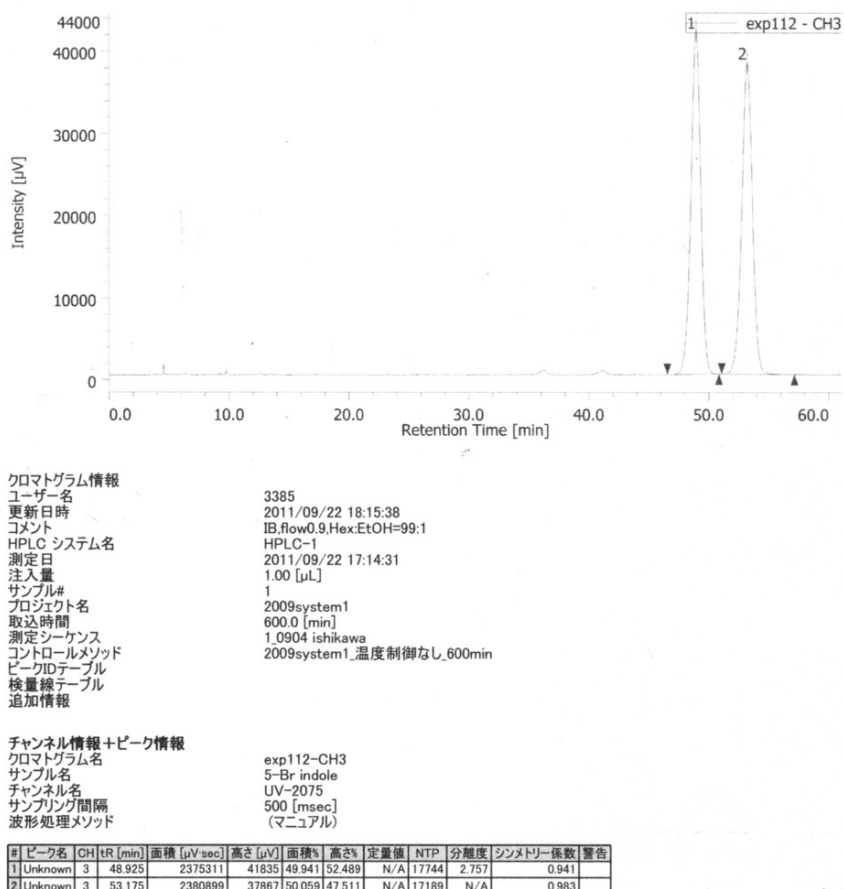
チャンネル情報+ピーク情報

クロマトグラム名 exp96(5-Br)-CH10
サンプル名
チャンネル名 254.0nm
サンプリング間隔 100 [msec]
(マニュアル)

#	ピーク名	CH	tR [min]	area [μ V·sec]	area%	height [μ V]	height%
1	Unknown	10	36.727	521487	4.539	14221	5.033
2	Unknown	10	39.153	10968171	95.461	268330	94.967

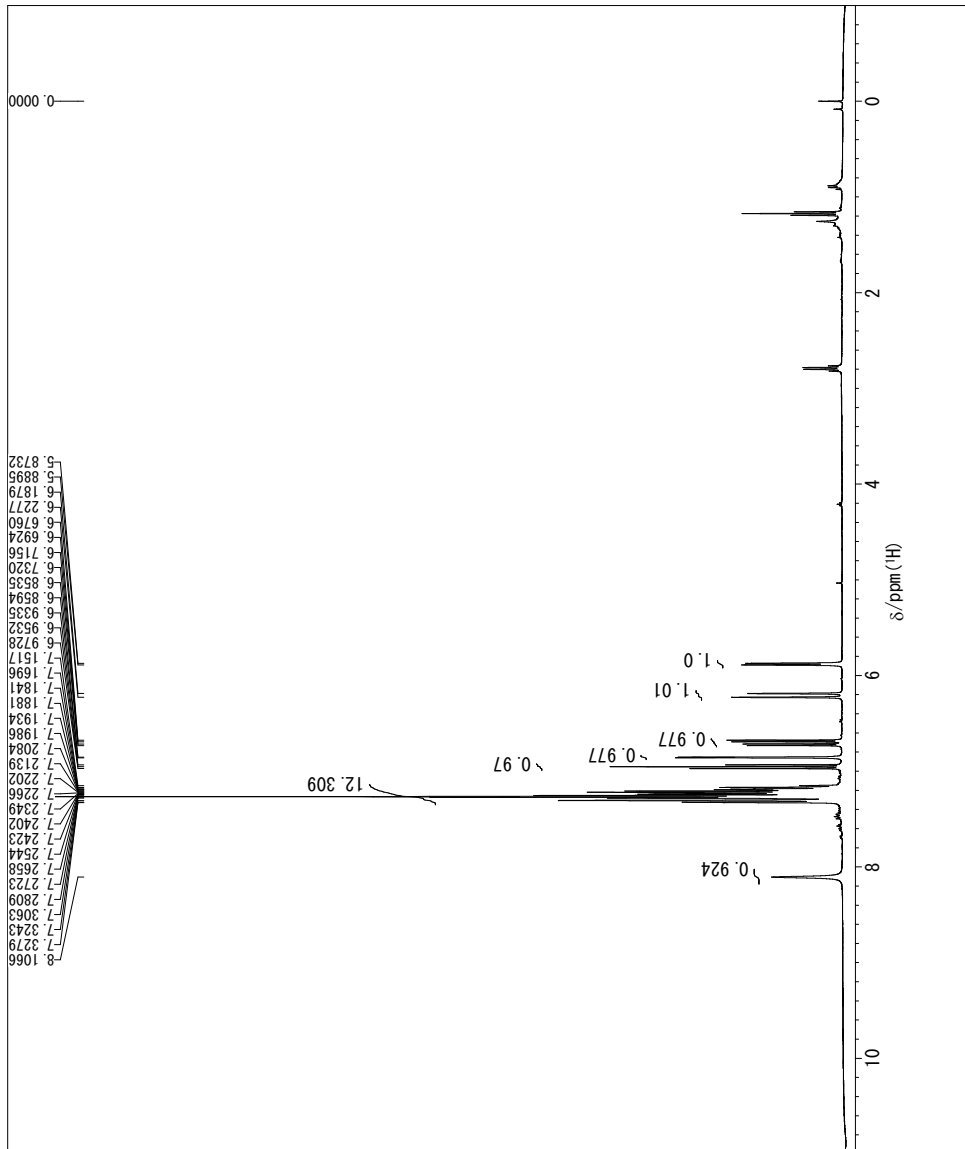
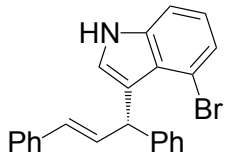
Chiral phase HPLC chart of (\pm)-4j

クロマトグラム

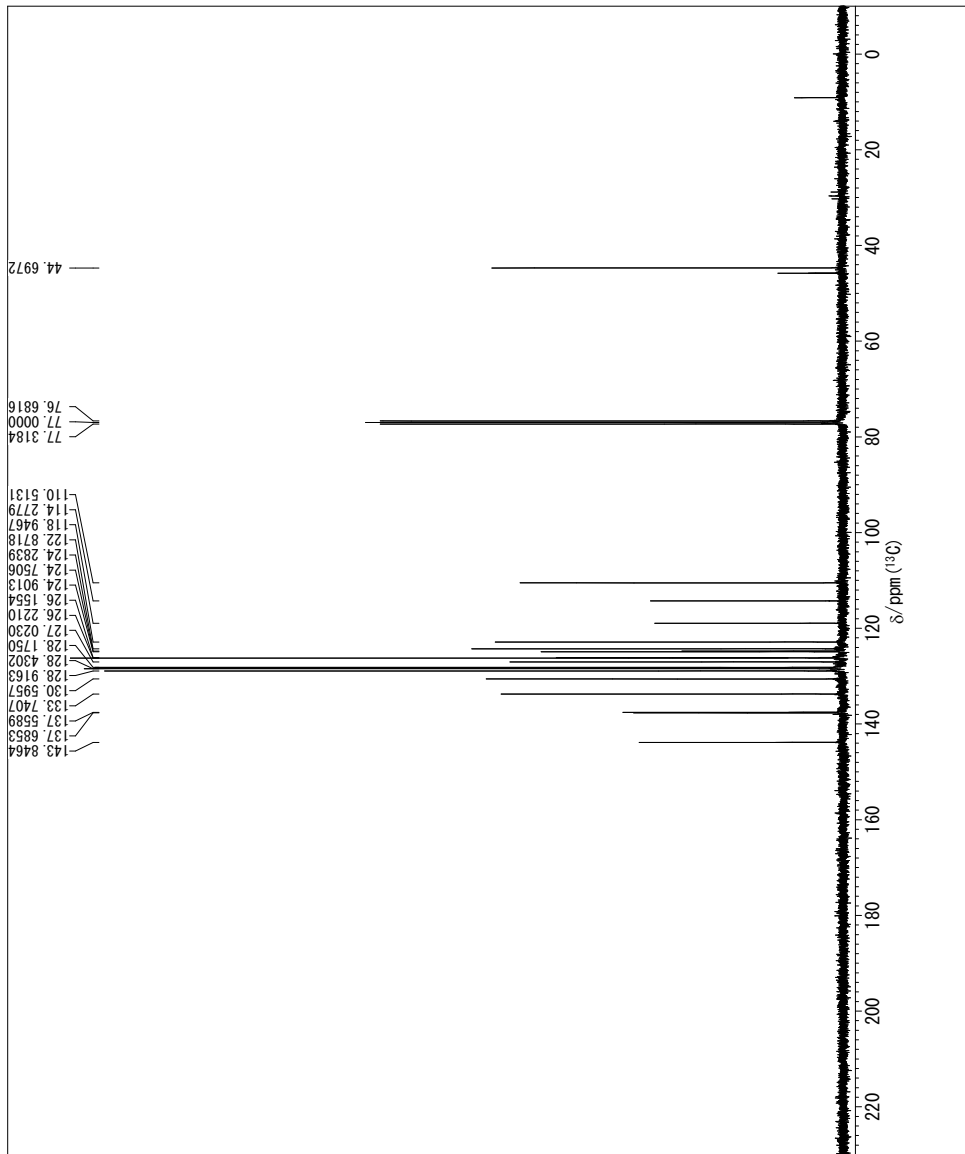


¹H and ¹³C NMR, and chiral phase HPLC chart of (*S*)-4k

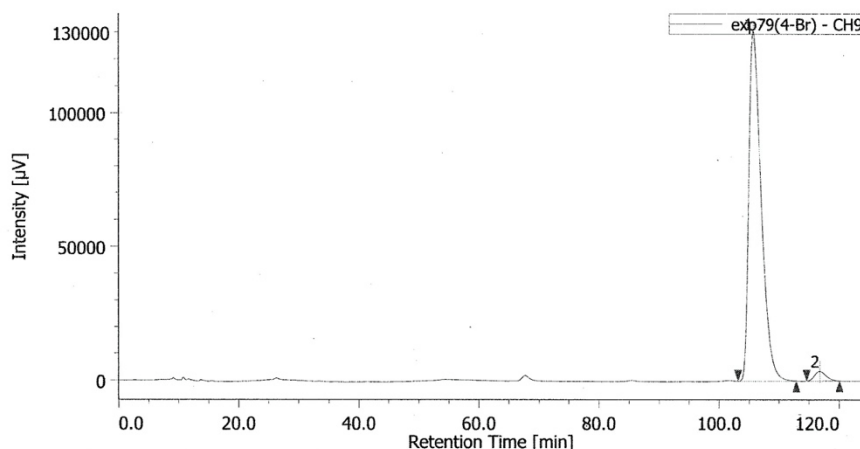
DFILE WKYOUSE106-HDKYOUSE106-HD
 ¥2022年度WNY2Y高令谷修論Y屋展デ
 一^アNMRY基質検討(CYCLOHEX, TH
 F, CS2C03)Y4-BR (EXP79)¥23652H
 WiFiid
 ORFILE WKYOUSE106-HDKYOUSE106-
 HD¥2022年度WNY2Y高令谷修論Y屋展
 デ^アNMRY基質検討(CYCLOHEX,
 THF, CS2C03)Y4-BR (EXP79)¥2365
 2H WiFiid
 DATIM 26/May/2022 18:53:32
 COMINT
 :>4)
 OBNUC
 EXMOD
 OFR
 OBSET
 OBF-IN
 POINT
 FREQU
 SCANS
 SCANS
 ACQTM
 PD
 PWL
 CTIMP
 SLVNT
 EXREF
 BFGAIN
 PRNT_DATE
 2022/Dec/14 20:32:52



DFILE KYOUSEI06-HDKYOUSEI06-HD
 ¥2022年度高谷修論基質試験(CYCLOHEX, TH
 F, CS2C03)¥4-BR (EXP79)¥23652C
 ¥Ffid
 ORGFILE KYOUSEI06-HD KYOUSEI06-
 HD¥2022年度¥A24高谷修論基質試験(CYCLOHEX,
 THF, CS2C03)¥4-BR (EXP79)¥2365
 2CF1Wfid
 DATIM 26/May/2022 19:08:28
 COMNT
 OBNUC ¹³C
 EXMOD ZGP30>
 OFR 100.61 MHz
 OBSET 0.0 kHz
 OBFIN 12705.91 Hz
 POINT 131072[ZeroofF1II]
 ;×4)
 FREQU 32051.28 Hz
 SCANS 256
 ACQTM 1.0224 s
 PD 2.0 s
 PW1 9.0 μs
 CTEMP 21.01 °C
 SLVNT CDCl₃>
 EXREF 77.0 ppm
 BF 0.9781 Hz
 RGAIN 2050
 PRNT_DATE 2022/Dec/14 20:41:15

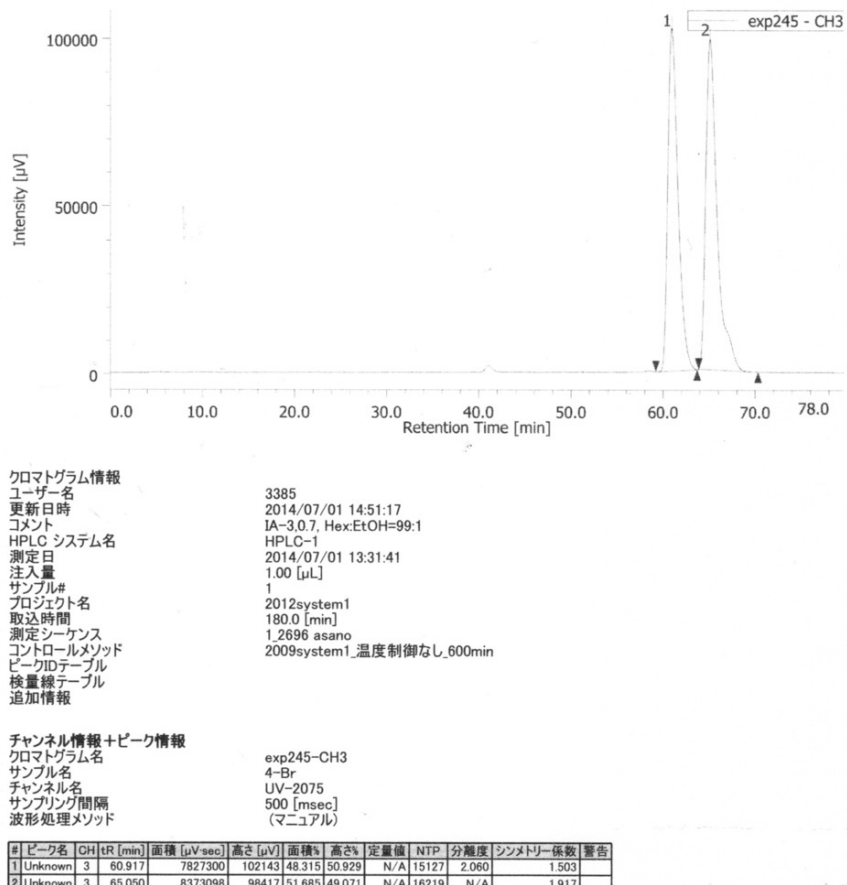


クロマトグラム

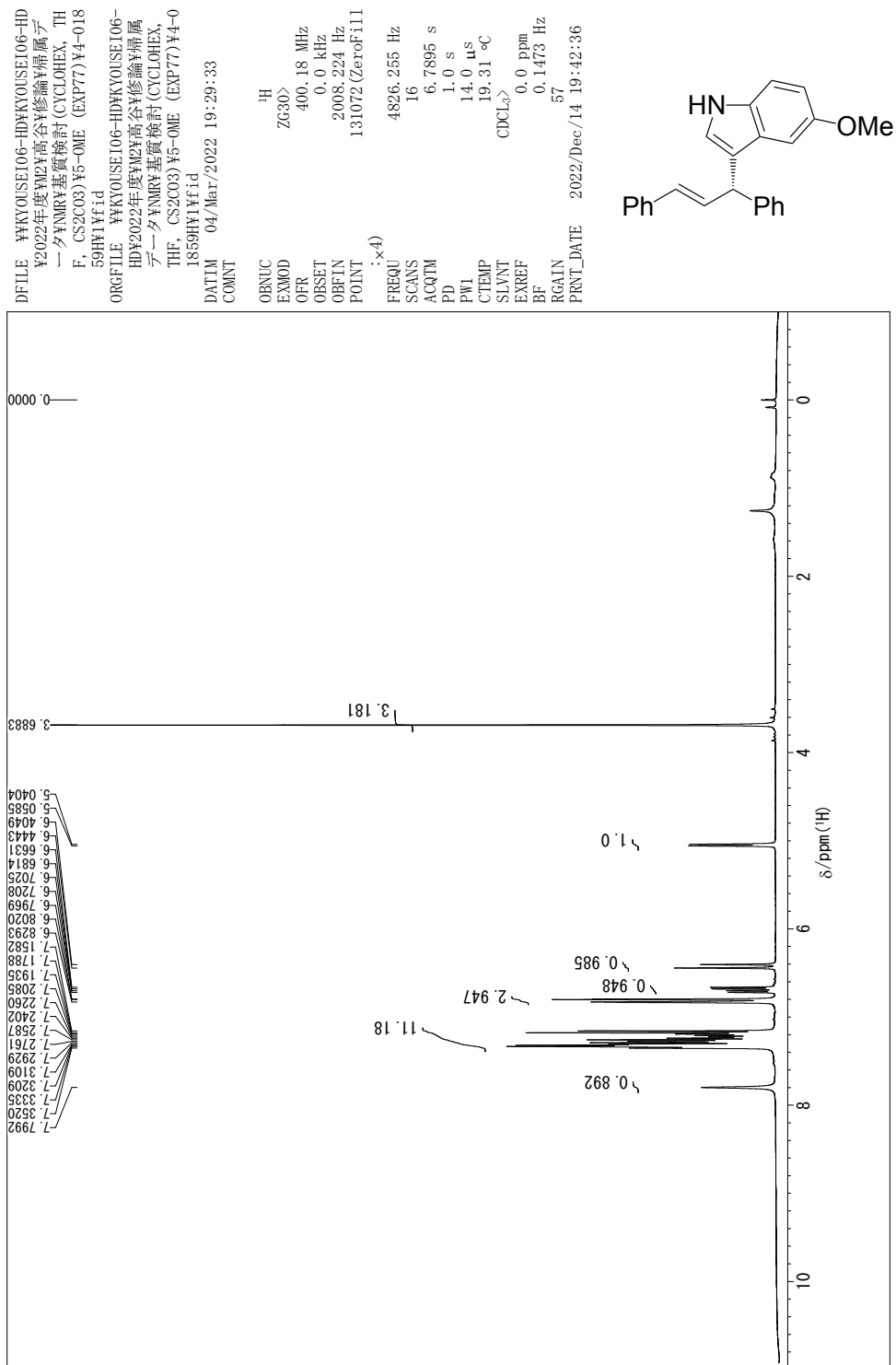


Chiral phase HPLC chart of (\pm)-4k

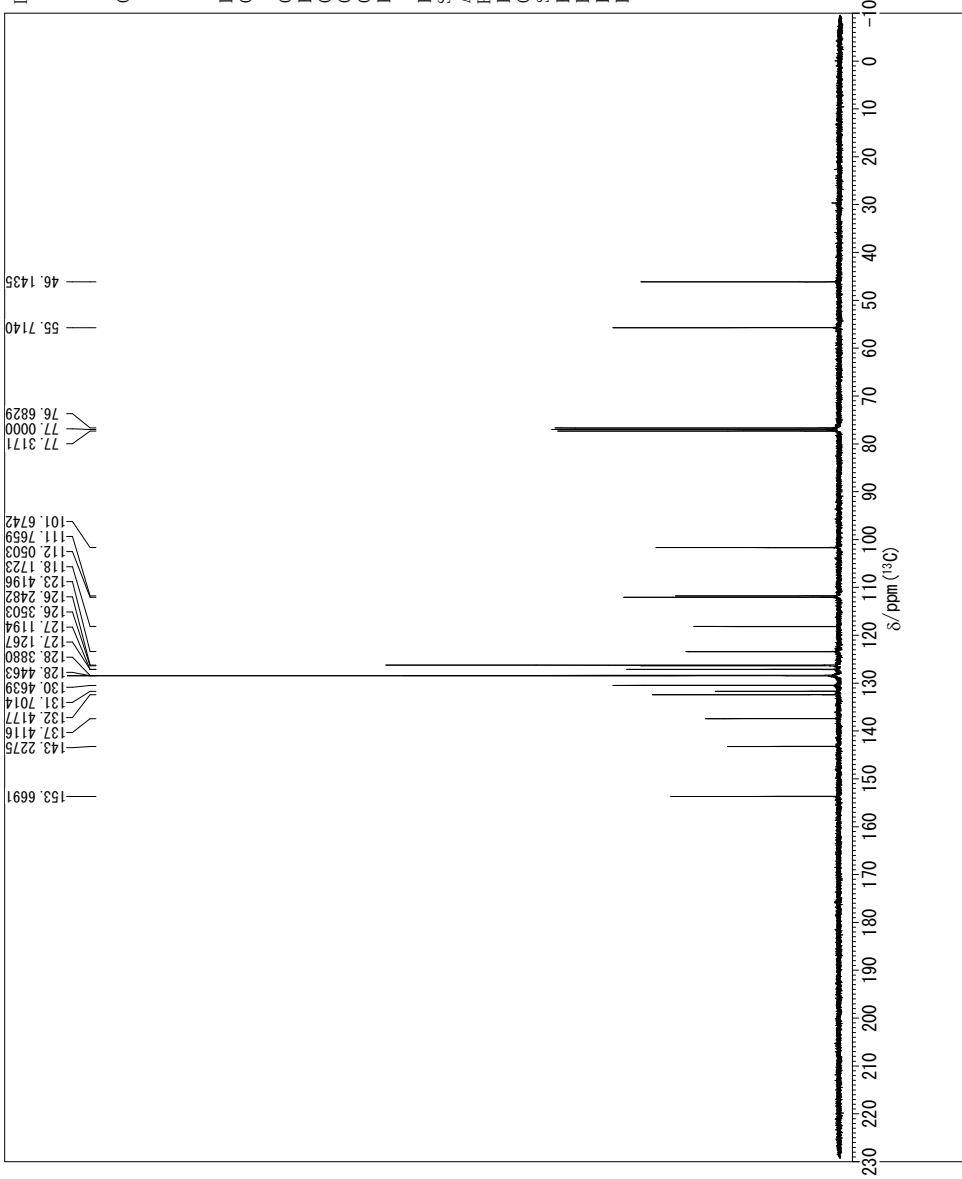
クロマトグラム



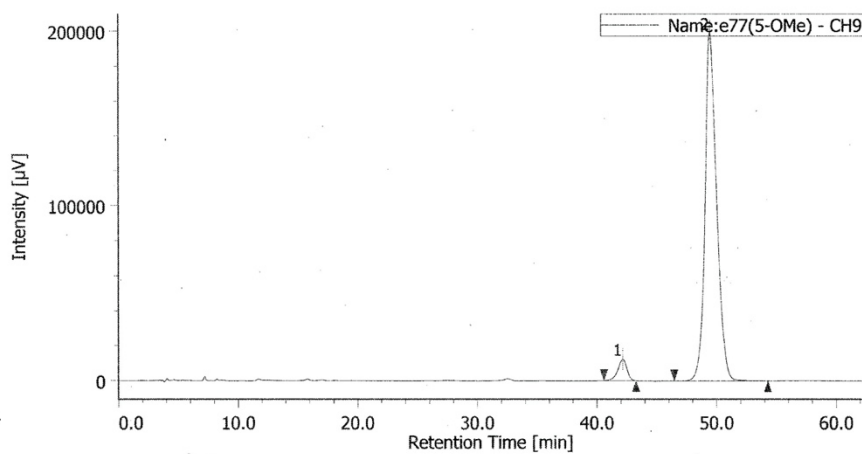
¹H and ¹³C NMR, and chiral phase HPLC chart of (S)-4l



DFILE KYOUSEI06-HDKYOUSEI06-HD
 ¥2022年度YMC高谷修論Y属元
 一タYMR基質検討(CYCLOHEX, TH
 F, CS2C03)¥5-OME (EXP77)¥4-018
 59CYKfid
 ORGFILE KYOUSEI06-HD KYOUSEI06-
 HD¥2022年度YMC高谷修論Y属元
 一タYMR基質検討(CYCLOHEX,
 THF, CS2C03)¥5-OME (EXP77)¥4-0
 1859CYKfid
 DATIM 04/Mar/2022 19:45:08
 COMNT
 OBNUC ¹³C
 EXMOD ZGP30>
 OFR 100.63 MHz
 OBSET 0.0 kHz
 OBFIN 11066.5 Hz
 POINT 131072[ZeroofFit]
 ;
 :x4)
 FREQU 24038.46 Hz
 SCANS 256
 ACQTM 1.3631 s
 PD 2.0 s
 PW1 10.0 μ s
 CTEMP 20.11 °C
 SLVNT CDCl₃>
 EXREF 77.0 ppm
 BF 0.7336 Hz
 RGAIN 203
 PRNT_DATE 2022/Dec/14 19:50:21



クロマトグラム



クロマトグラム情報

ユーザー名 3385
更新日時 2022/03/07 17:22:25
コメント IB:0.9ml/min,Hex:EtOH=99:1
HPLC システム名 HPLC-2
測定日 2022/03/07 15:21:32
注入量 1.00 [μ L]
サンプル# 1
プロジェクト名 2019system2
取込時間 180.0 [min]
測定シーケンス 2_466666 takaya
コントロールメソッド system2_2019
ピークIDテーブル 検量線テーブル
追加情報

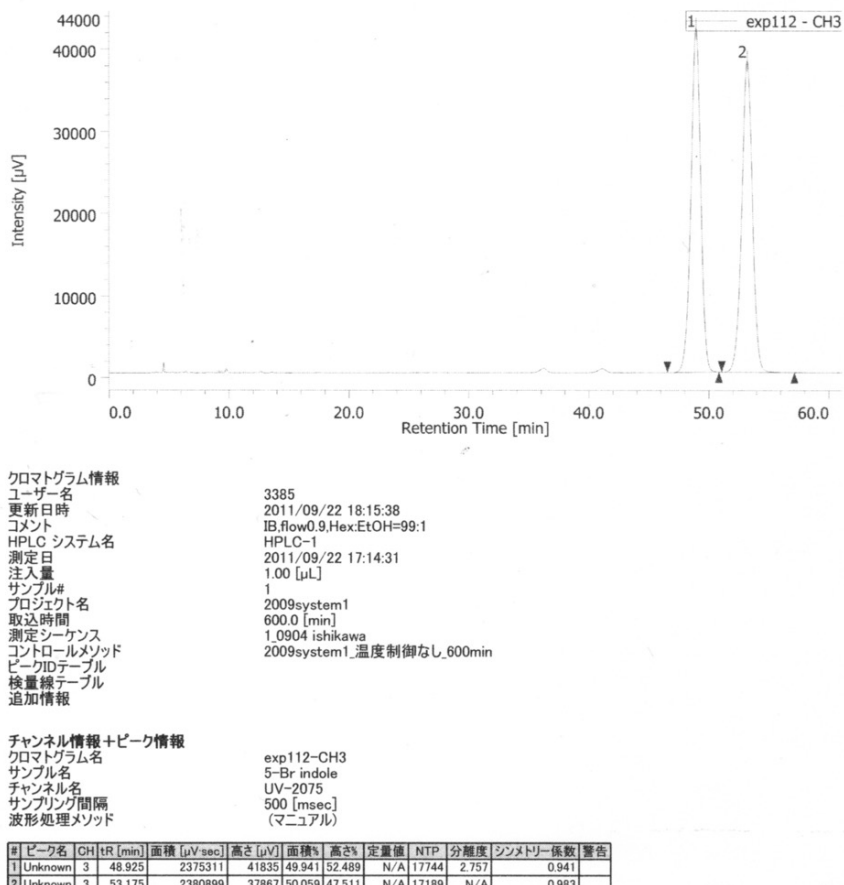
チャンネル情報+ピーク情報

クロマトグラム名 e77(5-OMe)-CH9
サンプル名 256.0nm
チャンネル名 200 [msec]
サンプリング間隔 (マニュアル)
波形処理メソッド

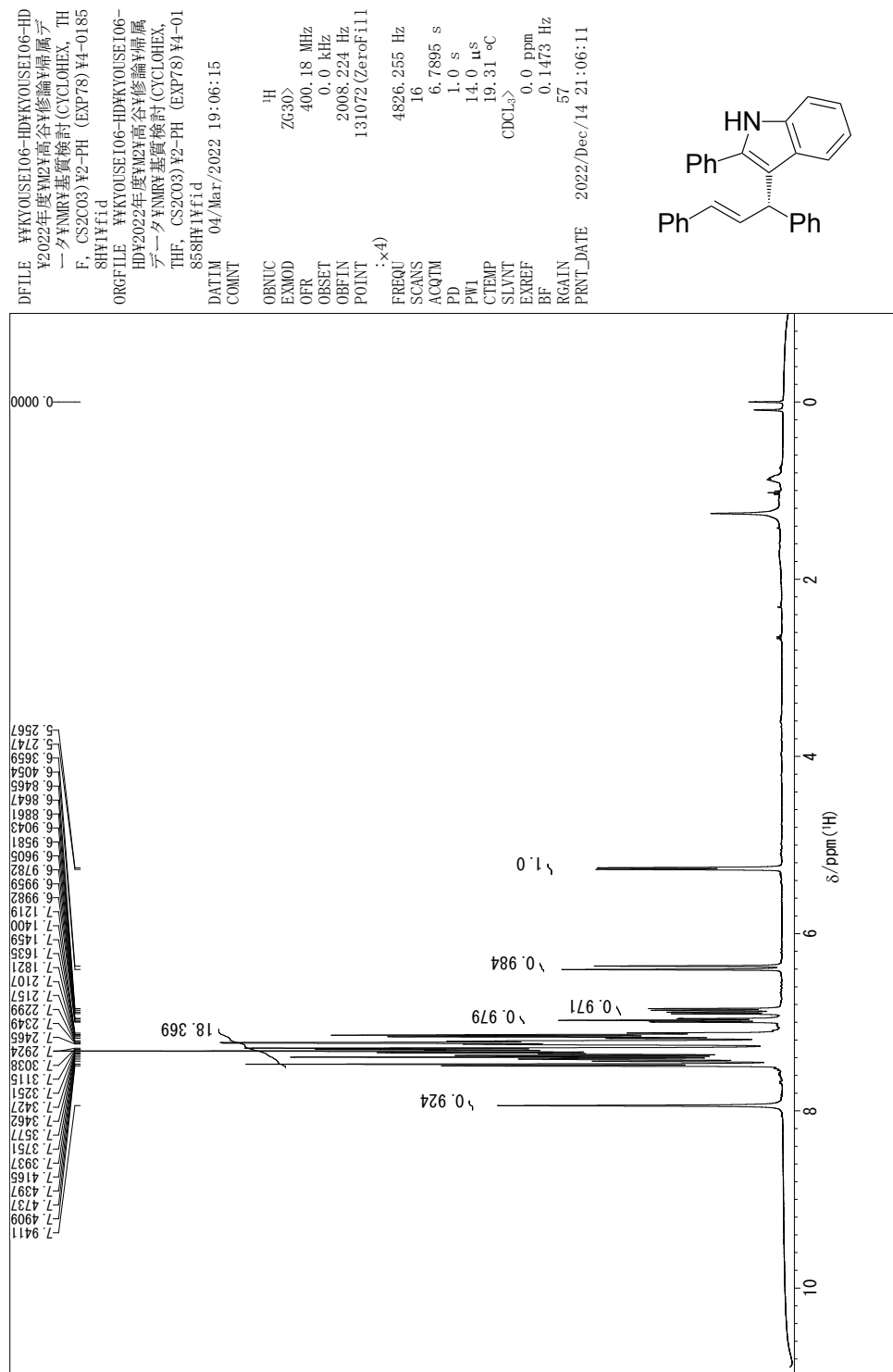
#	ピーク名	CH	tR [min]	Area [μ V·sec]	Height [μ V]	Area%	Height%
1	Unknown	9	42.12	631750	12203	4.487	5.755
2	Unknown	9	49.45	13446883	199853	95.513	94.245

Chiral phase HPLC chart of (\pm)-4l

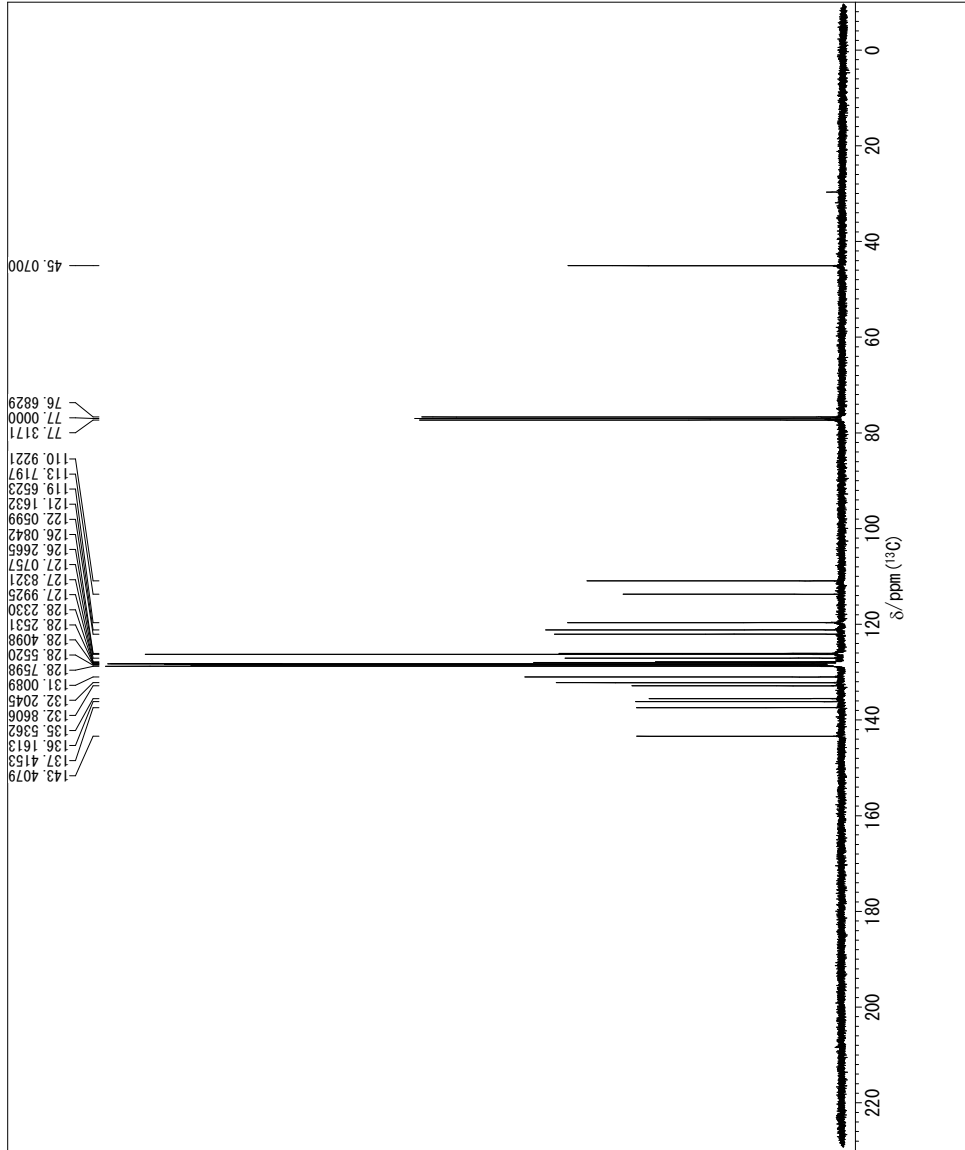
クロマトグラム



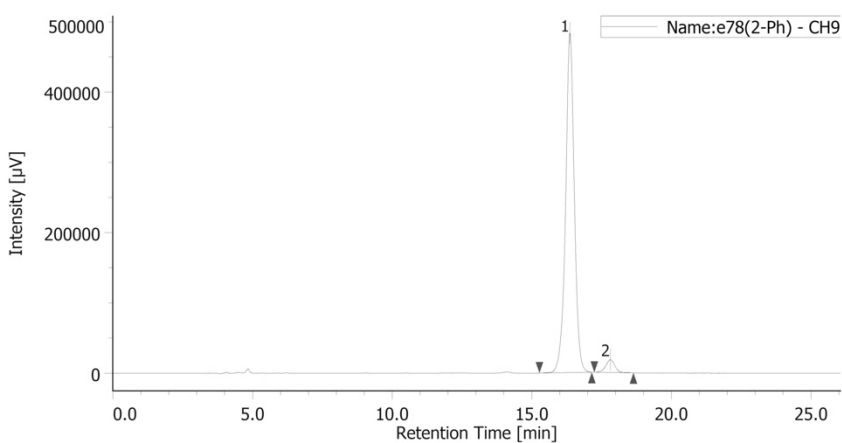
¹H and ¹³C NMR, and chiral phase HPLC chart of (S)-**4m**



DFILE KYOUSEI06-HDKYOUSEI06-HD
 ¥2022年度YMC高谷修論Y属元
 ダYMR基質検討(CYCLOHEX, TH
 F, CS2C03)Y2-PH (EXP78)Y4-0185
 8CHWfid
 ORGFILE KYOUSEI06-HDKYOUSEI06-HD
 ¥2022年度YMC高谷修論Y属元
 ダYMR基質検討(CYCLOHEX,
 THF, CS2C03)Y2-PH (EXP78)Y4-01
 858Wfid
 DATIM 04/Mar/2022 19:23:17
 COMNT
 OBNUC ¹³C
 EXMOD ZGP30>
 OFR 100.63 MHz
 OBSET 0.0 kHz
 OBFIN 11066.5 Hz
 POINT 131072[ZeroofF11
 ;×4]
 FREQU 24038.46 Hz
 SCANS 256
 ACQTM 1.3631 s
 PD 2.0 s
 PW1 10.0 μs
 CTEMP 20.11 °C
 SLVNT CDCl₃>
 EXREF 77.0 ppm
 BF 0.7336 Hz
 RGAIN 203
 PRNT_DATE 2022/Dec/14 21:16:54



クロマトグラム



クロマトグラム情報

ユーザー名 3385
更新日時 2022/03/07 17:22:26
コメント IB,0.9ml/min,Hex:EtOH=99:1
HPLC システム名 HPLC-2
測定日 2022/03/07 16:28:02
注入量 1.00 [μL]
サンプル# 1
プロジェクト名 2019system2
取込時間 180.0 [min]
測定シーンス 2.466667 takaya
コントロールメソッド system2_2019
ピークリードテーブル
検量線テーブル
追加情報

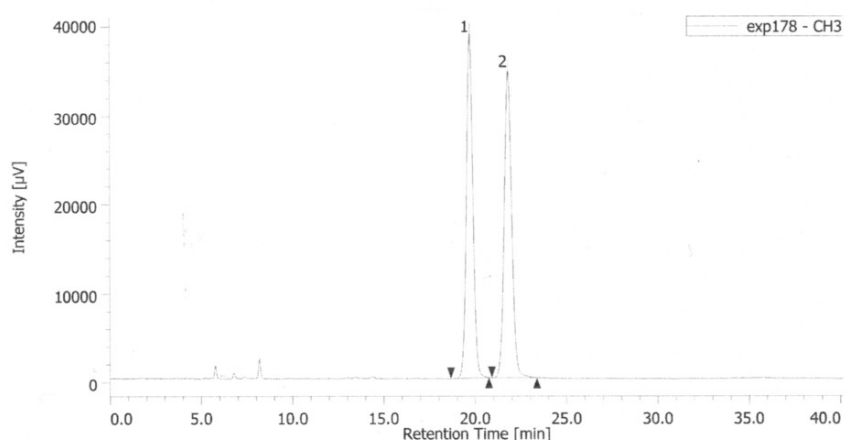
チャンネル情報+ピーク情報

クロマトグラム名 e78(2-Ph)-CH9
サンプル名
チャンネル名 256.0nm
サンプリング間隔 200 [nsec]
波形処理メソッド (マニュアル)

#	ピーク名	CH	tR [min]	Area [$\mu\text{V}\cdot\text{sec}$]	Height [μV]	Area%	Height%
1	Unknown	9	16.36	10459524	482871	96.152	96.362
2	Unknown	9	17.81	418567	18231	3.848	3.638

Chiral phase HPLC chart of (\pm)-4m

クロマトグラム



クロマトグラム情報

ユーザー名 3385
更新日時 2012/07/23 13:23:51
コメント IB_flow0.9.Hex:EtOH=99:1
HPLC システム名 HPLC-1
測定日 2012/07/23 12:43:40
注入量 1.00 [μL]
サンプル# 1
プロジェクト名 2012system1
取込時間 600.0 [min]
測定シーケンス 1_1551_ishikawa
コントロールメソッド 2009system1_温度制御なし_600min
ピークIDテーブル 検量線テーブル
検量線テーブル 追加情報

チャンネル情報+ピーク情報

クロマトグラム名		exp178-CH3							
サンプル名	2-Ph(rac)	チャンネル名	UV-2075	サンプリング間隔	500 [msec]	(ミニユアル)			
# ピーク名 OH tR [min] 面積 [μV·sec] 高さ [μV] 面積% 高さ% 定量値 NTP 分離度 シンメトリー係数 警告									
1 Unknown	3 19.717	957849	38698 49.721	52.846	N/A	15314	3.084	1.014	
2 Unknown	3 21.800	968612	34530 50.279	47.154	N/A	14782	N/A	1.041	